

| | | |
|--|--------------------------|--|
| Rapport nr.: 2003.036 | ISSN 0800-3416 | Gradering: Åpen |
| Tittel: Borehullbasert energilager ved Akershus Universitetssykehus - geologiske forundersøkelser 2002-03 | | |
| Forfatter: Kirsti Midttømme & Harald Elvebakk | | Oppdragsgiver: SPA (Sykehus Prosjektene i Akershus) |
| Fylke: Akershus | | Kommune: Lørenskog |
| Kartblad (M=1:250.000) Oslo | | Kartbladnr. og -navn (M=1:50.000) 1914 IV Oslo |
| Forekomstens navn og koordinater: Ahus 611500; 6645400 | | Sidetall: 61 Pris: kr 350,- Kartbilag: 5 |
| Feltarbeid utført: november 02 / februar 03 | Rapportdato: 02.04.03 | Prosjektnr.: 296102 |
| Ansvarlig: | | |

Sammendrag:

NGU har på oppdrag for Sykehusprosjektene i Akershus vurdert muligheten for lokalisering av et større borehullbasert energilager ved det nye Ahus på Lørenskog.

En N-S-orientert knusningssone fylt med leire går gjennom sykehusområdet. Da det er sannsynlig at sonen kan demme opp for grunnvannet, slik at grunnvannsnivået er høyere på vestsida enn på østsida, anbefales det ikke å bore i eller gjennom knusningssonen.

Ved termisk responstest måles midlere effektuttak for to testboringer til $\lambda=3,1 \text{ W/m}\cdot\text{K}$ og en borehullsmotstand $R_b=0,08 \text{ K}\cdot\text{m}/\text{W}$. Borehullslogging viser liten grunnvannsstrømning, og en middeltemperatur for et borehull på 200 m på 6,5°C.

Løsmassetykkelsen i området varierer fra 0 m til mer enn 30 m .

NGU anbefaler etablering av et borehullbasert energilager for det nye sykehuset på Lørenskog. Det er ut fra de geologiske forholdene mulig å etablere et større energilager med mer enn 350 borer på den tilgjengelige tomtten, men for å benytte enkelte områder anbefales nye testboringer blant annet for å kartlegge knusningssonen bedre.

| | | |
|---------------------|------------------|---------------------|
| Emneord: Grunnvarme | Energilagring | Grunnvannsstrømning |
| Geofysikk | Borehullslogging | Optisk televiewer |
| Temperaturmåling | Ledningsevne | Fagrappor |

INNHOLD

| | | |
|-----|-------------------------------------|----|
| 1. | INNLEDNING | 4 |
| 2. | GEOLOGI | 4 |
| 2.1 | Berggrunnsgeologi | 4 |
| 2.2 | Løsmassegeologi | 5 |
| 2.3 | Knusningssoner | 5 |
| 2.4 | Boringer..... | 7 |
| 3. | GRUNNVANNSSTRØMNING | 8 |
| 4. | TEMPERATUR I GRUNNEN | 9 |
| 5. | TERMISK RESPONSTEST | 10 |
| 6. | LOKALISERING AV BOREHULLSLAGER..... | 11 |
| 7. | KONKLUSJON OG ANBEFALINGER | 12 |
| 8. | REFERANSER | 13 |

TABELLER

Tabell 1: Borehullsinformasjon fra Bh 1, Bh 3 og Bh 4

Tabell 2: Målinger av grunnvannstand i testboringene

Tabell 3: Resultater fra termisk respons test i Bh 1 og Bh 4.

FIGURER

Figur 1 : Skisse av den kritiske knusningssonen.

Figur 2 : Skisse av den kritiske knusningssonen ved Bh 3.

DATABILAG

Databilag 1 : Logg av temperatur, elektrisk ledningsevne og gammastråling for Bh 1, Bh 3 og Bh 4.

Databilag 2 : Data fra TRT måling i Bh 1 og Bh 4.

TEKSTBILAG

Tekstbilag 1 : Loggerapport fra borehull Bh 3 og Bh 4, 21 sider

Tekstbilag 2 : Termisk Responstest –att ta reda på energibrunnens effektivitet, notat av S. Gehlin og G. Hellstrøm, 4 sider

Tekstbilag 3: Hydrauliske egenskaper i berggrunnen i Norge, modifisert versjon av NGU Rapport 2003.016 kap.3, 13 sider

KARTBILAG

Kartbilag 1 : Kart over testboringer og seismikkprofil.

Kartbilag 2 : Kart over fjelltopografien.

Kartbilag 3 : Kart over løsmassetykkelse.

Kartbilag 4 : Kart over grunnvannsnivå inntegnet på fjellkotekartet.

Kartbilag 5 : Skisse over egnede områder for et borehullbasert energilager.

1. INNLEDNING

NGU har på oppdrag for Sykehusprosjektene i Akershus utført geologiske undersøkelser ved det planlagte sykehus i Lørenskog for å vurdere muligheten for et større borehullbasert energilager. Tidligere undersøkelser er utført og rapportert. (Midttømme m.fl. 2000a, 2000b). Refrakjonsseismikk ble utført av GeoMap as (Geomap 2002a, 2002b). Kartskisse med oversikt over testboringer og seismikkprofil er vist i kartbilag 1. I tillegg er grunnundersøkelser utført av Noteby (Noteby 2001 og 2002)

Området består av grunnfjellsbergarten dioritt overdekket med finkornede sedimenter. Tykkelse på løsmassene varierer fra 0- 30 m. Det er synlige fjellblotninger flere steder på tomta.

Følgende fra NGU har bidratt i prosjektet

| | |
|-----------------------|--------------------------------------|
| John Dehls | kartgrunnlag |
| Harald Elvebakk | borehullslogging, testpumping |
| Louise Hansen | løsmasse-/fjellkotekart |
| Janusz Koziel | termisk respons test, måling |
| Kirsti Midttømme | prosjektleder |
| Øystein Nordgulen | berggrunnskartlegging/tolking |
| Randi Kalskin Ramstad | termisk respons testing, testpumping |
| Helge Skarphagen | feltarbeid, grunnvarmekspert |
| Gaute Storrø | grunnvannsstrømning |

2. GEOLOGI

Berggrunnen er kartlagt ved feltbefaring og logging med optisk televue i testboringene. I kartlegging av fjelltopografien og knusningssoner er refrakjonsseismikk og Notebys sonderboringer benyttet.

2.1. Berggrunnsgeologi

Berggrunnen består av grunnfjellsbergarten dioritt. Bergarten har en godt utviklet planstruktur (foliasjon) noe som gir bergarten en lagdelt struktur. Foldestrukturen i bergarten gjør at foliasjonen har variabel orientering. Det finnes en del lyse pegmatittganger i dioritten, vanligvis som ganger med tykkelse 2-15 cm. Det er også observert ganger som er opp til 60 cm tykke og soner på flere meters tykkelse med et nettverk av pegmatittganger. Flere mørke ganger med tykkelse opp til 3,8 m finnes også i området. Noen av disse mørke gangene og grensesonene til disse er sterkere oppsprukket enn den omgivende dioritten. Mer spesifikk informasjon om berggrunnen basert på optisk televue er gitt i tabell 1 og i egen rapport om borehullslogging, tekstbilag 1.

Fjellkotekartet, kartbilag 2, viser at det nye sykehuset bygges på en høyde med høyeste punkt på 180m mellom sengefløy S1 og S2 (figur 1). Høyden er en del av et øst-vest gående høydedrag som i øst skråner raskt ned i bekkedalen øst for psykiatriske bygg, mens det vestover fortsetter på høyder over 160 m. Nord og sør vest for høydedraget faller fjelltopografien raskt ned til 150 m. En kritisk knusningssone er vist som et søkk i fjelltopografien i området sør for det psykiatriske bygget. Flere gamle sonderboringer som er gjort i nordøst under bygning ved inngang psykiatri viser at det er store lokale variasjoner i fjelltopografien i det området. Det antas at den kritiske knusningssonen går gjennom dette området, og at den er årsak til de store variasjonene i fjelltopografien.

2.2. Løsmassegeologi

Generelt består løsmassene i undersøkelsesområdet av finkornede sedimenter. Tykkelsen på løsmassene varierer fra 0 m til ca 30 m. I den leirfylte knusningssonen er det vanskelig å sette noe skille mellom hvor løsmasseoverdekningen slutter og fjellet starter. På grunnlag av sonderboringer fra Noteby og de seks refraksjonseismikkprofilene er det utarbeidet et kart over løsmassemektheten (kartbilag 3). Løsmassetykkelsen er bestemt av fjelltopografien, med et tynt løsmassedekke på den øst-vest gående høydedraget sentralt på området. Lokalt i området rundt knusningssonen samt på parkeringsplassen nord for sykehuset er løsmassene over 20 m tykke.

NGU har ikke gjort undersøkelser for å kartlegge type og kvaliteten til løsmassene. I følge Noteby AS består området av et øvre fast lag (tørrskorpe) på 3-4 m over middels fast siltig leire, med mye rene siltsjikt av varierende tykkelse. Ned mot fjellet er det delvis et lag med fastere masser med tykkelse 0-5 m over fjell. Løsmassene er telefarlige (Noteby 2001,2002).

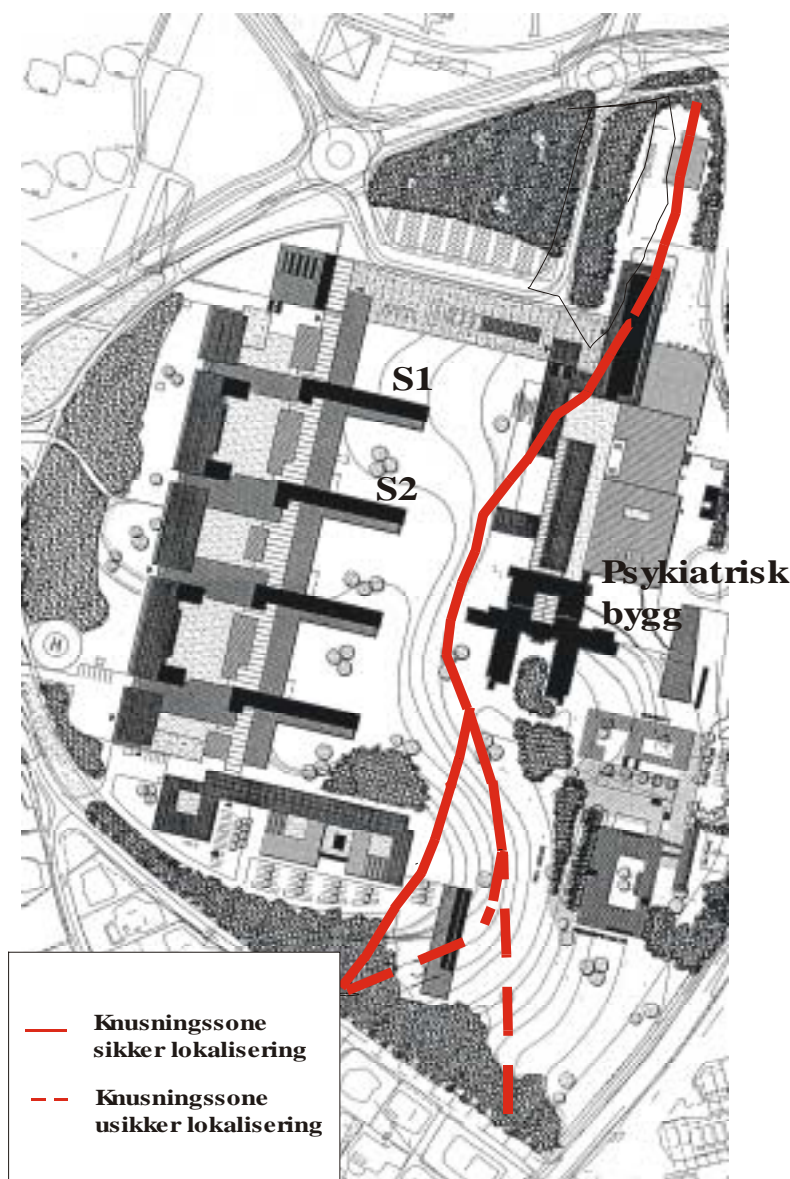
2.3. Knusningssoner

Refraksjonsseismikken (Geomap 2002) påviste flere soner med lav seismisk hastighet i området. Svært lave hastigheter (2000-2900 m/s) ble målt i de 3 profilene sørvest for eksisterende psykiatrisk avdeling. Lavhastighetsområdene tolkes som gjennomgående knusningssoner, med høy oppknusningsgrad, og sannsynligvis fylt med leire. Ut fra seismikken har de kritiske sonene en bredde på ca 10 m. Den seismiske hastigheten i berggrunnen forøvrig i dette området er høy (5800-6000 m/s), noe som viser stabilt godt fjell.

For seismikkprofil 4 ved veien sør for de profil 1-3 er det en lavhastighetssone (3000 m/s) på 20 m som antas å være fortsettelsen av sonen som er påvist i krysningspunktet mellom P2 og P3 ca 80 m lengre nord. Geomap antyder også at det kan være en lavhastighetssone i området øst for startpunktet for profil 4.

Det er registrert soner med lave hastigheter for seismikkprofil P5 og P6. Hastigheten for disse sonene er høyere (3200-4000) enn de som er påvist for profil P1-P4, og det antas at disse sonene ikke er kritiske med hensyn på boring. Det anbefales å utføre testboring gjennom disse lavhastighetssonene før den endelige lokaliseringen av brønnparken blir bestemt.

De kritiske knusningssonene er vist i kartskisse i figur 1. Lokalisering av sonene bygger på refraksjonseismiske data, blotninger av berggrunn og Notebys sonderboringer. Det er en hovedsone som deler seg i området sør for psykiatriske bygget. Slike forgreninger er vanlig (pers. kom. A. Braathen, NGU).



Figur 1. Skisse av den kritiske knusningssonen.

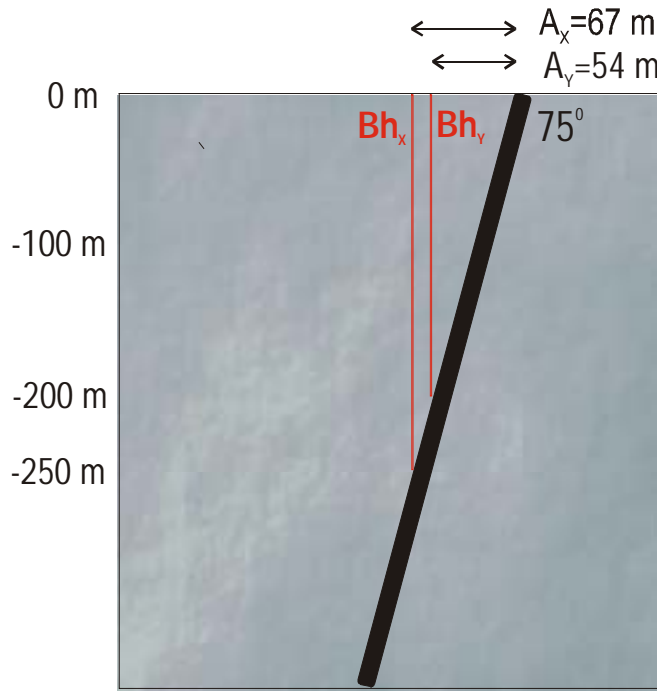
2.4. Boringer

Borehull 1 ble boret i 2000 og er tidligere rapportert (Elvebakke 2001). Alle de tre nye testboringene ble lokalisert i området rundt de kritiske knusningssonene. De ble boret med helning mot sonene. Begge boringene vest for knusningssonene ble mislykket. Den første boring (Bh 2) ble avbrutt ved 20 m og den neste (Bh 3) ble avbrutt ved 62 m. Begge boringene ble avsluttet fordi det ble boret inn i bløt leire, noe som gjorde videre boring umulig. Den siste boringa (Bh 4) øst for de kritiske sonene ble boret som planlagt ned til 200 m uten store tekniske problem. Bildene (tekstbilag 1) fra borehullet viser at boringen ikke har vært i berøring av noen knusningssone. Fjellet i Bh 4 er stedvis sterkt oppsprukket, men ikke mer enn i det gamle borehullet, Bh 1. Ut fra boringene antas sonen ved Bh 3 å falle ca 75 ° mot vest. Skisse av sonen er vist i Figur 2. Avstand A_x og A_y viser avstanden mellom sonen og et vertikalt borehull på 250 m (Bh_x) og 200 m (Bh_y) hvis man skal unngå å bore i sonen.

Tabell 1. Informasjon om testboring Bh 1, Bh 3 og Bh 4. (for detaljer se tekstbilag 1).

| Borehull | Bh 1 | Bh 3 | Bh 4 |
|--|--|---------------------------------|--|
| Koordinater UTM sone 32 N ØV | 611364 | 611508 | 611572 |
| NS | 6645459 | 6645430 | 6645392 |
| Høyde over havet (m) | 175,24 m | 176,17 m | 173,55 m |
| Boredyp: lengde (m) | 245,0 m | 62,5 m | 196,4 m |
| Kote bunn av borehull | - 68,1 m | 105,3 m | - 20,1 m |
| Planlagt fall på boring | 0°, loddhull | 15 ° fra lodd mot øst | 15° fra lodd mot sørvest |
| Borehullsavvik (bunn) fra loddlinje | 28,6m N (N353) | 14,0 m Ø (N93) | 32,0 m V (N278) |
| Borehullsavvik fra planlagt boring | 28,6m N (N353) fra plan | 2,2 m V (N273) fra plan | 40,6 m NNØ (N006) fra plan |
| Hovedsprekkesretning | N019 17 svakt fall ØNØ | N260 20 svakt fall NNV | N052 06 svakt fall SØ |
| Sprekkesrekvens middel | 2,2 pr m | 1,3 pr m | 2,1 pr m |
| Soner med høy sprekkesrekvens | 104-120m maks 8 pr m 143-145m maks 8 pr m | 10-15m 51-53m –åpne sprekker | 122-134m 5,8 pr m 156-165m 157,8m åpent hull 173-182m |
| Grunnvannskapasitet | 1100 l/time | ikke testet | 1900 l/time |
| Grunnvannstand Dyp | 4,49 | 8,75 | 11,75 |
| Grunnvannsnivå | 170,76 | 167,42 | 161,80 |
| Soner med grunnvannsinnslag | 80-81 m 107-118 m 127-128 m | ikke testet | 81m 10 % 109m 37 % 153m 53 % |
| Mørke ganger, andel av borehullet | 5,4% | 6,9 % | 3,8% |
| Temperatur middel °C | 6,93 | 6,0 | 6,52 |
| TRT λ-verdi | 3,0 | ikke testet | 3,2 |
| TRT R _b | 0,09 | ikke testet | 0,07 |

Borehullsavviket for Bh 1 var 28,6 m med retning nordover. De andre boringene ble boret med 15° helning øst eller sør-vest, men Bh 4 avviker i tillegg nordover. Selv om foliasjonsretningen (lagretning) varierer, ser det ut som boringene avviker mot nord.



Figur 2. Skisse av den kritiske knusningssonen ved Bh 3.

3. GRUNNVANNSSTRØMNING

Grunnvannstand ble målt i borehullene ved flere anledninger (se tabell 2). I tillegg har Noteby utført 9 poretrykksmålinger i området. Notebys målinger Pz 1-3 sammenfaller også bra i tid med første måling av grunnvannstand i Bh 1. Den gode korrelasjonen i grunnvannsnivå mellom NGU sin måling og Notebys poretrykksmålinger viser at det er små trykkforskjeller i grunnen. Ut fra de tilgjengelige målingene er det utarbeidet koter for grunnvannsnivå. Grunnvannskotene er tegnet inn på fjellkotekartet (kartbilag 4).

Grunnvannstanden ble målt til 11,8 m under bakkenivå i Bh 4, som er det eneste borehullet på østsida av den kritiske knusningssonen. Hvis det er en markert trinnvis endring (og ikke en kontinuerlig endring som skyldes topografien,) i grunnvannsnivå på øst- og vestsiden av knusningssonen, kan det være kritisk å bore gjennom sonen, da man kan risikere å drenere ut vannet fra vestsiden og dermed senke grunnvannstanden under flere av bygningene.

Målingene viser en endring i grunnvannsnivå på 5,6 m over en avstand på 74 m.

Grunnvannsnivået i Bh3 og Bh4 samsvarer også dårlig med terrenget. Vi antar den store variasjonen i grunnvannsnivået skyldes at knusningssonen fungerer som en demning, og demmer opp for grunnvannet.

Bortsett fra området rundt den sentrale høyden i området rundt sengebygningene S1 og S2, og fjellknausen som stikker opp sørøst for psykiatrisk bygg, vil grunnvannstanden stå over fjellet og oppe i de overliggende løsmasseavsetningene.

Grunnvannsstrømningen i området antas å være liten. Grunnvannkapasiteten i Bh 1 ble antatt til 1100 l/time. Strømningsmålinger ble utført i Bh 4. Den totale pumperaten i borehullet var 1900 l/time. Det ble målt vanninnslag fra 3 dybder i borehullet, 53 % av vannet kom fra innstrømning fra 153 m dyp, 37 % kom fra innstrømning på 109 m dyp og 10 % fra 81 m dyp.

Tabell 2 Målinger av grunnvannsnivå i testboringene.

| Borehull | Koord. målt GPS UTM ØV | Koord. målt GPS UTM NS | Høyde topp rør [m.o.h.] | Gr.vannst. u. topp rør | Dato |
|----------|------------------------------|------------------------------|-------------------------------|------------------------------|---|
| 1 | 611364 | 6645459 | 175,243 | 4,1 m 4,4 m 4,49 m | 15.08.00 feb 03 26.02.03 9.03.03 |
| 2 | 611486 611489 | 6645305 6645309 | ikke nivellert | 8,00 m 8,71 m | okt 02 14.11.02 feb 03 |
| 3 | 611505 611511 | 6645434 6645426 | 176,165 | 8,54 8,65 m 8,75 m | 13.11.02 14.03.03 feb 03 9.03.03 |
| 4 | 611575 611568 | 6645395 6645388 | 173,548 | 11,2 m 11,76 m 11,75 m | 13.11.02 feb 03 26.02.03 9.03.03 |

4. TEMPERATUR I GRUNNEN

Logg av temperatur, elektrisk ledningsevne og gamma (TCN-logg) for Bh 1, Bh 3 og Bh 4 er vedlagt i databilag 1.

I Bh 4 øker temperaturen jevnt med dypet i hele borehullet med en gradient på 0,91°C/100m. Middeltemperaturen i borehullet er 6,52°C. I Bh 3 er temperaturen tilnærmet konstant lik 6,0°C i hele borehullet.

Temperaturloggen for Bh 1 er tidligere beskrevet og rapportert (Midttømme m.fl. 2000b). Loggen viser at temperaturen synker til 6,2°C på 71 m dyp før den stiger til 8,1°C. Middeltemperaturen i borehullet er 6,93°C. Temperaturmålingen i Bh 1 ble kritisert av professor Bo Nordell (Nordell 2002). Han mente at temperaturforløpet som ble målt ikke var troverdig. På grunn av at kollektorslange var montert i borehullet har vi ikke fått gjort ny logging. At klimaet påvirker temperaturforløpet i grunnen og at minimumstemperaturen måles på mer enn 10 m dyp er dokumentert i flere artikler (eks. Kukkonen et al. 1998; Beltrami 2001). Det finnes også en egen hjemmeside med data over klimarekonstruksjon ut fra borehullstemperaturer (<http://www.geo.lsa.umich.edu/~climate/index.html>). Flere av temperaturloggene som er utført ved NGU de siste årene har tilsvarende trend med minimumstemperaturen på 40-80 m dyp, noe vi mener skyldes en økning i midlere lufttemperatur gjennom de siste 100 årene. NGU mener at det ikke er grunn til å betvile riktigheten av temperaturmålingene.

Siden det er store forskjeller på temperaturforløpet i de tre borehullene endrer vi på konklusjonen fra NGUrappor 2000.091 og hevder nå at det er menneskelig aktivitet som er årsak til variasjonen i temperaturforløpet som observeres i de øverste 100 m av grunnen. I

over 40 år har det stått et sykehus på tomta, og spesielt i byggeperioden rundt 1960 ble terrenget endret ved at masser ble fjernet eller lagt i fyllinger, i tillegg ble skog-/jordbruksareal gruslagt eller asfaltert slik at solinnstrålingen til grunnen økte.

Siden middeltemperaturen korrigert for boredybde samsvarer bra for de to dype boringene, vil variasjonen i temperaturforløp ha liten betydning i utredningen av et borehullslager. Men variasjonene kan tolkes som en indikasjon på liten grunnvannstrømning. Hvis det hadde vært en betydelig grunnvannsstrømning antas temperaturvariasjonene å ha blitt utvist over tid.

En temperaturgradient på under $1,3^{\circ}\text{C}/100\text{m}$ er lavt også for norske forhold. Den lave gradienten kan forklares med et lavt innhold med radioaktive elementer (uran, thorium og kalium) i berggrunnen.

5. TERMISK RESPONSTEST

Ved en termisk responstest (TRT) måles borehulletts effekuttak og borehullsmotstanden. Mer informasjon om termisk respons-testing er vedlagt som teknisk bilag 2. Termisk respons test ble utført i borehull Bh 1 og Bh 4 (også kalt Bh250 og Bh200). Målingene ble utført i en 40 mm tykk enkel U-rør kollektorslange fylt med vann. Tilsvarende test ble utført i Bh 1 av Geoenergi as i 2000. Målingene er kontrollberegnet av Signhild Gelhlin (svenske VVS tekniska forening). Resultatet er vist i tabell 3 og plott av TRT data finnes i databilag 2.

Tabell 3. Resultater fra termisk respons test i Bh 1 og Bh 4.

| Borehull | Dato | Borehulletts varmetilskudd λ (W/m·K) | Borehullsmotstand R_b (K·m /W) | Borehulletts middeltemperatur $^{\circ}\text{C}$ |
|---------------|------------------------------|--|----------------------------------|--|
| Bh 1 (Bh 250) | 20-23.aug 00 Geoenergi as | 3,1 | 0,06 | 7,9 |
| Bh 1 (Bh 250) | 20-25.feb.03 NGU | 3,0 | 0,09 | 6,93 |
| Bh 4 (Bh 200) | 14-18.feb.03 NGU | 3,2 | 0,07 | 6,53 |

Variasjoner i λ mellom de 2 borehullene kan skyldes lokale variasjoner i berggrunnen, tekstur og mineralogi. Sannsynligvis vil pegmatittgangene øke λ - verdi. Grunnvannskapasiteten i Bh 4 var noe høyere enn i Bh 1 og dette kan også gi noe høyere λ - verdi i Bh 4.

Vanlig borehullsmotstand for enkle U-rør kollektorer er 0,05-0,06 K·m/W (Gehlin 2002). For begge borehullene måles høyere borehullsmotstand. For Bh 1 er borehullsmotstand beregnet 50% høyere enn den som Geoenergi as beregnet i 2000. Forklaringen på det avviket er at middeltemperaturen i borehullet har stor betydning for borehullsmotstanden. NGU har bestemt midlere borehullstemperatur ut fra borehullslogging, mens temperaturen vanligvis bestemmes med TRT-riggen ved å sirkulere væske i borehullet før man tilfører ekstra varme i borehullet. Vår erfaring er at middeltemperatur bestemt med TRT-riggen er noe høyere enn den bestemt ved borehullslogging. Borehullsmotstanden beregnet med data fra TRT-riggen vil da bli lavere enn den beregnet med data fra temperaturlogging. Dype brønner vil også gi

større borehullsmotstand og det er sannsynligvis forklaringen på at borehullsmotstanden i Bh 1 er høyest. Begge borehullene er boret på skrå, med henholdsvis $83,3^\circ$ og $80,6^\circ$ fall. Sannsynligheten for at kollektorslangene vil ligge tettere sammen er større i skråbrønner, noe som vil medføre større borehullsmotstand.

6. LOKALISERING AV BOREHULLSLAGER

Skisse av aktuelle områder for borehullslageret er vist i kartvedlegg 5. Området er inndelt i 9 areal merket A1 til A9. Hvordan arealet er egnet til borehullslager er vist med farger der grønt er godt egnet, gult er usikkert og rødt er ikke egnet. Den kritiske knusningssonen er årsaken til at områdene A2, A5, A7, A8 er klassifisert som ikke egnet. Da sonen faller mot vest er det fare for å bore inn i sonen hvis man lokaliserer boringene i området vest for sonen. Størrelsen på sikkerhetssonen avhenger av boredypet. Her er det antatt en bredde på 90 m fra knusningssone. Det er basert på at knusningssonen faller med 75° og et boredyp på 200m. Sikkerhetssonen kan reduseres hvis man velger å bore grunnere brønner. Det er usikkerheter med hensyn på fallet til sonen. Det anbefales derfor å bore en testboring i området A2 for å kartlegge helning på sonen hvis deler av dette arealet ønskes benyttet, før endelig lokalisering blir bestemt.

Områdene A3 og A4 er gode lokaliteter for borehullslager, med liten løsmassetykkelse. For begge disse områdene vil grunnvannstanden være høyere enn fjelltopografien, dvs at grunnvannet står oppe i løsmassene. Det anbefales en minimumsverdi på 15 m til bygninger pga mulig setninger.

Område A1 er usikkert. Det er påvist svakhetsoner i det området, men hastigheten er høyere enn for den kritiske knusningssonen. Det er mektigere løsmasser i dette området også, og er av den grunn ikke helt optimalt for lokalisering av et borehullslager.

Område A9 er også merket som usikkert. Det er ikke klarlagt hvor den østligste knusningssone fortsetter, og ifølge Geomap kan det være muligheter for at den fortsetter rett sørover. Hvis det er tilfellet er A9 lite egnet som energilager.

Område A6 er det gunstigste området for lokalisering. Rundt sørrenden av psykiatrisk bygning er det liten løsmassetykkelse. Her er fjellet høyere enn grunnvannstanden, dvs at man kan legge boringene nærmere byggingene da det ikke er fare for setninger. Da knusningssonen faller mot vest kan man legge boringene helt inn til sonen på østsida, hvertfall i det området der man har god oversikt hvor sonen er. Det antas en løsmassemekting ned mot 15 m helt sør i område A6 noe som vil fordyre borer betydelig.

Det er sjeldent at borehull i et energilager bores inn i hverandre (jfr brev fra Bo Nordell av 22 aug 2002). Som en kompensasjon for mindre areal tilgjengelig kan en reduksjon i borehullsavstanden være et alternativ.

7. KONKLUSJON OG ANBEFALINGER

NGU anbefaler å gå videre med planlegging og etablering av et borehullbasert energilager for den nye sykehuset på Lørenskog. En knusningssone som går gjennom området fra nord til sør vil redusere det tilgjengelige arealet, men det er fortsatt store arealer, og ikke minst store bergvolum tilgjengelig i nærområdet.

På grunnlag av geologiske og geofysiske undersøkelser er det utarbeidet en oversikt over de areal som er egnet til et borehullslager. Det anbefales nye testboringer/geologiske undersøkelser hvis området A1/A2 og A9 skal benyttes. Deler av område A5 kan også benyttes, men dette vil kreve geologisk oppfølging og at det tas hensyn til spesielle vilkår for plassering av borehull.

Det er erfaringsmessig sjeldent at borehull bores i hverandre. Borehullsavstanden kan derfor reduseres fra 7 m som tidligere anbefalt, til det som vil være optimal avstand basert på energiforbruk og grunnforholdene. Selv om dette kan medføre at antall borer som går i hverandre øker, vil gevinsten bli større enn det de tapte boremetrene utgjør. I de områdene der grunnvannstanden er lavere i berggrunnen enn i løsmassene er det viktig at foringsrøret bores lengre ned i berggrunnen og tettingen mellom berget og røret utføres med ekstra grundighet.

NGU har ikke utført dimensjonering av et energilager med hensyn på boremeter, anbefalt borehull, boreavstand og boredyp. NGU anbefaler at dimensjonering av lageret blir utført av konsulenter med mer erfaring enn oss, og gjerne med mer avansert programvare.

8. REFERANSER

Beltrami, H. 2001: Surface heat flux histories from inversion of geothermal data: Energy balance at the Earth's surface. *Journal of Geophysical Research, Vol. 106, No. B10, 21979-21993.*

Elvebakk, H. 2001: Borehullsinspeksjon med Optisk Televiewer SiA, Lørenskog, Akershus. *NGU Rapport 2001.021, 49s*

Gehlin, S. 2002: Thermal Respons Test. Methode Development and Evaluation. Doctoral Thesis Luleå University of Technology 2002:39

GeoMap AS 2002a : Nye SIA Plassering av energibrønner oppdragsnr. 221418 rapport nr 1, 10.oktober.2002

GeoMap AS 2002b : Nye SIA Plassering av energibrønner oppdragsnr. 221418 rapport nr 2, 18.desember.2002

Kukkonen, I.T; Gosnold, W.D. & Šafanda, J. 1998: Anomalously low heat flow density in eastern Karelia, Baltic Shield: a possible palaeoclimatic signature, *Tectonophysics 291, 235-249.*

Midttømme, K., Skarphagen, H. Nordgulen, Ø. & Longva O. 2000a: Utredning om grunnvarme til planlagte sykehus i Akershus. Feltundersøkelser. *NGU-Rapport 2000.073, 31s.*

Midttømme, K., Skarphagen, H. & Elvebakk, H. 2000b: Bruk av grunnvarme ved sentralsykehuset i Lørenskog - testboring, systemløsning og økonomiske beregninger. *NGU Rapport 2000.091, 56s.*

Nordell, B., 2002: Extern genomgång av anbud: Grunnundersøkelser vedrørende borehullslager Nya Ahus. Brev til Prosjekteringsgruppen Nya SiA ANS datert 22.08.02.

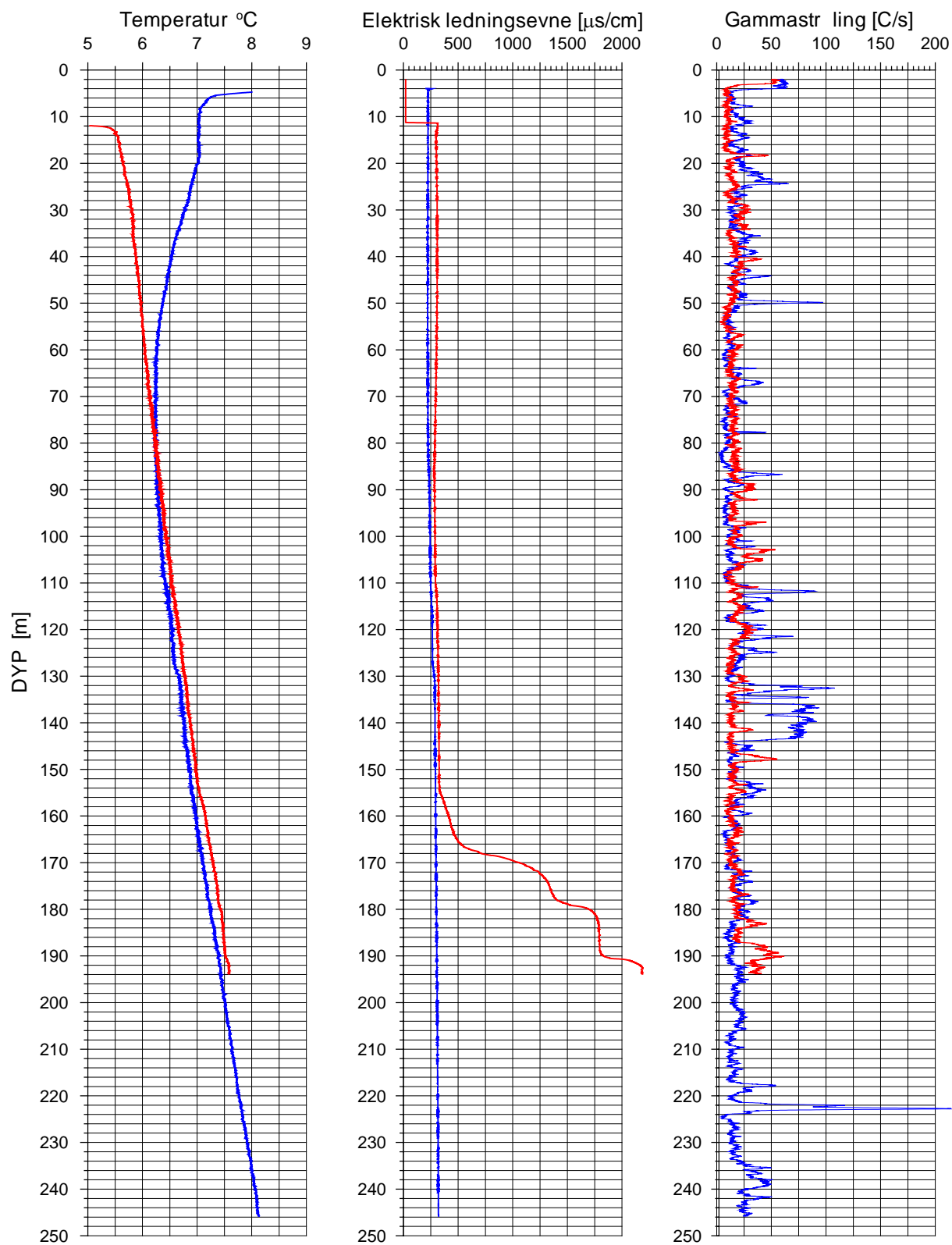
Noteby AS 2001: Sykehusprosjektene i Akershus, SPA Grunnundersøkelser. *Datarapport 101434-3, 4.april 2001.*

Noteby AS 2002: Sykehusprosjektene i Akershus, SPA Grunnundersøkelser. *Datarapport 101434-5, 18.juni 2002.*

Lorenskog - SiA

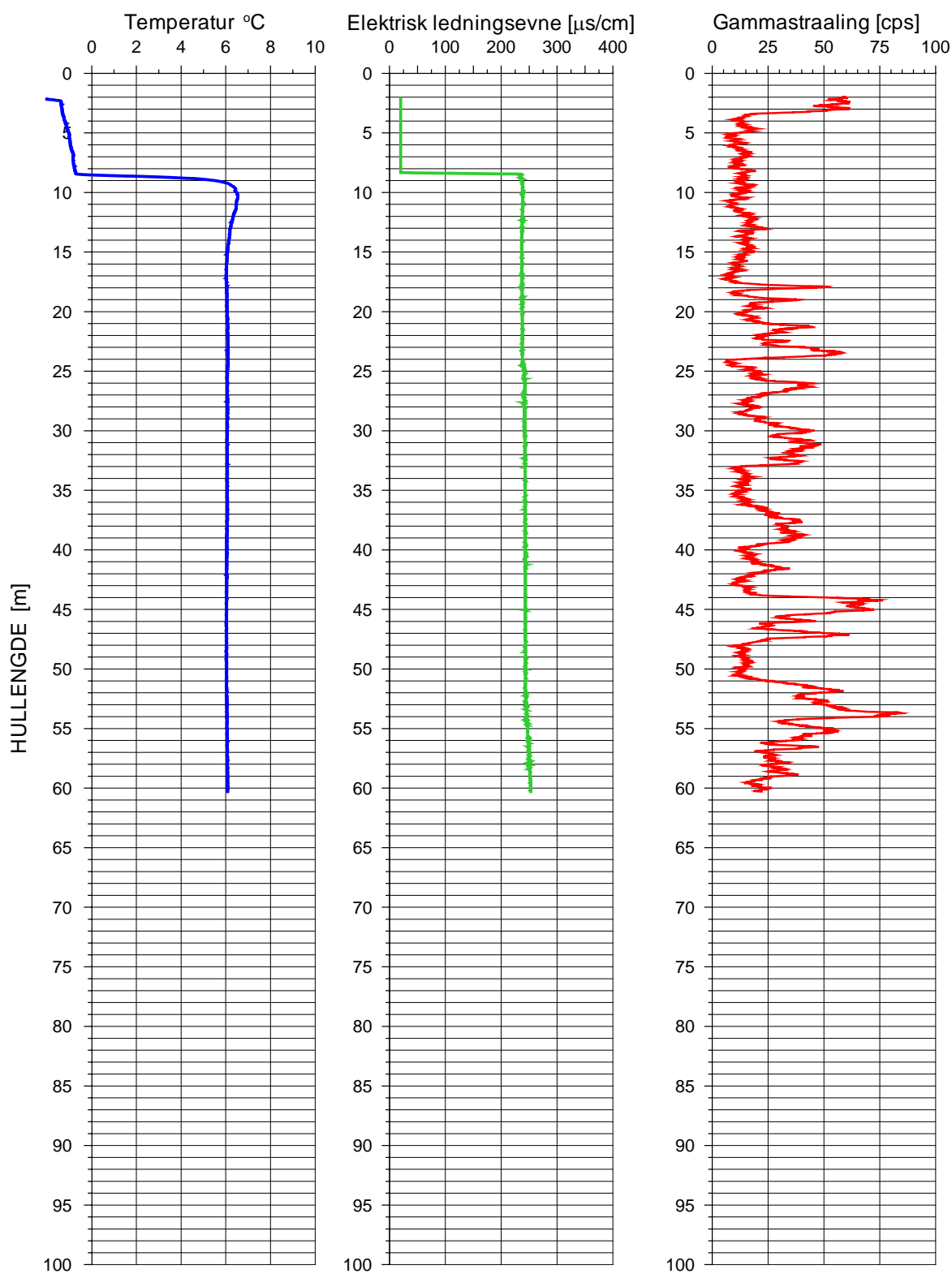
Bh 4 - 2002

Bh 1 - 2000





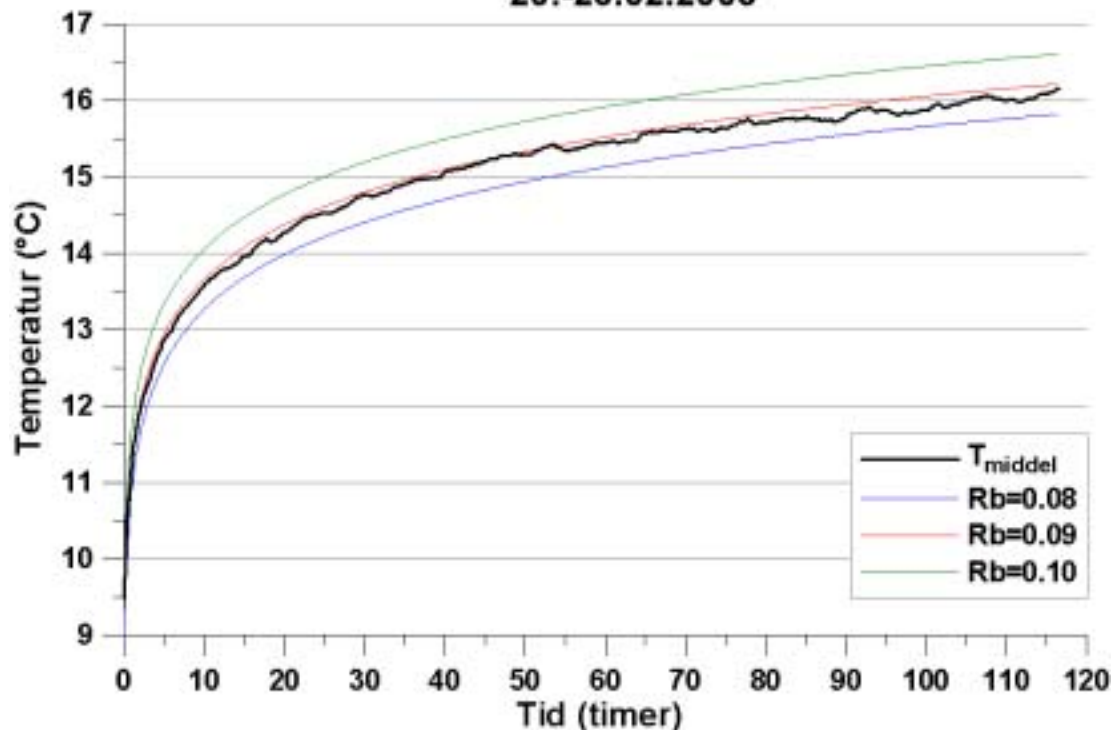
TEMP. COND. GAMMA LOG UTM 611505 - 6645434
SiA, Bh 3 - 2002



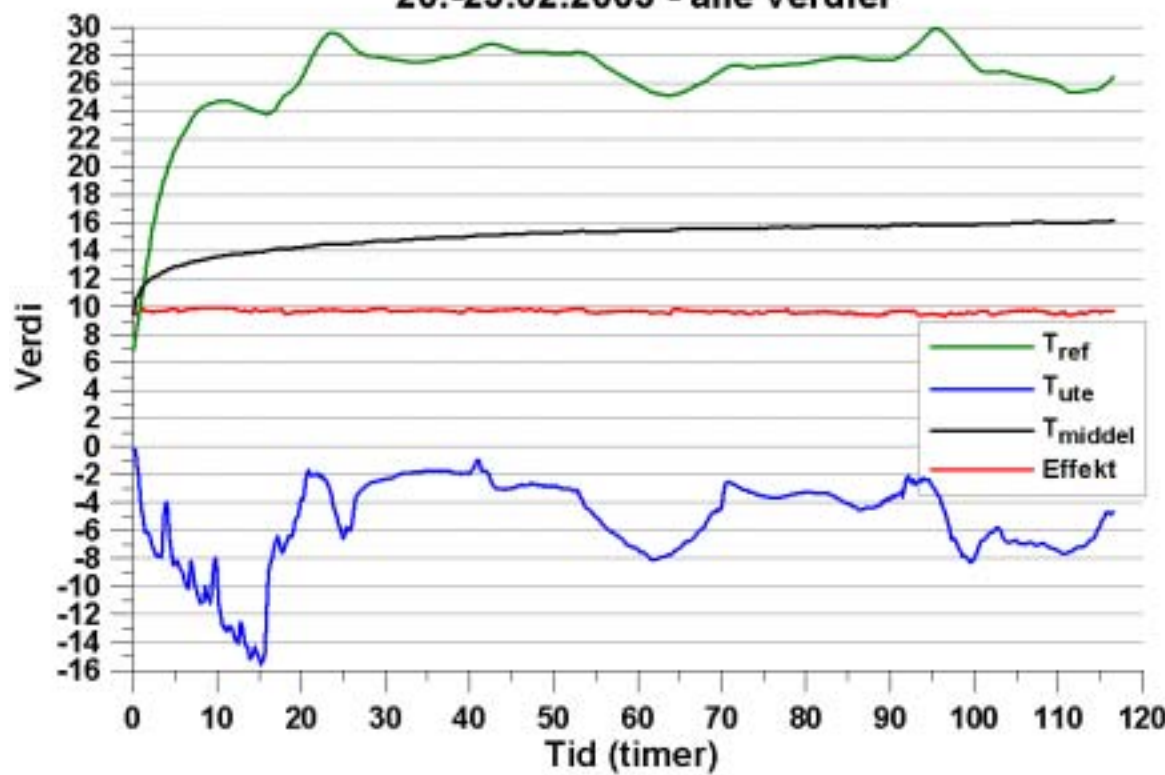
$$\lambda(250) = 3,00 \text{ W/m,K}$$
$$R_b(250) = 0,088 \text{ K,m/W}$$

Bh 250 = Bh 1

SiA BH 250 - Termisk responstest 20.-25.02.2003



SiA BH 250 - Termisk responstest 20.-25.02.2003 - alle verdier

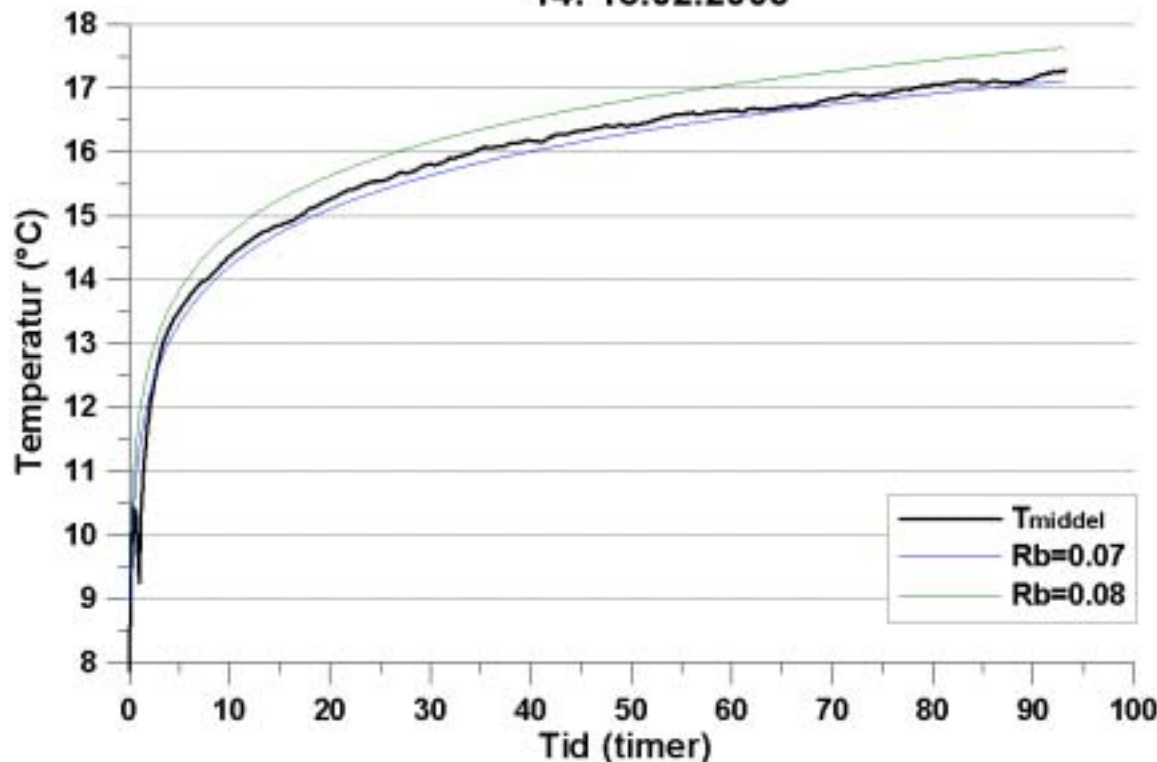


Effekt er oppgitt i kW og temperatur i $^{\circ}\text{C}$

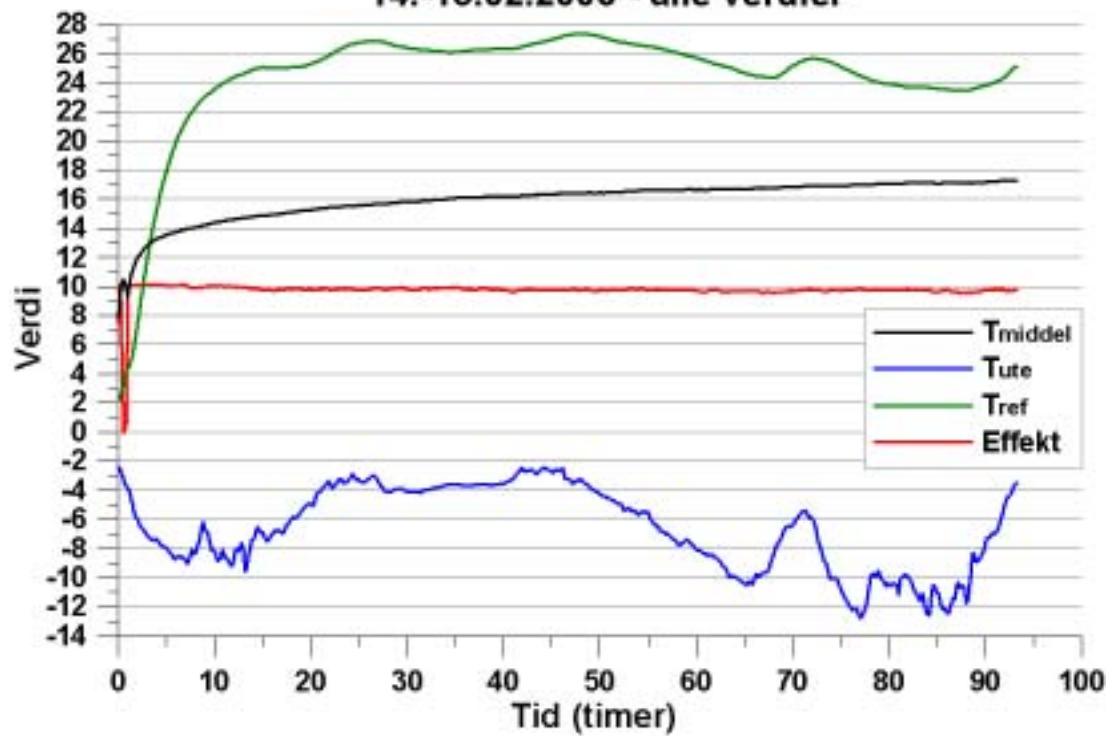
$$\lambda(200) = 3,16 \text{ W/m,K}$$
$$R_b(200) = 0,073 \text{ K,m/W}$$

Bh200 = Bh4

Sia BH 200 - Termisk respons-test 14.-18.02.2003



Sia BH 200 - Termisk respons-test 14.-18.02.2003 - alle verdier



Effekt er oppgitt i kW og temperatur i $^{\circ}\text{C}$

1. BOREHULLSLOGGING

For å kartlegge berggrunnen ble begge borehullene (Bh 3, 60 m og Bh 4, 200 m) logget med optisk televue. Det ble i tillegg logget vanntemperatur, vannets elektriske ledningsevne, total gammastråling, fjellresistivitet og vertikal vannstrømning. Strømningsmåling ble bare gjort i Bh 4.

Optisk televue er et videokamera som filmer borehullsveggen. Metodebeskrivelse er vist i tekstbilag 1.1 og 1.2. Bildene viser bergartstype, strukturer og oppsprekking. I tillegg måles borehullsavviket. Endringer i vannets temperatur og ledningsevne kan indikere vannførende sprekker, mens fjellresistivitet kan indikere oppsprekking og svakhetssoner. Strømningsmåling sammen med pumping indikerer vannførende sprekker (vanninnslag i borehullet).

1.2 Optisk televue

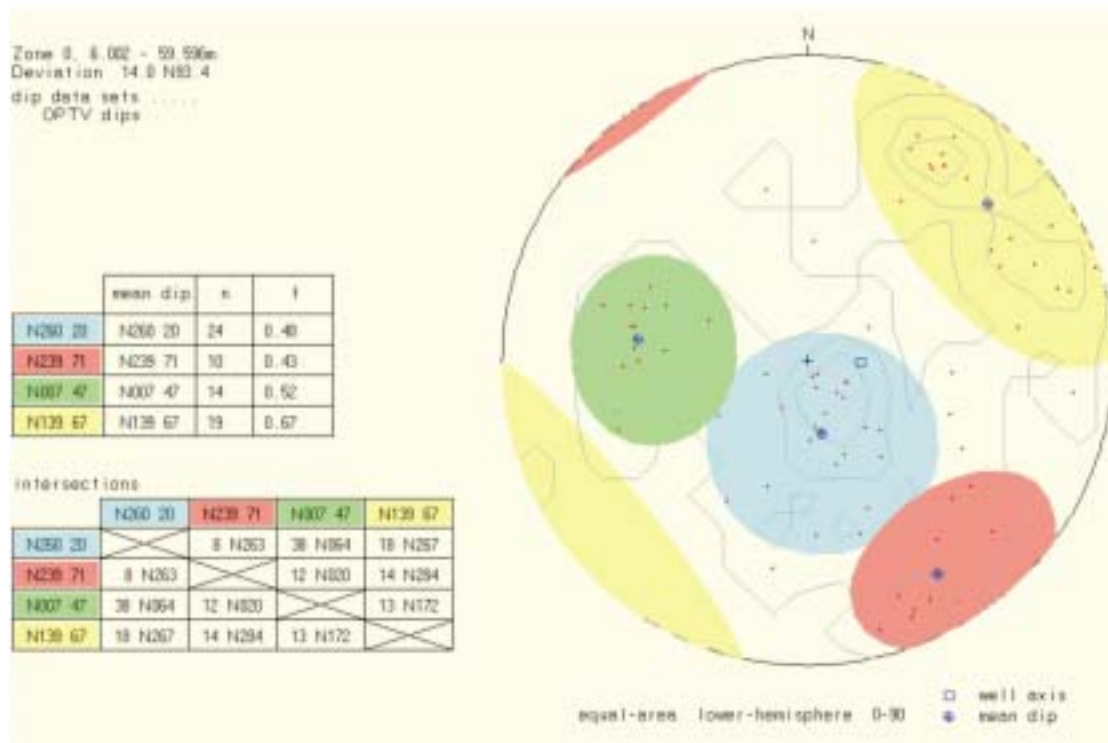
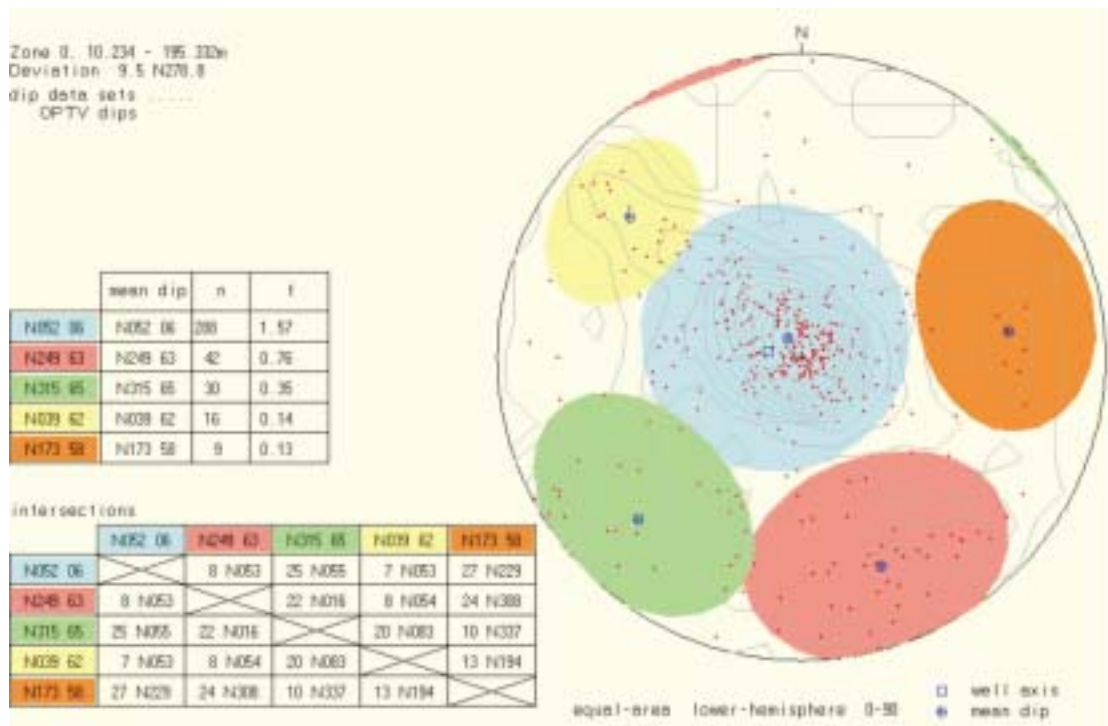
Data fra den optiske loggen er prosessert med programvare fra Robertson Geologging (Robertson Geologging 2000). Det er utarbeidet sprekkestatistikker for alle indikerte sprekker. I statistikken er både rene sprekker og mineraliserte sprekker tatt med. Bildelogg fra hele hullets lengde kan skaffes på CD fra NGU (CD 2003.036.01). Loggen kan kjøres på PC ved å starte programmet OPTV.exe som ligger på CD'en. Utførlig bruksanvisning er vist i tekstbilag 1.3.

Bh 4. Sprekkeanalyse. Stereografisk projeksjon med definerte grupper.

Figur 1.1 (øverst) viser stereogram hvor alle indikerte sprekker er plottet. En tydelig hovedsprekkeretning skiller seg klart ut, N052 06 med svakt fall mot SØ. Denne gruppen inneholder ca 75 % av alle indikerte sprekker. Ingen andre sprekkegrupperinger skiller seg klart ut, men i tabellen på figur 1.1 er det definert til sammen 5 sprekkegrupper. Disse sprekkena har større fallvinkel, 58 – 65⁰ i gjennomsnitt, og utgjør til sammen ca 25 % av de indikerte sprekker.

Bh 3. Sprekkeanalyse. Stereografisk projeksjon med definerte grupper.

Figur 1.1 (nederst) viser stereogram for indikerte sprekker. Boring av hullet stoppet i en svakhetssone på ca 60 m dyp. Tabellen på figur 1.1 (nederst) viser definerte sprekkegrupper med gjennomsnittlig strøkretning og fallvinkel. Gruppen med strøkretning N260 20 har flest sprekker og har noenlunde samme strøkretning som hovedretningen i Bh 4, men fallretningen er NNV (motsatt Bh 4).



Figur 1.1. Sia, Lørenskog. Stereografisk projeksjon av indikerte sprekker Bh 4 (øverst) og Bh 3 (nederst).

Bh 4. Sprekkeanalyse. Frekvenshistogrammer for definerte soner.

Figur 1.2a og 1.2b viser frekvenshistogrammer for sprekker langs hele Bh 4. Det er beregnet en gjennomsnittsfrekvens for hele hullet (antall sprekker pr. meter) og en gjennomsnittsfrekvens for definerte soner. Sonene defineres der en vanligvis har en viss ansamling av sprekker. Databilag 1.1 viser sprekkedata for hver av de definerte sonene. Forklaring på tabellen er vist i tekstbilag 1.1 (metodebeskrivelse).

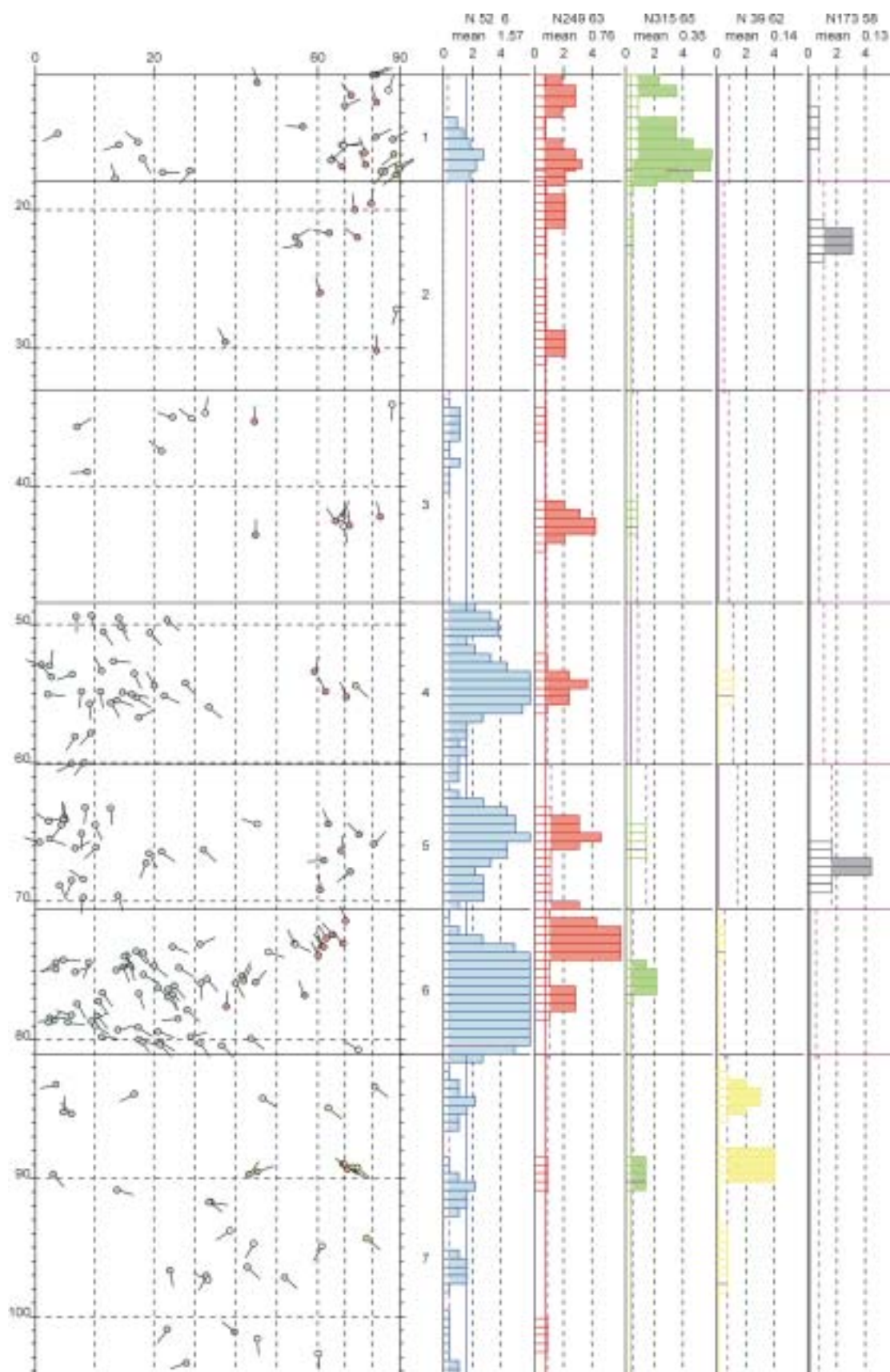
Bh 4 er stedvis sterkt oppsprukket. Fra frekvenshistogrammene og tabell i databilag 1.1 ser en sterkt oppsprekking i sonene 1, 4, 5, 6 10 13 og 15. Hovedsprekkeretningen dominerer bortsett fra i sone 1 (10 – 20 m) der steile sprekker (N315 65) opptrer. Området mellom 50 og 80 m dyp er sterkt oppsprukket med en gjennomsnittsfrekvens på 4.9 sprekker pr. meter mellom 70m og 80 m som den største verdi. I sone 10 mellom 122 og 134 m er frekvensen 5.8 sprekker pr. meter som er den høyeste verdi i borehullet. Videre er det høy sprekkefrekvens fra 156 – 165 m og 173 – 182 m.

Figur 1.3 viser bildelogg fra utvalgte deler av Bh 4 hvor det er sterkt oppsprekking, 75 – 80 m, 127 – 132 m, 155 – 160 m. Mesteparten av sprekken er tilnærmet horisontale. Ved ca 157.8 m observeres et åpent hull.

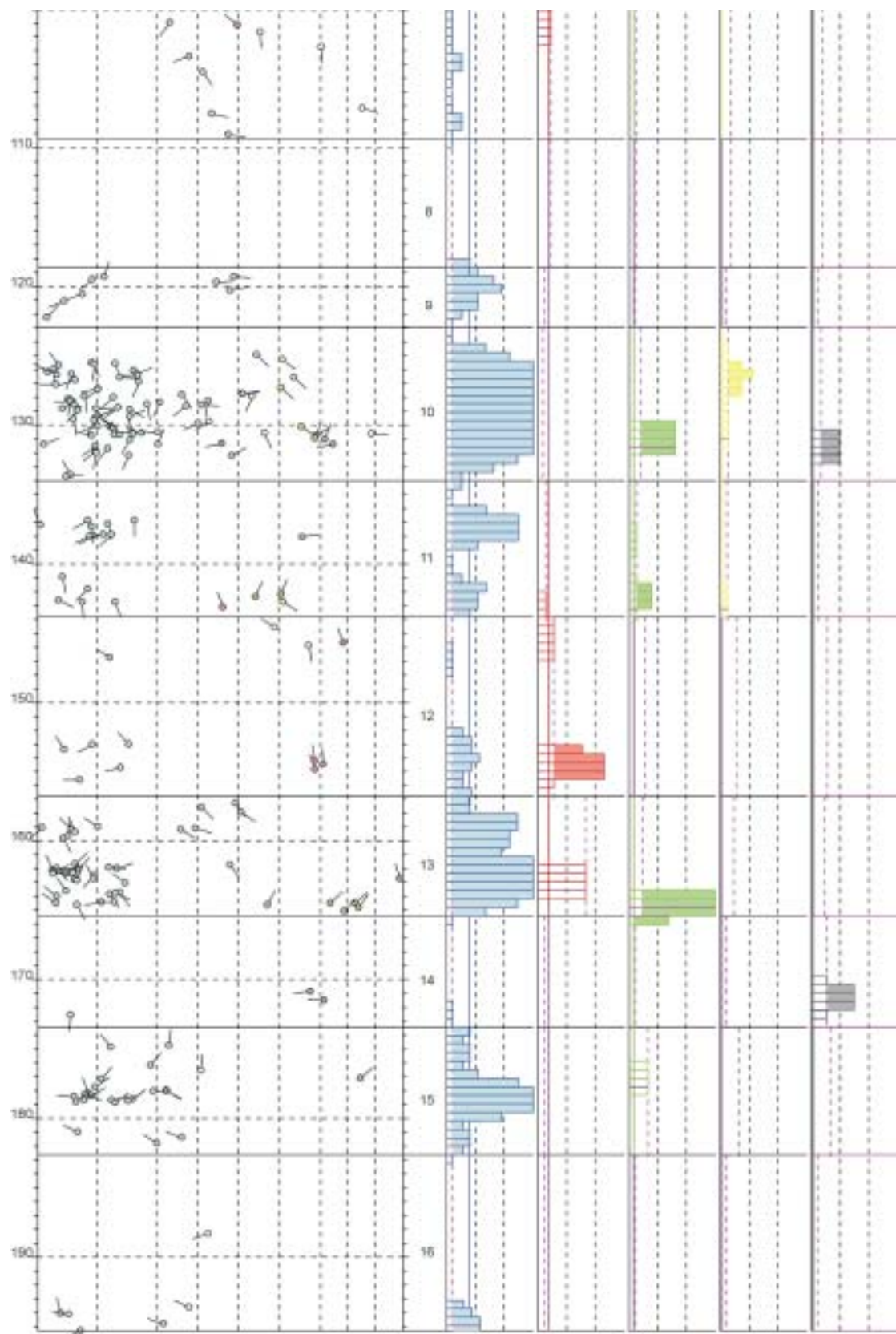
Bh 3. Sprekkeanalyse. Frekvenshistogrammer for definerte soner.

Figur 1.4 viser frekvenshistogrammer for Bh 3. Databilag 1.1 viser sprekkedata for hver av de definerte sonene. Borehullet er spesielt sterkt oppsprukket over 18 m. Her opptrer både steile og mindre steile sprekker. Gjennomsnittlig sprekkefrekvens ligger mellom 1.7 og 2.6 sprekker pr. meter for flere av de definerte sprekkegruppene i sone 1. Maksimumsfrekvens innen sonen er oppe i 3 sprekker pr. meter. Under 18 m er hullet lite oppsprukket med noe økende oppsprekking fra ca 50 m. Boring stoppet ved ca 62 m på grunn av dårlig fjell.

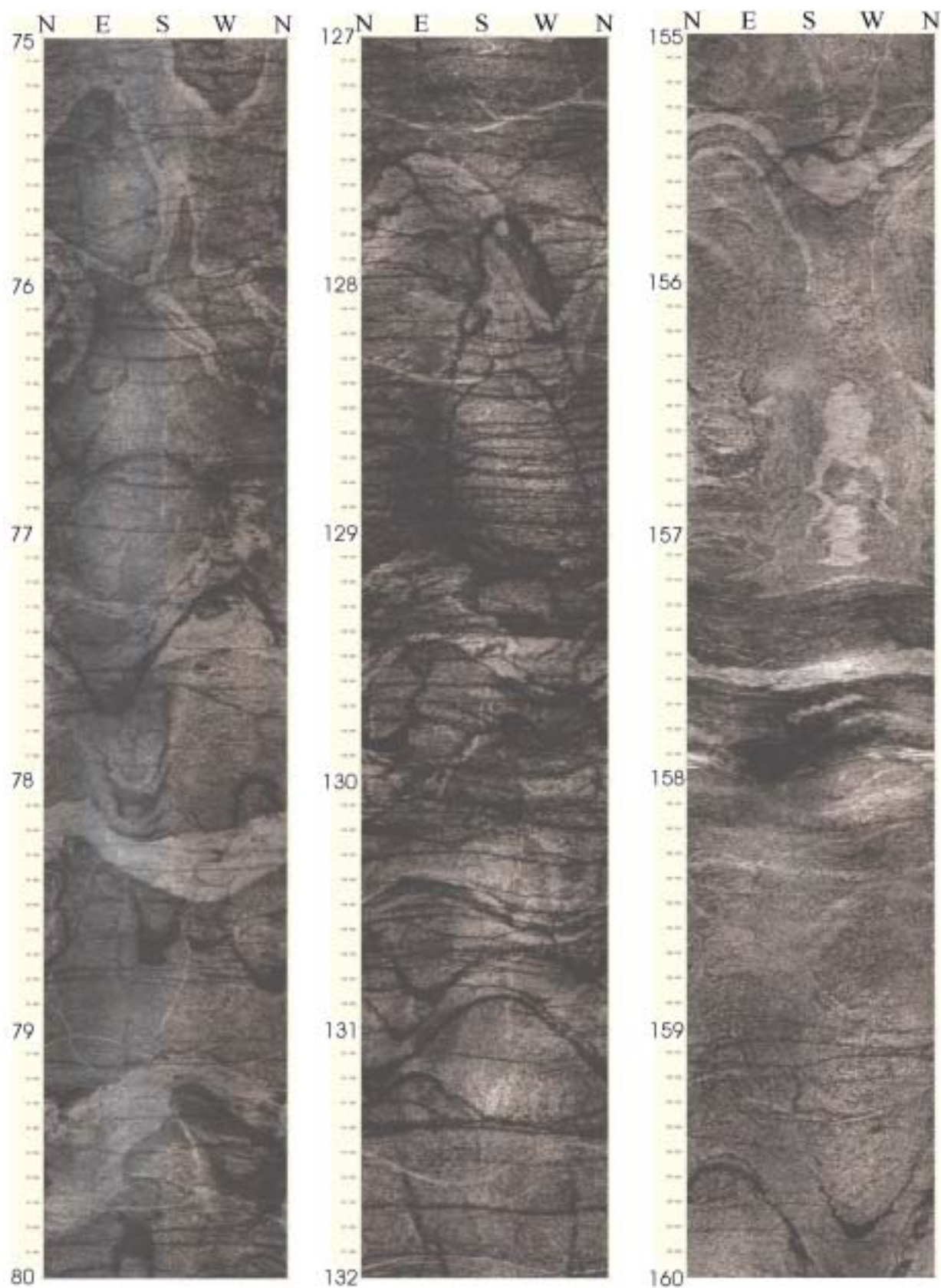
Figur 1.5 viser bildelogger fra deler av borehullet, 10 – 15 m, 50 – 55 m og 57.5 – 62. 5 m. Loggene viser sterkt oppsprukket fjell mellom 10 og 15 m. Mellom 51 og 53 m vises tre tydelige åpne sprekker. Ved 62.5 m stoppet sonden i tett borehull uten at en kan se noen klar årsak til dette på bildeloggen.



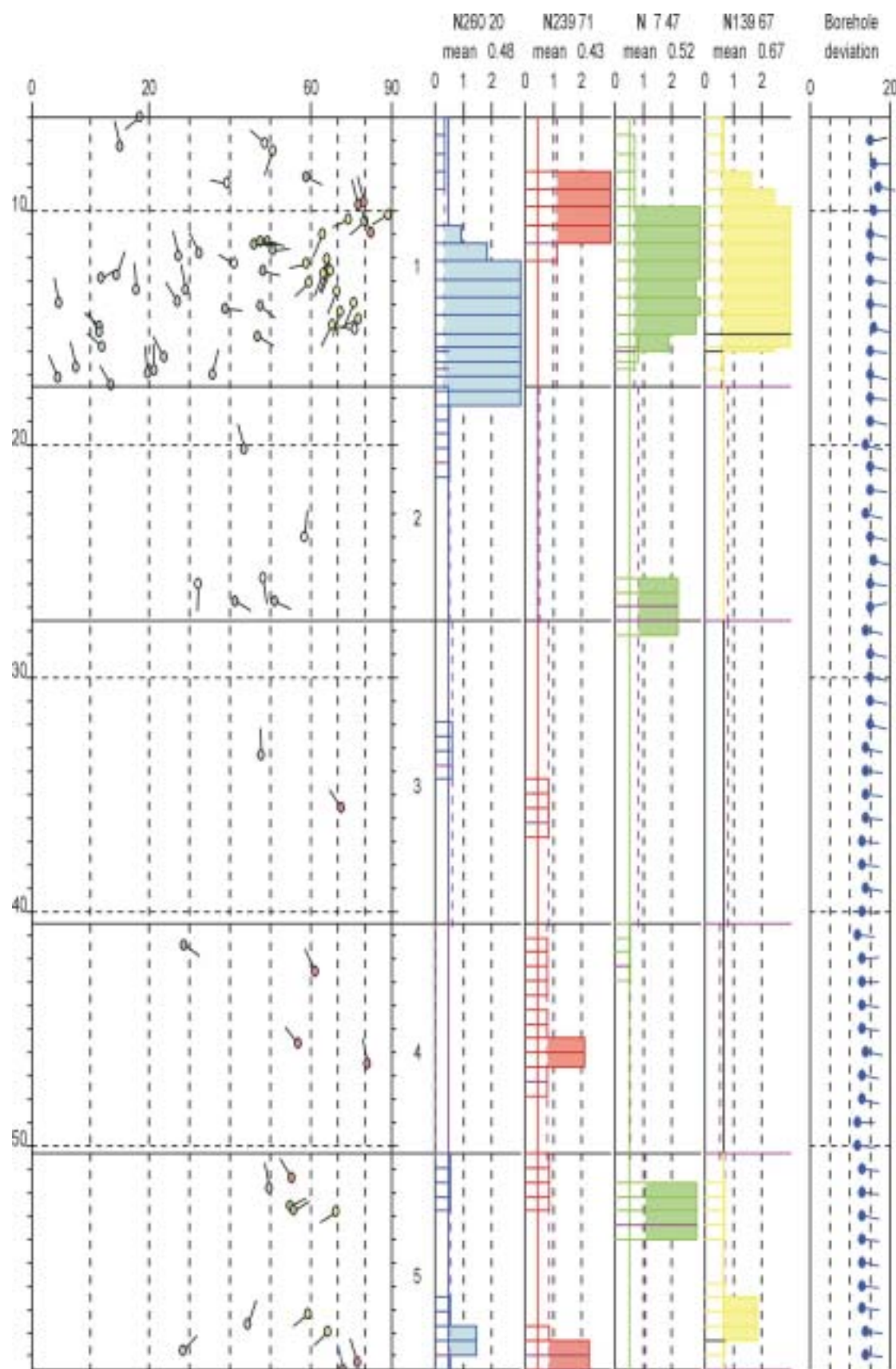
Figur 1.2a. Sia Bh 200 m, frekvenshistogram over indikerte sprekker 0 – 105 m.



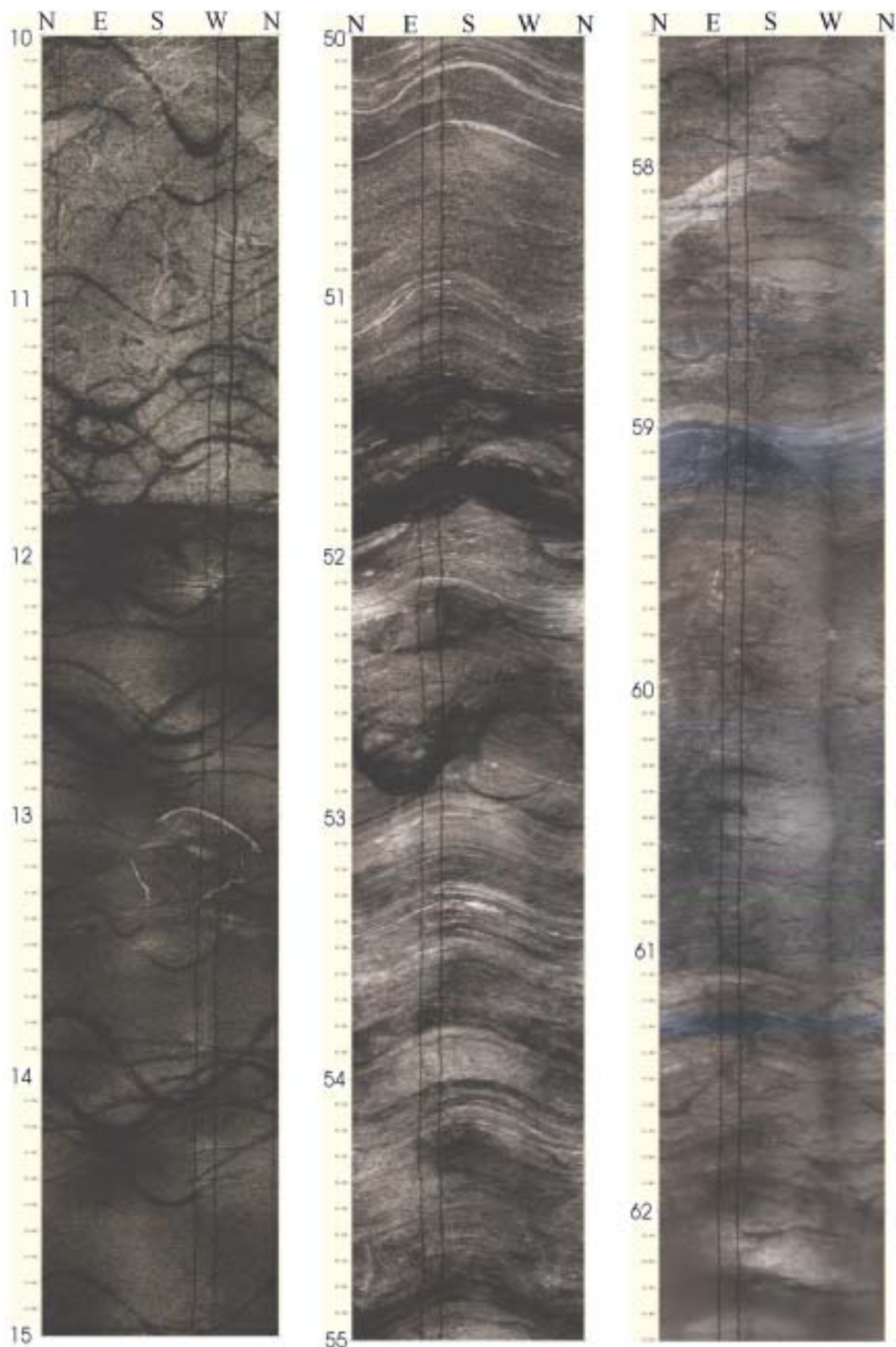
Figur 1.2b. Sia Bh 200 m, frekvenshistogram over indikerte sprekker, 100 – 195 m.



Figur 1.3. Sia, OPTV bildelogg fra deler av Bh 200 m. 75-80 m, 127 – 132 m og 155 – 160 m.



Figur 1.4. Sia, Bh 60 m. Frekvenshistogrammer over indikerte sprekker.

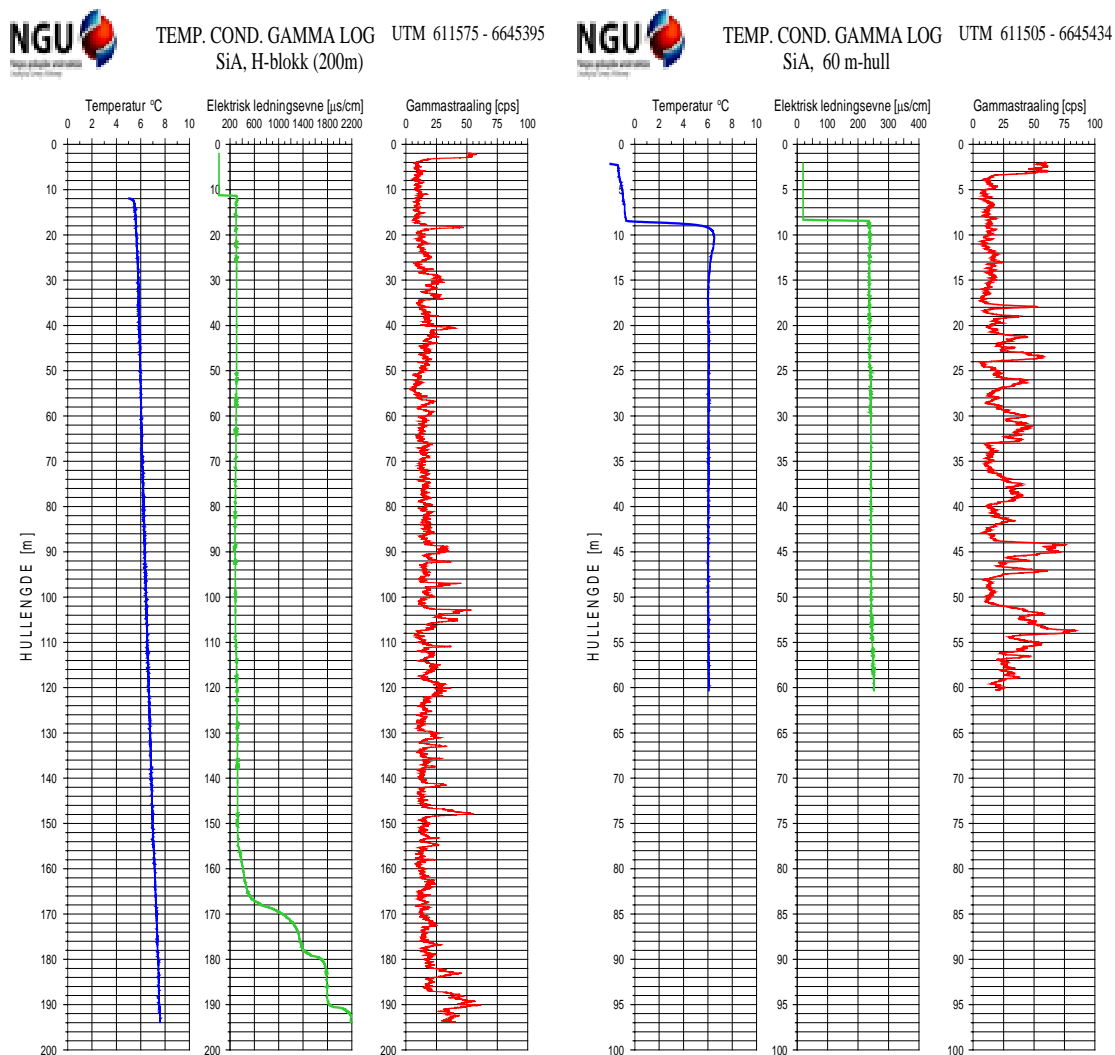


Figur 1.5. Sia. OPTV bildelogg fra deler av Bh 60 m. 10 – 15 m, 50 – 55 m og 57.5 – 62.5 m.

1.3 Temperatur, elektrisk ledningsevne og naturlig gammastråling

Figur 1.6 viser logg over vannets temperatur, elektrisk ledningsevne og naturlig gammastråling for begge borehull. Endringer i temperatur og ledningsevne kan indikere vanninnstrømning i hullet. I Bh 4 øker temperaturen jevnt nedover hele borehullet med en gradient på $0.91^{\circ}\text{C}/100\text{ m}$. Ingen sprang i temperaturen tyder på innstrømning av vann med annen temperatur. Ledningsevnen er tilnærmet konstant ned til 110 m der en liten økning kan registreres. Fra 155 m øker ledningsevnen tydelig og ved 168 m, 179 m og 190 m er økningen betydelig til $2200\text{ }\mu\text{s/cm}$ i bunnen av hullet. Årsaken kan være vanninnstrømning i borehullet. Det må imidlertid bemerkes at økningen er bemerkelsesverdig høy (saltvann ?). Gammastrålingen er generelt lav i hele hullet (10 –20 cps). Lokale topper indikerer trolig økning i kaliuminnhold, bånd med kalifeltpat.

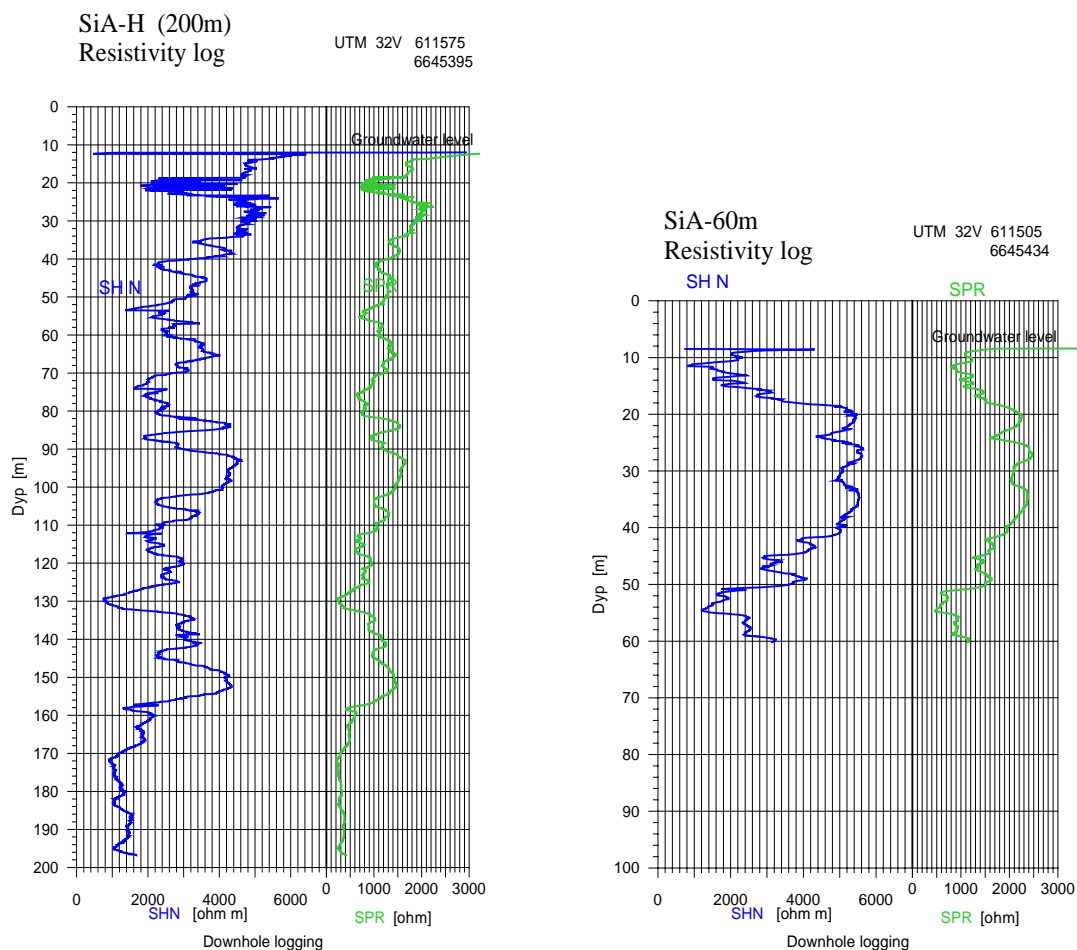
I Bh 4 er temperaturen tilnærmet konstant langs hele hullet ned til 60 m. Ledningsevnen viser en svak økning ved 24 m og fra ca 54 m. Åpne sprekker ble registrert på den optiske loggen mellom 51 og 53 m. Gammastrålingen er generelt lav med lokale topper på grunn av bånd med kalifeltpat.



Figur 1.6, Sia, temperatur, ledningsevne og total gammastråling i Bh 4 (venstre) og Bh 3 (høyre).

1.4 Resistivitet

Fjellresistivitet ble målt med utrustning fra Robertson Geologging. Det ble målt med konfigurasjon Short Normal (SN). Denne konfigurasjonen mäter motstanden i umiddelbar nærhet av borehullsveggen da avstand mellom strøm og potensialelektrode er 16". Samtidig med SN måles SPR (Single Point Resistivity). Dette er en punktmåling der det måles hvor mye strøm som går ut fra strømelektronen på sonden i borehullet. Ved å dividere spenningen på denne strømstyrken får en motstand (ohm) som er et mål for overgangsmotstanden mellom strømelektronen og borehullsveggen. SPR vil variere i takt med SN.



Figur 1.7. Sia. Resistivitet i fjell, Bh 4 (venstre) og Bh 3 (høyre).

Resistivitetslogg for begge hull er vist i figur 1.7. Fjellresistiviteten avspeiler oppsprekkingen i hullet på en tydelig måte. Sammenstiller en resistivitetsloggen for Bh 4 med frekvenshistogrammene , figur 1.2, ser en lav motstand der oppsprekkingen er stor. Laveste motstand er observert ved ca 130 m dyp, på samme sted hvor sprekkefrekvensen er størst. Fra ca 158 m , hvor det er stor oppsprekking, er motstanden lav helt til bunnen av hullet. Bortsett fra stor sprekkefrekvens ved 178 m er hullet forholdsvis lite oppsprukket under 165 m. Den lave motstanden kan ha sammenheng med den høye ledningsevnen i vannet. Porevannet i bergarten vil ha samme ledningsevne nær borehullsveggen, og dette vil påvirke fjellresistiviteten ved bruk av SN-konfigurasjon. Motstanden i lavmotstandssonene går ned mot 900 – 1000 ohmm, som ved 130 m dyp. Slike motstandsverdier kan indikere at det er leirmineraler tilstede i sonen. Det er imidlertid ikke observert leirsoner på den optiske loggen

ved dette dyp, så det er nok den intense oppsprekkingen som gir den lave motstanden, se bildelogg figur 1.3. Det samme kan sies om de øvrige sonene.

I Bh 3 er det lav motstand øverst og nederst i hullet. Mellom 10 og 16 m indikeres en lavmotstandssone med motstandsverdier ned mot 800 ohmm (ca 12 m dyp). Den optiske loggen viser høy oppsprekking i det samme området. I tillegg er det en mørkere bergart mellom 11.8 og 15.5 m. Mellom 18 og 50 m er hullet lite oppsprukket noe som gir høy resistivitet (5000 ohmm). Fra 50 m går resistiviteten ned til 1200 – 1600 ohmm. Økende oppsprekking er årsaken og spesielt åpne sprekker mellom 51 og 53 m, se bildelogg figur 1.5. Fastboring ved ca 63 m tyder på svært dårlig fjell (leirslepper?) fra dette dyp. Resistivitetsloggen når ikke ned til dette dyp slik at en kan ikke si noe om motstandsforholdene i svakhetssonen det er boret inn i.

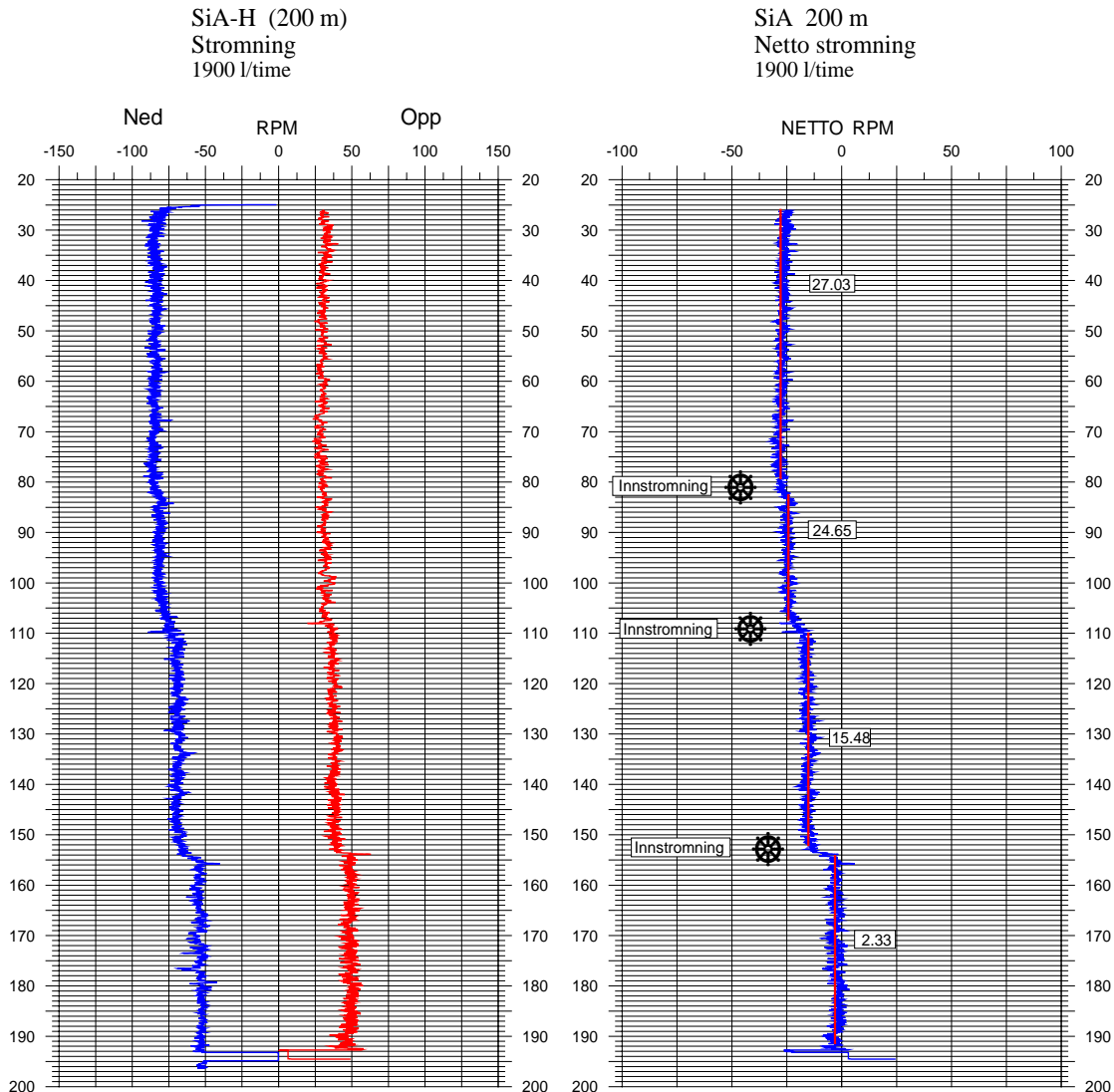
1.5 Strømningsmåling med pumping

Med strømningsmåling i borehull kan en bestemme hvor i hullet vann eventuelt strømmer inn. Måling må skje samtidig med pumping. Strømningsmåling kan utføres ved at sonden senkes eller heves med konstant hastighet i borehullet. Sonden som består av en veldig følsom propell (roterer i begge retninger), vil begynne å rottere når vann strømmer forbi. Det som registreres er omdreiningstallet (rpm) og dette er et mål for vannets strømningshastighet. Ved logging opp eller ned vil propellen rotere pga. sondens hastighet. Strømning i hullet vil da påvirke omdreiningstallet positivt eller negativt alt etter om det logges nedover eller oppover. Ved å ta differansen mellom logging opp og ned får en netto omdreiningstall for kun vannstrøm. Pumpa må plasseres over sonden så langt opp i hullet som mulig. Vann fra eventuelle sprekker vil da strømme oppover i hullet og endringer i omdreiningstallet indikerer hvor vann strømmer inn i hullet. Negativt omdreiningstall er definert som strøm oppover.

Strømningsmåling ble bare utført i Bh 4. Pumpa ble plassert på 20 dyp og det ble logget opp og ned med konstant hastighet 5 m/min. Pumperaten var 1900 l/time. Figur 1.8 viser resultatet fra strømningsmålingene. Ut fra loggedata opp og ned er netto omdreiningstall regnet ut. Gjennomsnittlig omdreiningstall over og under vanninnslag er beregnet. Forutsatt at vannstrømmen øverst i hullet utgjør 100 % av den totale strømningen kan en beregne prosentvis fordeling fra de forskjellige vanninnslagspunktene (sprekkesoner). Dette ga følgende resultat :

| Sprekkesone | % innstrømning |
|-------------|----------------|
| 81 m | 9.6 |
| 109 m | 37.1 |
| 153 m | 53.3 |

Det ble indikert vanninnslag på tre steder i borehullet. Over halvparten (53.3 %) av vannet kommer fra en sone på 153 m dyp. 37.1 % kommer fra 109 m mens en liten del kommer fra 81 m, 9.6 %.



Figur 1.8. Sia Bh 4. Strømningsmåling opp og ned (venstre) og netto strømning som viser hvor en har vanninnslag (høyre).

1.6 Diskusjon, borehullslogging

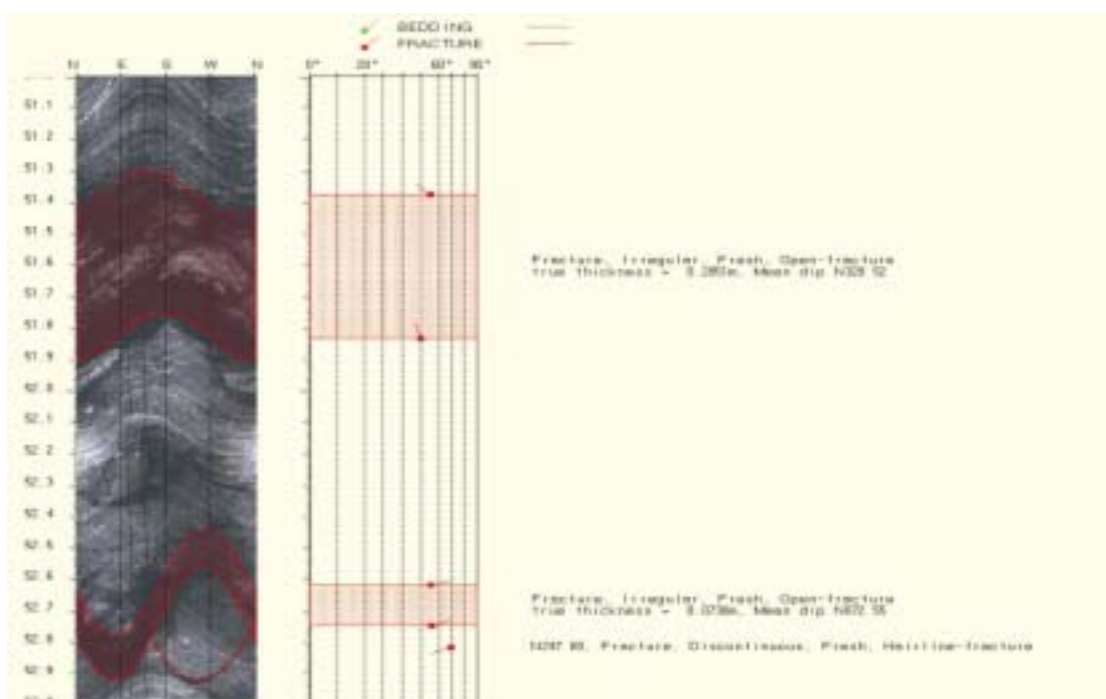
Hensikten med borehullsloggingen i energibrønnen ved Sia har vært å karakterisere berggrunnen. All oppsprekking i de undersøkte brønner er kartlagt med optisk televiever. Indikasjoner på vanninnstrømning i brønnene er kartlagt ved logging av temperatur og ledningsevne i vannet. Logging av naturlig gammastråling gir geologisk informasjon. Resistivitet i fjell har gitt opplysninger om oppsprekking og strømningsmåling har påvist vanninnslag.

Bh 4 er stedvis sterkt oppsprukket, hoveddelen av sprekkene har slakt fall med gjennomsnittlig strøkretning N052, NØ-SV. Dette kan ha betydning for grunnvannsstrømmen i et borehullslager med stor horisontal overflate. De påviste vanninnslag er imidlertid ikke alltid knyttet til områder i hullet hvor oppsprekkingen er størst. Vanninnslag er påvist ved 81 m, 109 m og 153 m. Oppsprekkingen er stor mellom 50 og 80 m dyp. Vanninnslaget, 9.6 %, kommer like under denne sonen og har sikkert tilknytning til de overliggende

sprekkesystemer. Vanninnslaget ved 109 m (37.1 %) ligger i den del av borehullet som er minst oppsprukket i følge den optiske loggen. Ledningsevnen i vannet har en svak økning ved 110 m og resistiviteten går ned fra 109 m, begge deler er indikasjon på vanninnstrømning. Ved ca 130 m hvor en har den mest intense oppsprekkingen i borehullet, er det ingen påvisning eller indikasjon på vanninnstrømning. Lav resistivitet i fjellet bekrefter imidlertid den intense oppsprekkingen.

Mesteparten av vannet kommer fra en sone ved ca 153 m (53.3 %). Oppsprekkingen er moderat, men øker fra 157 m til 165 m. Ved 157 m observeres et åpent hull på den optiske loggen. Vannets ledningsevne øker tydelig fra 154 m som er en indikasjon på innstrømning. Ledningsevnen øker ytterligere ved 168 m, 180 m og 190 m uten at det er påvist innstrømning på de samme steder.

I Bh 4 er oppsprekkingen størst øverst i hullet, mellom 10 og 18 m. Ellers er hullet lite oppsprukket men oppsprekkingen øker fra 50 m. Resistivitetsloggen avspeiler samme mønster. Temperaturloggen gir ingen indikasjon på vanninnstrømning. Ledningsevnen øker svakt fra 54 m. En åpen sprekkesone observeres på den optiske loggen mellom 51 og 52 m, se figur 1.9. Sann tykkelse på denne er 28 cm med et fall på 52 ° mot NNV. Det er ikke gjort strømningsmåling i dette hullet slik at en har ikke fått bekreftet vannstrøm fra denne sprekkesonen. En litt mindre åpen sprek observertes ved 52.8 m.

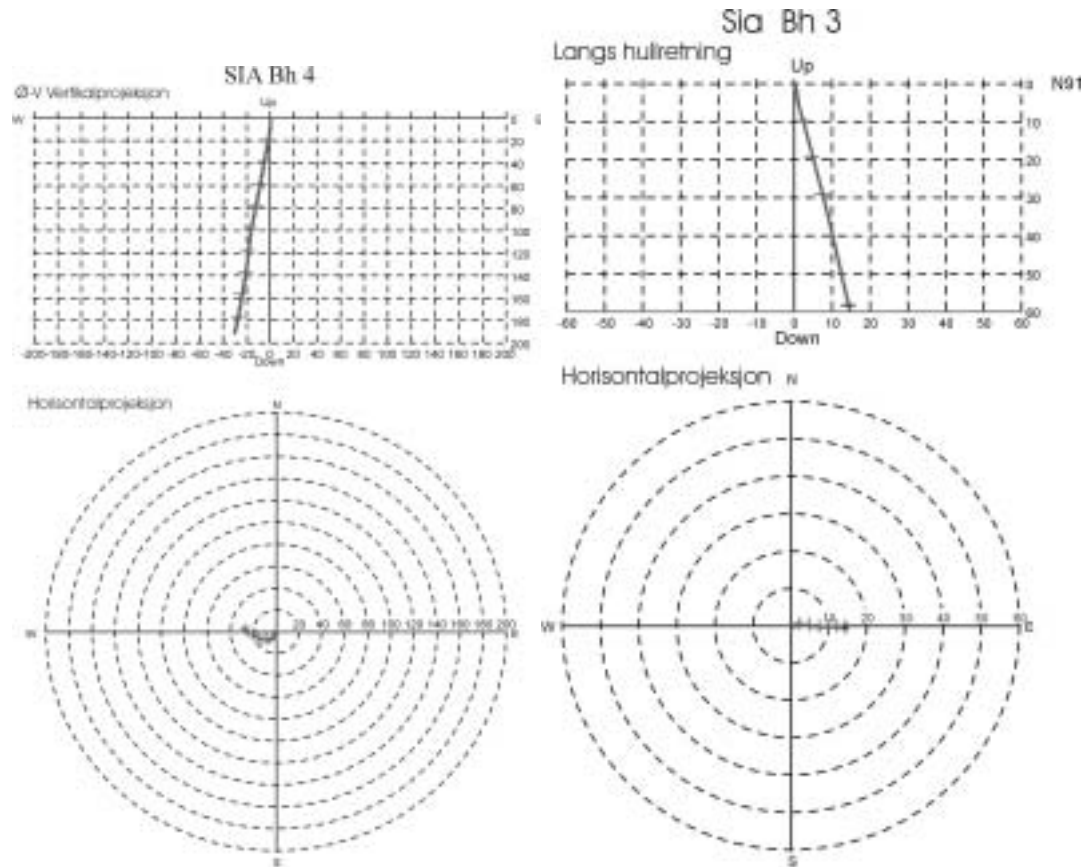


Figur 1.9. Sia Bh 3. Sprekkelogg med åpne sprekker mellom 51 og 53 m dyp.

1.7 Avviksmåling

Avviksmåling blir gjort kontinuerlig med OPTV-sonden. Ettersom magnetometre brukes til å bestemme retningen til hullbanen vil unøyaktigheter oppstå med magnetisk materiale borehullet, for eksempel foringsrør eller magnetittholdige bergarter. Figur 1.10 viser

borehullsforløp, vertikal- og horisontalprojeksjon, av begge borehull. Det er ingen store avvik fra planlagt fall og retning, bortsett fra retningen på Bh 4. Hullet er satt på mot SV men dreier nesten 90° mot NV.



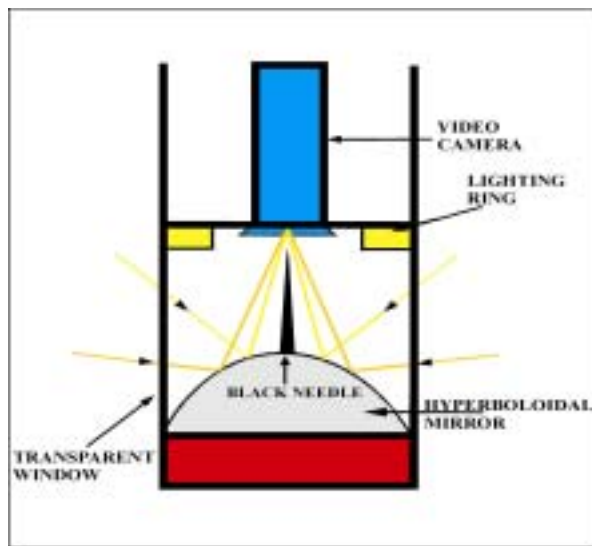
Figur 1.10. Sia. Borehullsavvik for Bh 4 (venstre) og Bh 3 (høyre).

METODEBESKRIVELSE OPTISK TELEVIEWSER (OPTV)

Optisk televiwer kan benyttes til inspeksjon av grunnvannsbrønner, grunnvarmebrønner, forundersøkelser for fjellanlegg (tunneler, fjellrom), og er i mange tilfeller bedre enn tradisjonell kjerneboring da en får orienterte sprekker og strukturer. I det følgende blir måleprinsipp for optisk televiwer beskrevet. Analyse av data blir illustrert ved eksempler fra borehull.

Måleprinsipp og utførelse.

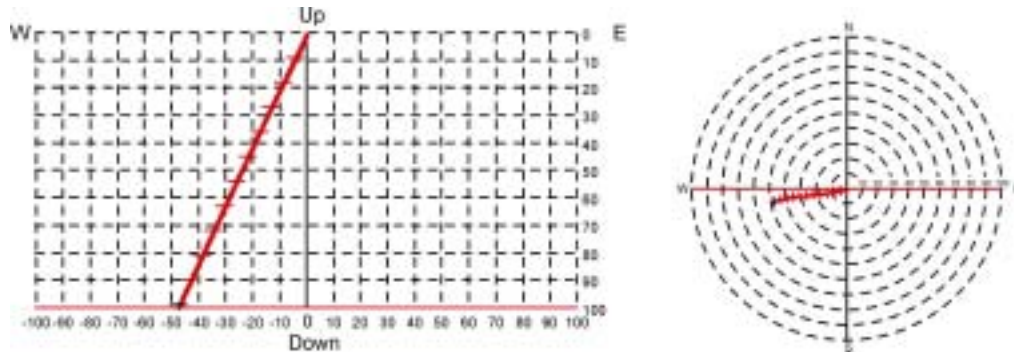
Optisk televiwer er et instrument som brukes ved inspeksjon av borehull med en diameter fra 70 – 160 mm. Instrumentet består av et digitalt kamera som filmer mot et hyperbolsk speil, se prinsippskisse figur 1. Kameraet ”ser” vinkelrett en større del av borehullsveggen, men bare en sirkel med høyde 1 mm registreres. Sonden senkes med en maksimal hastighet 1 meter pr minutt ned i borehullet, og for hver millimeter gjøres en registrering. Det kan samples 360 eller 720 punkter sirkelen rundt, og i vanlige fjellbrønner gir dette en pikselstørrelse på ca. 1mm x 1 mm. Med en slik oppløsning kan metoden påvise sprekker med tykkelse ned mot 0,5 mm. Metoden kan benyttes i tørre og vannfylte hull, men krever selvsagt relativt klart vann.



Figur 1: Prinsippskisse av optisk televiwer.

Sonden har innbygget et trekomponent magnetometer, og dette sammen med tre akselerometre sørger for å orientere bildet (opptaket) uansett sonden og borehullets forløp. På grunnlag av det orienterte bildet av borehullsveggen kan strøk, fall og sann tykkelse av kryssende strukturer beregnes.

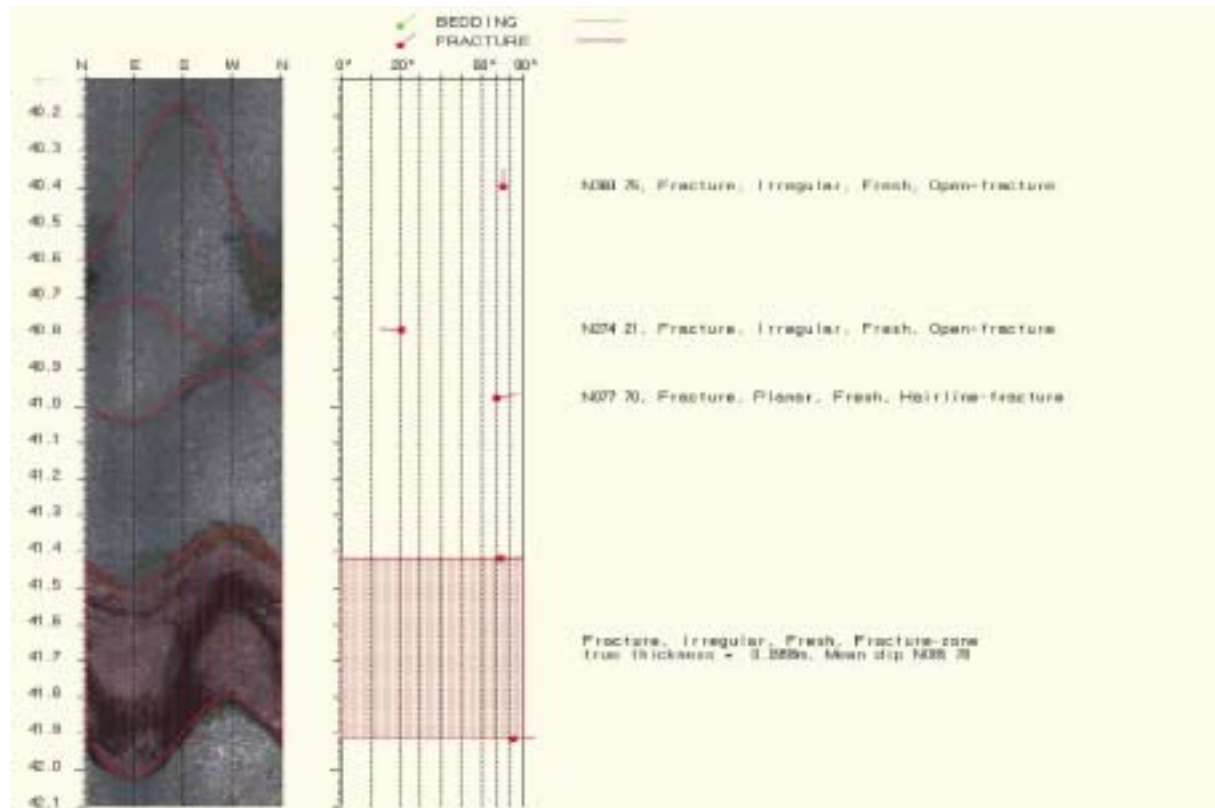
Med data fra denne instrumenteringen kan også borehullets forløp (avvik) beregnes (Figur 2). Borehullsvinkel kan måles i området $0 - 180^\circ$ med en nøyaktighet på $\pm 0.25^\circ$. Retningen kan måles fra 0 til 360° med en nøyaktighet på $\pm 2.5^\circ$. Avviket måles kontinuerlig langs hele borehullet. Data kan plottes ut grafisk og i tabellform. Vertikalsnitt (tre retninger), horizontalprosjeksjon og 3D-plott kan plottes ut. I tillegg til at det er viktig å vite hvor hullet går, må en vite fall og retning på hullet for å bestemme strøkretning og fallvinkel til sprekene som observeres.



Figur 2: Eksempel på borehullsforløp, vertikalprojeksjon øst-vest (venstre) og horisontalprojeksjon (høyre).

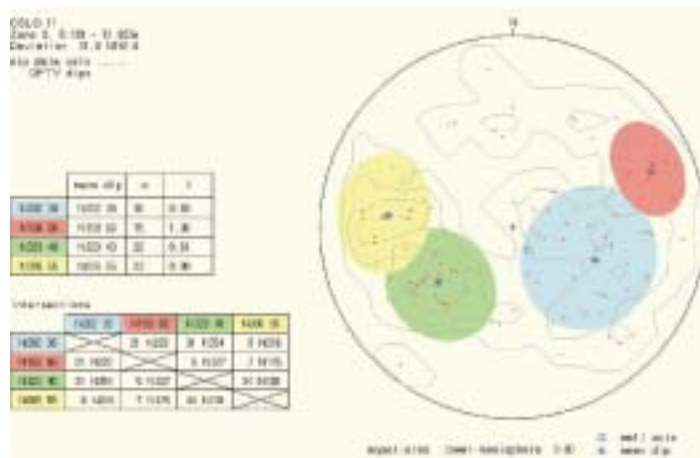
Analyse av data.

Ved analyse brettes det orienterte digitale bildet ut (se figur 3). Plane sprekker vil da indikeres som en sinusformet kurve. Steile sprekker vil indikeres med store amplituder ved loddrette hull. Dersom borehullet skjærer sprekken vinkelrett, vil disse vises som rette linjer. Siden bildet er orientert, kan sprekkenes retning og fall beregnes ved å tilpasse (digitalisere) en sinuskurve til hver av dem. Har sprekken en viss utbredelse, kan både topp og bunn digitaliseres, og derved kan den sanne tykkelsen beregnes. Analyseprogrammet inneholder en menystyrт beskrivelse av de enkelte hendelser. Tilsvarende analyse kan gjøres for primære geologiske strukturer (ganger, lagdeling).



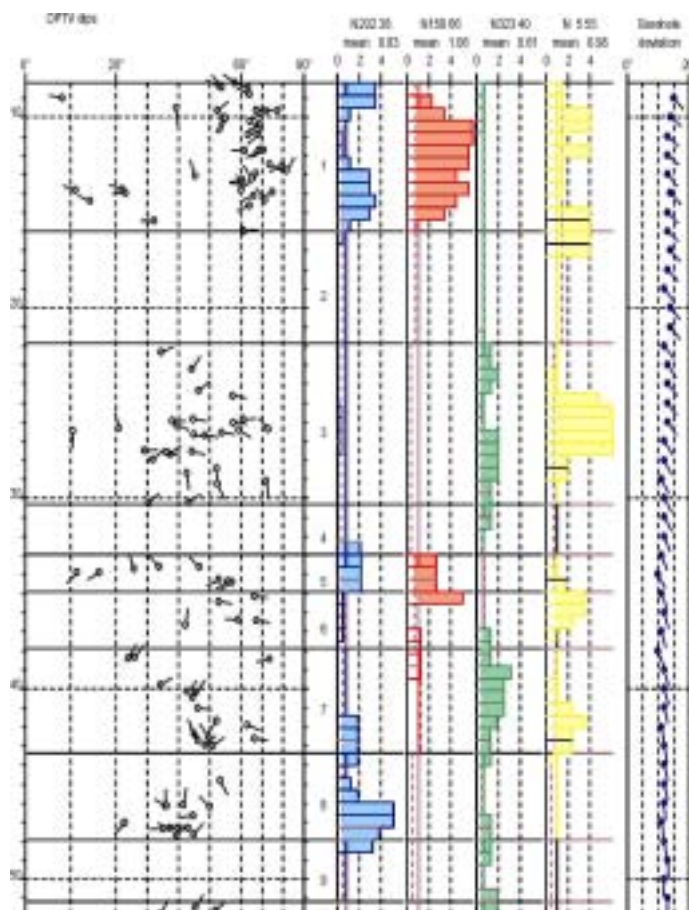
Figur 3: Eksempel på opptak og analyse. Enkeltstående sprekker er tilordnet sinusfunksjon og fallretning og vinkel beregnet. Pilhodet angir individuelle sprekkers fall mens halen viser fallretning (nord opp). Ved større åpne sprekker er topp og bunn digitalisert og sann åpning på sprekken er beregnet (nederst på bildet – fracture zone). Når alle hendelser er digitalisert, kan en utføre sprekke- og strukturanalyse. Etter å ha plottet polen (normalvektoren) til alle digitaliserte sprekker i et stereogram (figur 4), kan forskjellige

sprekkegrupper defineres. Disse får tildelt en farge, og sprekkegruppens middelverdi for strøk og fall beregnes. Det kan også gjøres analyse på skjæringslinjer mellom midlere sprekkeplan.



Figur 4. Eksempel på analyse av sprekker i stereogram. I øverste tabell er midlere sprekkeretning og fallvinkel for hver sprekkegruppe beregnet, og antall sprekker og sprekkefrekvens for hele hullet beregnet for hver av gruppene. Nederste tabell viser retning og fall på skjæringslinjen mellom de midlere sprekkeplanene.

Neste steg er å plotte alle digitaliserte hendelser, nå med tilordnet gruppefarge, som funksjon av dyp. De forskjellige sprekkmønstrene tilordnes histogrammer, og på grunnlag av disse kan hullet deles inn i soner som hver er karakterisert med spesielle sprekkmønster. Sprekkefrekvens for alle definerte grupper kan deretter beregnes innenfor hver sone i borehullet. Tilsvarende analyser kan også gjøres for bergartsganger og eventuelt bergartsgrenser. I tillegg til grafisk presentasjon kan alle data listes i tabellform.



Figur 5. Sprekkelogg for tolket borehull. Til venstre vises de individuelle sprekken som pilplott. Pilhodene angir individuelle sprekkers fall, mens halen viser fallretning (nord opp). Histogrammene viser hvor i borehullet de forskjellige sprekkmønstrene opptrer (sprekkefrekvens). Høyre kolonne viser borehullsforløp med fall og retning. Heltrukne horisontale linjer angir grenser mellom definerte soner.

Figur 5 viser frekvenshistogrammer for et borehull som er undersøkt med optisk televue. Frekvenshistogrammene (rød, blå, grønn og gul) viser beregnet sprekkefrekvens i definerte soner av hullet, og viser dermed detaljert hvordan oppsprekkingen er i hullet. Alle sprekker er angitt i "pilplott" der pilens hode angir fallet, mens halen angir fallretning. Nord er opp på arket. Hvert

pilhode er fylt med den gruppefarge tilsvarende sprekk tilhører. Piler uten farge er sprekker utenfor noen av de definerte gruppene.

Strøk og fall til et plan er entydig bestemt i et stereografisk plott (her plottet som plan-normalens skjæringspunkt, pol, med nedre kuleskall, lower hemisphere). Planets strøk er en horisontal linje i planet, mens fallet er vinkelen mellom planet og horisontalen målt 90° på strøket.

Planets fallretning der strøkretningen er den samme (f.eks. N180 og N0), bestemmes av retningen til planets normal, og vil være normalens retning pluss 180° . Planets strøkretning er fallretning minus 90° grader. Dermed er også strøkretningen entydig bestemt. Strøkretning beregnes som vinkel fra nord. Hvis for eksempel strøkretning og fall er N180 45, er strøkretningen 180° fra nord (NS) og fallet er 45° mot vest (fallretning N270), mens N0 45 faller mot øst (fallretning N90).

Alle sprekke- og borehullsdata kan listes opp i tabeller. Eksempler på slike tabeller med forklaring er vist i tabell 1, 2 og 3.

RGLDIPv5.2 OPTV results

K = 0: BEDDING

K = 2: FRACTURE

borehole OSLO 11
zone from 1.350 to 53.043 m

| | Depth | Azimuth | Dip | 1-P0/100 | n | Q | K | Upper Depth | Lower Depth | Well Diam | Well Azimuth | deviation Dev |
|----|--------|---------|------|----------|---|---|---|-------------|-------------|-----------|--------------|---------------|
| 1 | 51.823 | 36 | 34.1 | 0.000 | 3 | 2 | | 51.778 | 51.868 | 0.135 | 177.92 | 12.46 |
| 2 | 51.617 | 55 | 51.8 | 0.000 | 3 | 2 | | 51.533 | 51.701 | 0.135 | 180.58 | 13.00 |
| 3 | 51.514 | 39 | 45.2 | 0.000 | 3 | 2 | | 51.448 | 51.580 | 0.135 | 180.64 | 13.00 |
| 4 | 47.671 | 53 | 39.4 | 0.000 | 3 | 2 | | 47.617 | 47.725 | 0.135 | 168.50 | 11.50 |
| 5 | 47.629 | 48 | 44.8 | 0.000 | 3 | 2 | | 47.563 | 47.695 | 0.135 | 168.68 | 12.00 |
| 6 | 47.352 | 269 | 35.0 | 0.000 | 3 | 2 | | 47.305 | 47.349 | 0.135 | 169.00 | 12.00 |
| 7 | 47.312 | 281 | 43.0 | 0.000 | 3 | 2 | | 47.330 | 47.375 | 0.135 | 168.33 | 12.00 |
| 8 | 47.311 | 280 | 42.8 | 0.000 | 3 | 2 | | 47.250 | 47.372 | 0.135 | 168.31 | 12.00 |
| 9 | 47.296 | 285 | 37.3 | 0.000 | 3 | 2 | | 47.246 | 47.346 | 0.135 | 168.01 | 12.00 |
| 10 | 47.294 | 276 | 39.7 | 0.000 | 4 | 2 | | 47.239 | 47.349 | 0.135 | 168.18 | 12.00 |
| 11 | 47.041 | 230 | 22.9 | 0.000 | 3 | 2 | | 47.024 | 47.070 | 0.135 | 170.00 | 11.91 |
| 12 | 47.040 | 228 | 22.6 | 0.000 | 3 | 2 | | 47.025 | 47.068 | 0.135 | 170.00 | 11.89 |
| 13 | 46.651 | 263 | 44.7 | 0.000 | 3 | 2 | | 46.585 | 46.717 | 0.135 | 169.11 | 11.11 |
| 14 | 46.205 | 307 | 50.0 | 0.000 | 3 | 2 | | 46.258 | 46.285 | 0.135 | 172.00 | 12.00 |
| 15 | 46.151 | 292 | 36.3 | 0.000 | 3 | 2 | | 46.140 | 46.201 | 0.135 | 172.90 | 12.00 |
| 16 | 46.125 | 359 | 35.7 | 0.000 | 3 | 2 | | 46.078 | 46.172 | 0.135 | 173.41 | 12.00 |
| 17 | 46.093 | 12 | 41.5 | 0.000 | 3 | 2 | | 46.035 | 46.151 | 0.135 | 174.00 | 12.00 |
| 18 | 44.807 | 148 | 53.3 | 0.000 | 3 | 2 | | 44.718 | 44.896 | 0.135 | 169.23 | 12.00 |
| 19 | 42.991 | 61 | 50.9 | 0.000 | 3 | 2 | | 42.910 | 43.072 | 0.135 | 167.10 | 12.00 |
| 20 | 42.949 | 58 | 48.5 | 0.000 | 3 | 2 | | 42.874 | 43.024 | 0.135 | 167.92 | 12.00 |

Tabell 1, Data for borehullene og digitaliserte sprekker.

- Depth - Dyp langs borehullet
- Azimuth - Sprekkens fallretning
- Dip - Sprekkesplanetets fallvinkel
- n - Antall punkter brukt for å digitalisere en sprekke
- K - Type sprekke (2 = sprekke, 0 = bånding)
- Upper depth - Dyp til sprekkesplanetets øvre skjæringspunkt med borehullsveggen
- Lower depth - Dyp til sprekkesplanetets nedre skjæringspunkt med borehullsveggen
- Well diam. - Borehullsdiamaeter
- Well deviation:
- Azimuth - Borehullets fallretning
- Dev - Borehullets fallvinkel målt fra loddlinjen

RGLDIPv5.2 DIP DATA INTERPRETATION: FRACTURE ANALYSIS

borehole
zone from 8.000 to 52.000 m
16 Aug 2000

Data is classed into 1 types
5 OPTV_dips
Quality cut-off level: *
Mean well deviation: 11.8deg to N147.8

4 small-circles defined

| | SEARCH AREA | | | | | | MEAN DIP | | | | | | | | | | | | |
|---|-------------|------|------|--------|-----|----|----------|--|-----|-----|---|---|--|-----|-----|---|---|--|--|
| | azim | p1 | cone | strike | dip | n | f | | Str | Dip | n | f | | Str | Dip | n | f | | |
| 1 | 112.2 | 53.7 | 30.0 | 202 | 38 | 30 | 0.83 | | | | | | | | | | | | |
| 2 | 66.5 | 23.8 | 17.6 | 158 | 66 | 15 | 1.06 | | | | | | | | | | | | |
| 3 | 231.2 | 49.3 | 23.7 | 323 | 40 | 22 | 0.61 | | | | | | | | | | | | |
| 4 | 276.3 | 31.8 | 22.8 | 5 | 55 | 23 | 0.98 | | | | | | | | | | | | |

Total number of data = 90
Number of data unaccounted for = 26

| ZONE No. | DEVIATION Dev | DEPTHs m TOP | DEPTHs m BASE | No. DATA | MEAN DIPS and FREQUENCIES | | | | | | | | | | | | | | |
|-------------|------------------|-----------------|------------------|-------------|---------------------------|-----|----|------|------|-----|----|------|------|-----|----|------|------|---|----|
| | | | | | Str | Dip | n | f | Str | Dip | n | f | Str | Dip | n | f | | | |
| 1 | 13.3 | 128.8 | 8.20 | 16.01 | 42 | 197 | 40 | 13 | 1.88 | 157 | 69 | 11 | 3.10 | 328 | 52 | 1 | 0.24 | | |
| 2 | 13.3 | 133.8 | 16.01 | 21.87 | 0 | 0 | 0 | 0.00 | 0 | 0 | 0 | 0.00 | 0 | 0 | 0 | 0.00 | 0 | 0 | |
| 3 | 12.2 | 139.9 | 21.87 | 30.34 | 27 | 253 | 21 | 1 | 0.12 | 0 | 0 | 0 | 0.00 | 329 | 36 | 8 | 1.23 | | |
| 4 | 11.7 | 149.6 | 30.34 | 32.94 | 0 | 0 | 0 | 0.00 | 0 | 0 | 0 | 0.00 | 0 | 0 | 0 | 0.00 | 0 | 0 | |
| 5 | 11.0 | 150.0 | 32.94 | 34.90 | 8 | 217 | 28 | 4 | 2.16 | 155 | 55 | 3 | 2.68 | 0 | 0 | 0 | 0.00 | 0 | 0 |
| 6 | 11.3 | 157.1 | 34.90 | 37.90 | 5 | 182 | 59 | 1 | 0.00 | 0 | 0 | 0 | 0.00 | 0 | 0 | 0 | 0.00 | 5 | 62 |
| 7 | 11.5 | 162.6 | 37.90 | 43.36 | 16 | 234 | 47 | 3 | 0.68 | 170 | 73 | 1 | 0.60 | 321 | 39 | 8 | 1.82 | 9 | 58 |
| 8 | 11.7 | 168.0 | 43.36 | 47.92 | 15 | 192 | 40 | 8 | 2.19 | 0 | 0 | 0 | 0.00 | 320 | 42 | 2 | 0.56 | 0 | 0 |
| 9 | 12.4 | 177.8 | 47.92 | 51.17 | 0 | 0 | 0 | 0.00 | 0 | 0 | 0 | 0.00 | 0 | 0 | 0 | 0.00 | 0 | 0 | |
| 10 | 13.0 | 180.5 | 51.17 | 51.82 | 3 | 0 | 0 | 0 | 0.00 | 0 | 0 | 0 | 0.00 | 314 | 43 | 3 | 5.64 | 0 | 0 |

Tabell 2. Data for definerte soner i borehullet for hver sprekkegruppe (search area).

Zone deviation:

Dev og azimuth - Sonens (borehullets) fallvinkel (fra lodd) og fallretning

Top og base - Sonens topp og bunn langs borehullet

No data - Antall sprekker i sonen

Mean dips and frequencies:

Str - Gjennomsnittlig strøkretning for hver av de definerte gruppene (i sonen)

Dip - Gjennomsnittlig fallvinkel for hver av de definerte gruppene (i sonen)

n - Antall sprekker i hver av de definerte sprekkegruppene (i sonen)

f - Gjennomsnittlig sprekkefrekvens i hver av de definerte sprekkegruppene (i sonen)

Borehole:

Depth range: 1.396 - 52.996m

| Depth | Deviation components | | | | |
|--------|----------------------|-------|--------|--------|-------|
| | North | East | Down | Devaz | Dev |
| 2.046 | -0.108 | 0.124 | 0.629 | 131.00 | 15.00 |
| 3.046 | -0.265 | 0.330 | 1.595 | 134.00 | 15.00 |
| 4.046 | -0.409 | 0.546 | 2.560 | 120.00 | 16.00 |
| 5.046 | -0.533 | 0.770 | 3.526 | 129.00 | 14.00 |
| 6.046 | -0.671 | 0.979 | 4.495 | 122.00 | 14.00 |
| 7.046 | -0.799 | 1.177 | 5.466 | 122.00 | 14.00 |
| 8.046 | -0.936 | 1.380 | 6.435 | 127.00 | 13.00 |
| 9.046 | -1.105 | 1.558 | 7.405 | 132.00 | 15.00 |
| 10.046 | -1.238 | 1.751 | 8.377 | 125.00 | 14.00 |
| 11.046 | -1.367 | 1.943 | 9.349 | 125.00 | 13.00 |
| 12.046 | -1.488 | 2.144 | 10.322 | 122.00 | 13.00 |
| 13.046 | -1.629 | 2.313 | 11.297 | 137.00 | 13.00 |
| 14.046 | -1.807 | 2.467 | 12.269 | 132.00 | 14.00 |
| 15.046 | -1.955 | 2.635 | 13.243 | 125.00 | 13.00 |
| 16.046 | -2.088 | 2.810 | 14.218 | 124.00 | 13.00 |
| 17.046 | -2.238 | 2.990 | 15.190 | 130.00 | 14.00 |
| 18.046 | -2.388 | 3.170 | 16.163 | 133.00 | 13.00 |
| 19.046 | -2.549 | 3.325 | 17.137 | 134.00 | 12.00 |
| 20.046 | -2.712 | 3.483 | 18.111 | 136.00 | 14.00 |

Tabell 3. Data for borehullsforløp (avvik).

| | |
|-------|-------------------------------------|
| Depth | - Dyp langs borehullet |
| North | - Nordkomponent |
| East | - Østkomponent |
| Down | - Vertikalt dyp |
| Devaz | - Hullets fallretning |
| Dev | - Hullets fallvinkel målt fra lodd. |

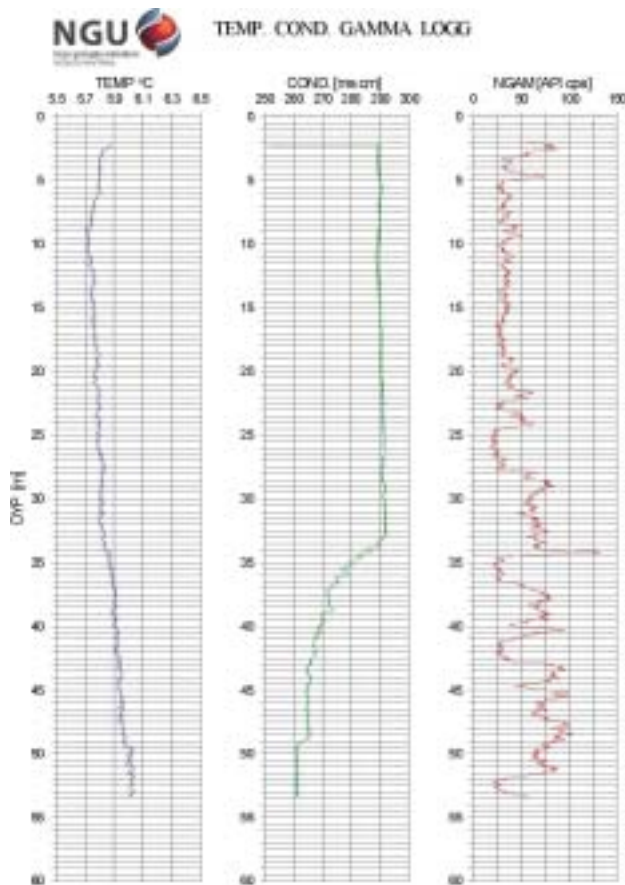
METODEBESKRIVELSE LOGGING TEMPERATUR, ELEKTRISK LEDNINGSEVNE, NATURLIG GAMMA.

Måling av vanntemperatur, vannets elektriske ledningsevne og naturlig gamma i borehull kan gi opplysninger om fjellets oppsprekking og om vanninnstrømning i borehullet. I grunnvarme- sammenheng er det viktig å vite temperaturgradienten mot dypet for å bergene en brønns varme- potensial. Miljøvennlig grunnvarme benyttes stadig mer til oppvarming både i private og større offentlige bygninger. Gammastråling gir geologisk informasjon. Temperatur, ledningsevne og gammastråling logges med en og samme sonde med en loggehastighet på 3 m/min.

Temperatursensoren produserer en elektrisk strøm som er proporsjonal med temperaturen og kan måle temperaturer i området 0 – 70 °C. Ledningsevnen i vannet måles ved å måle strømmen i en vannfylt celle. Strømstyrken er avhengig av ledningsevnen og det kan måles i området 50 – 50,000 µS/cm. Naturlig gammastråling måles i counts per second (cps), API standard. API er en felles internasjonal standard som sonden er kalibrert etter, slik at målinger med ulike typer og størrelser kan sammenlignes. Krystallen som brukes er NaI, 50 x 25 mm.

Forandring i vanntemperatur og elektrisk ledningsevne indikerer innstrømning av vann i hullet med andre egenskaper enn i brønnen forøvrig. Dette kan igjen tyde på åpne sprekker. Temperaturgradienten mot dypet har betydning for grunnvarmekapasiteten. Økt ledningsevne betyr økt ioneinnhold i vannet. Lavere ledningsevne kan tyde på innstrømning av overflatevann, da slikt vann vanligvis har noe lavere ioneinnhold enn vann som har oppholdt seg lenge i fjellet. Kravet til drikkevann er en ledningsevne mindre enn 400 µS/cm. Figur 1 viser eksempel pålogg.

Med gammalogg kartlegges den naturlige gammastrålingen (totalstråling) langs borehullet. Forandringer i gammastråling er knyttet til endringer i geologien og den mineralogiske sammensetningen i bergartene. Det er i hovedsak elementene kalium, uran og thorium som gir gammastråling. Mest vanlig er kalium som finnes i feltspat. Feltspat (kalifeltspat) er et mineral som finnes i de vanligste bergartene. Sandstein, f. eks., har liten gammastråling (mye kvarts), mens noen granitter har sterkere stråling da de inneholder feltspat og i enkelte tilfeller uran og thorium. Alunskifer har høy stråling da den inneholder noe uran.



Figur 1. Temperatur-, ledningsevne- og gammalogg fra borehull. Litt høyere temperatur dagnært skyldes påvirkning fra overflatetemperaturen. En svak økning ved 33 m kan skyldes innstrømning av vann med høyere temperatur. En tydelig nedgang i den elektriske ledningsevnen ved samme dyp kan tyde på det samme. Mest sannsynlig er det overflatevann som strømmer inn gjennom en åpen sprekke. Gammaloggen viser stor variasjon fra 20 m. Dette skyldes trolig varierende feltspatinnhold (kalium)

VEILEDNING FOR KJØRING AV OPTISK LOGG VED BRUK AV PROGRAMMET "OPTV.exe"

Ved å kjøre **Replay** i dette programmet kan en se en kontinuerlig logg (bilde) av borehullsveggen fra topp til bunn. Programmet kan kjøres direkte fra CD eller det kan kopieres inn på hard disk'en og kjøres derfra. Datafilene må kopieres over på hard disk (se senere).

Gå inn i **Utforsker** og klikk på symbolet for CD-rom. Klikk på katalogen **Sia**. En får da opp en liste over alle filer pluss katalogen **directx6**.

Hvis operativsystemet er Windows NT, får en problemer med å lukke programmet. Derfor må Windows NT brukere opprette en katalog som heter **Windows** direkte på C-disken (eller der operativsystemet ligger, vanligvis C). Windows 95-, 98-brukere trenger ikke tenke på dette.

Før oppstart kontroller at **directx6** er installert på PC. Ved å åpne katalogen **directx6** som ligger på CD'en får en opp en fil som heter **dx6core.exe**. Dobbeltklikk på denne filen og installering skjer automatisk, følg veiledningen og svar "yes".

Kontroller også at . (punktum) er satt opp som desimaltegn. Dette gjøres ved å klikke på **START – Innstillinger – kontrollpanel**. Klikk på **Regionale innstillinger** (settings) og deretter på **Tall** (number). I den øverste kolonnen – desimaltegn – må det stå . (punktum). Ofte kan det stå , (komma) her.

Både programfiler og datafil(er) ligger på CD'en. Datafilene har ending **.otv** og **.hed** (headerfil). Det går ikke an å lese en datafil direkte fra CD. Datafilene må derfor kopieres over på hard-disk og fjerning av skrivebeskyttelse. Dette gjøres på følgende måte. Kopier datafila (.otv og .hed) til egen katalog på hard-disken. Kopier gjerne alt innhold på CD (program-filer) over på harddisk. Klikk deretter med høyre musknapp på .otv fila. Klikk på **Egenskaper** (properties) nederst på listen som kommer opp. Klikk deretter på **Generelt**. Nederst på det bilde som kommer opp står **Attributter**. Fjern haken som står i ruten ut for **skrivebeskytter** (read only) og deretter **ok**.

Nå er det klart for å kjøre programmet **OPTV.exe**. Dette gjøres på følgende måte. Dobbeltklikk på filen **OPTV.exe** som ligger på CD. Programmet starter (Optical Televiewer-viewer mode). Klikk på **Fil** i menyen øverst til venstre og deretter på **Replay**. Det kommer da opp en boks for åpning av filer. Bla gjennom til den filen som skal åpnes (**NB!** .otv- fil som ble kopiert fra CD). Klikk på denne filen og åpne. Det kommer da opp en boks som viser Start depth og End depth. Disse tallene viser mellom hvilke dyp det er logget. Som oftest er det topp og bunn av borehullet. Disse tallene kan endres hvis en vil se bare et utsnitt av loggen innenfor det området som er logget. Klikk på **OK**. Nå kan avspilling av loggen starte ved å klikke på startsymbolet ► nederst til høyre. Bildet begynner da å rulle over skjermen. Bildet stoppes ved å klikke på pausesymbolet ▶. Start ved å klikke ▶ igjen. Loggen stoppes ved å klikke stoppsymbolet ■. Nå kan en enten ta inn en ny fil ved å klikke på **replay** eller gå ut av programmet ved å klikke på **Exit**.

RGLDIPv5.2 DIP DATA INTERPRETATION: FRACTURE ANALYSIS

borehole 200 m
zone from 10.000 to 196.000 m
31 Jan 2003

Data is classed into 1 types
5 OPTV_dips

Quality cut-off level: *

Mean well deviation: 9.5deg to N278.8

5 small-circles defined

| No. | SEARCH AREA | | | | MEAN DIP | | |
|-----|-------------|------|------|--------|----------|-----|------|
| | azim | pl | cone | strike | dip | n | f |
| 1 | 306.0 | 80.8 | 36.6 | 52 | 6 | 288 | 1.57 |
| 2 | 159.3 | 27.8 | 31.6 | 249 | 63 | 42 | 0.76 |
| 3 | 226.8 | 26.6 | 29.2 | 315 | 65 | 30 | 0.35 |
| 4 | 307.4 | 25.5 | 21.0 | 39 | 62 | 16 | 0.14 |
| 5 | 78.4 | 30.1 | 27.5 | 173 | 58 | 9 | 0.13 |

Total number of data = 385

Number of data unaccounted for = 30

| No. | ZONE | DEVIATION | DEPTHs m | | No. | MEAN DIPS and FREQUENCIES | | | | | | | | | | | | Str | Dip | n | f | | | | |
|-----|------|-----------|----------|--------|-----|---------------------------|------|------|------|-----|----|----|------|-----|----|----|------|-----|-----|---|------|-----|----|---|------|
| | | | Dev | Azim | | TOP | BASE | DATA | Str | Dip | n | f | Str | Dip | n | f | Str | Dip | n | f | Str | Dip | n | f | |
| 1 | 15.5 | 211.7 | 10.23 | 17.93 | 29 | 135 | 4 | 7 | 0.97 | 242 | 70 | 6 | 1.72 | 327 | 82 | 10 | 3.51 | 0 | 0 | 0 | 0.00 | 182 | 56 | 1 | 0.31 |
| 2 | 14.5 | 221.6 | 17.93 | 33.02 | 10 | 0 | 0 | 0 | 0.00 | 253 | 67 | 6 | 0.80 | 325 | 55 | 1 | 0.09 | 0 | 0 | 0 | 0.00 | 181 | 59 | 2 | 0.38 |
| 3 | 11.1 | 241.1 | 33.02 | 48.41 | 15 | 211 | 13 | 4 | 0.28 | 258 | 62 | 5 | 0.63 | 288 | 69 | 1 | 0.14 | 0 | 0 | 0 | 0.00 | 0 | 0 | 0 | 0.00 |
| 4 | 10.1 | 256.1 | 48.41 | 60.11 | 36 | 50 | 8 | 32 | 2.78 | 257 | 63 | 3 | 0.57 | 0 | 0 | 0 | 0.00 | 46 | 74 | 1 | 0.24 | 0 | 0 | 0 | 0.00 |
| 5 | 10.2 | 269.7 | 60.11 | 70.58 | 30 | 78 | 6 | 22 | 2.14 | 253 | 66 | 4 | 1.08 | 311 | 81 | 1 | 0.35 | 0 | 0 | 0 | 0.00 | 159 | 66 | 2 | 0.78 |
| 6 | 11.3 | 285.1 | 70.58 | 81.05 | 67 | 43 | 15 | 51 | 4.91 | 243 | 60 | 10 | 2.52 | 301 | 43 | 3 | 0.38 | 26 | 55 | 1 | 0.13 | 0 | 0 | 0 | 0.00 |
| 7 | 10.7 | 292.3 | 81.05 | 109.37 | 36 | 57 | 14 | 16 | 0.57 | 223 | 55 | 2 | 0.17 | 320 | 43 | 2 | 0.09 | 39 | 68 | 9 | 0.59 | 0 | 0 | 0 | 0.00 |
| 8 | 7.4 | 307.4 | 109.37 | 118.61 | 0 | 0 | 0 | 0 | 0.00 | 0 | 0 | 0 | 0.00 | 0 | 0 | 0 | 0.00 | 0 | 0 | 0 | 0.00 | 0 | 0 | 0 | 0.00 |
| 9 | 8.0 | 309.7 | 118.61 | 122.92 | 8 | 354 | 12 | 8 | 1.88 | 0 | 0 | 0 | 0.00 | 0 | 0 | 0 | 0.00 | 0 | 0 | 0 | 0.00 | 0 | 0 | 0 | 0.00 |
| 10 | 8.6 | 309.5 | 122.92 | 134.00 | 77 | 91 | 3 | 64 | 5.82 | 0 | 0 | 0 | 0.00 | 302 | 58 | 3 | 0.54 | 41 | 52 | 4 | 0.50 | 167 | 50 | 2 | 0.32 |
| 11 | 10.2 | 302.8 | 134.00 | 143.86 | 19 | 113 | 7 | 14 | 1.45 | 249 | 36 | 1 | 0.14 | 310 | 46 | 3 | 0.44 | 33 | 51 | 1 | 0.13 | 0 | 0 | 0 | 0.00 |
| 12 | 10.9 | 302.7 | 143.86 | 156.79 | 12 | 195 | 9 | 6 | 0.49 | 257 | 61 | 4 | 0.88 | 0 | 0 | 0 | 0.00 | 0 | 0 | 0 | 0.00 | 0 | 0 | 0 | 0.00 |
| 13 | 10.4 | 304.8 | 156.79 | 165.41 | 44 | 32 | 5 | 38 | 4.43 | 255 | 89 | 1 | 0.95 | 310 | 65 | 5 | 1.35 | 0 | 0 | 0 | 0.00 | 0 | 0 | 0 | 0.00 |
| 14 | 10.8 | 300.9 | 165.41 | 173.41 | 3 | 97 | 6 | 1 | 0.13 | 0 | 0 | 0 | 0.00 | 0 | 0 | 0 | 0.00 | 0 | 0 | 0 | 0.00 | 179 | 59 | 2 | 0.68 |
| 15 | 11.7 | 302.2 | 173.41 | 182.65 | 23 | 312 | 7 | 21 | 2.33 | 0 | 0 | 0 | 0.00 | 318 | 75 | 1 | 0.35 | 0 | 0 | 0 | 0.00 | 0 | 0 | 0 | 0.00 |
| 16 | 14.3 | 299.8 | 182.65 | 195.33 | 6 | 196 | 9 | 4 | 0.34 | 0 | 0 | 0 | 0.00 | 0 | 0 | 0 | 0.00 | 0 | 0 | 0 | 0.00 | 0 | 0 | 0 | 0.00 |

RGLDIPv5.2 DIP DATA INTERPRETATION: FRACTURE ANALYSIS

borehole
zone from 6.000 to 60.000 m
31 Jan 2003

Data is classed into 1 types
5 OPTV_dips

Quality cut-off level: *

Mean well deviation: 14.0deg to N 93.4

4 small-circles defined

| No. | SEARCH AREA | | | | MEAN DIP | | |
|-----|-------------|------|------|--------|----------|----|------|
| | azim | pl | cone | strike | dip | n | f |
| 1 | 170.0 | 66.5 | 30.6 | 260 | 20 | 24 | 0.48 |
| 2 | 143.9 | 17.6 | 24.6 | 239 | 71 | 10 | 0.43 |
| 3 | 273.7 | 47.0 | 23.9 | 7 | 47 | 14 | 0.52 |
| 4 | 51.0 | 10.9 | 39.9 | 139 | 67 | 19 | 0.67 |

Total number of data = 67
Number of data unaccounted for = 8

| No. | ZONE | DEVIATION | DEPTHs m | | No. | MEAN DIPS and FREQUENCIES | | | | | | | | | | | | Str | Dip | n | f | | | | |
|-----|------|-----------|----------|-------|-----|---------------------------|------|------|------|-----|----|---|------|-----|----|---|------|-----|-----|----|------|-----|---|---|------|
| | | | Dev | Azim | | TOP | BASE | DATA | Str | Dip | n | f | Str | Dip | n | f | Str | Dip | n | f | Str | Dip | n | f | |
| 1 | 15.0 | 91.0 | 6.00 | 17.55 | 52 | 251 | 16 | 19 | 1.73 | 244 | 80 | 3 | 0.92 | 10 | 48 | 9 | 1.70 | 137 | 68 | 16 | 2.58 | 0 | 0 | 0 | 0.00 |
| 2 | 14.9 | 95.7 | 17.55 | 27.55 | 6 | 248 | 43 | 1 | 0.13 | 0 | 0 | 0 | 0.00 | 19 | 46 | 2 | 0.41 | 0 | 0 | 0 | 0.00 | 0 | 0 | 0 | 0.00 |
| 3 | 14.0 | 94.7 | 27.55 | 40.49 | 2 | 267 | 48 | 1 | 0.11 | 223 | 71 | 1 | 0.16 | 0 | 0 | 0 | 0.00 | 0 | 0 | 0 | 0.00 | 0 | 0 | 0 | 0.00 |
| 4 | 12.9 | 93.3 | 40.49 | 50.34 | 4 | 0 | 0 | 0 | 0.00 | 237 | 66 | 3 | 0.58 | 22 | 29 | 1 | 0.13 | 0 | 0 | 0 | 0.00 | 0 | 0 | 0 | 0.00 |
| 5 | 13.1 | 92.1 | 50.34 | 59.60 | 11 | 288 | 37 | 3 | 0.44 | 239 | 68 | 3 | 0.67 | 342 | 55 | 2 | 0.57 | 153 | 65 | 3 | 0.55 | 0 | 0 | 0 | 0.00 |

Termisk Responstest -att ta reda på energibrunnens effektivitet

Hur många meter borrhål krävs för att klara ett visst energibehov med en viss effektvariation för att klara rimliga driftsvillkor (teknisk funktion och ekonomi)? Vilka mått finns på en energibrunnens effektivitet? Som diskuterats i tidigare artiklar (E&M 1/2000, 2/2000) beror effektiviteten hos energibrunnen på ett flertal faktorer, dels hos själva marken och dels hos energibrunnens konstruktion och driftsförhållanden. Emellertid är de förhållanden som bestäms av projektören enkla att ta reda på (t ex temperaturnivåer, driftsförhållanden, kollektortyp m m) medan t ex markens egenskaper utmed hela borrhålsdjupet är betydligt svårare att bestämma.

Bestämning av markens termiska egenskaper

Markens förmåga att transportera värme är mycket betydelsefull för energibrunnars effektivitet. Värmetransporten i berggrunden är i huvudsak beroende av bergartstypens mineralsammansättning och struktur, men även av förekomsten av sprickor och spricksystem, grundvatten och grundvattensrörelse. Vilken bergart eller jordart som förekommer inom ett visst område kan man ta reda på genom att studera geologiska karter eller besöka platsen. När bergarten är bestämd finns tabeller att tillgå för statistiska uppgifter om de olika bergarternas termiska egenskaper. Värmeledningsförmågan för en viss bergartstyp varierar inom ett visst intervall. I Sverige är de vanligaste bergarterna graniter och gnejsjer, och för dessa bergarter är värmeledningsförmågan angivet i ett intervall som varierar med ca 30% kring medelvärdet, till största delen beroende av kvartsinnehåll. Berggrundens värmetransporterande förmåga (effektiva värmeledning) påverkas även av grundvattensrörelser och vattenmättnad.

I dimensioneringssammanhang används vanligtvis medelvärdet för värmeledningsförmågan hos den aktuella bergarten. För små bergvärmeanläggningar är det i de flesta fall tillräckligt noggrant att använda de tabellade värdena för den aktuella bergarten i området, men för större anläggningar är det viktigare med en exaktare bestämning av de lokala termiska egenskaperna i berggrunden.

In-situ mätningar = Termisk Responstest

Med en termisk responstest kan man med hjälp av ett testborrhål försett med aktuell kollektortyp, bestämma markens och energibrunnens effektivitet på den aktuella platsen för energibrunnsanläggningen. Testborrhålet får sedan ingå i den färdiga anläggningen. Mätningen går principiellt till så att man kopplar samman energibrunnens kollektorslangar med en slinga bestående av en cirkulationspump, en elektrisk värmare och temperaturgivare för ingående och utgående temperatur till borrhålet. Värmebäraren i slangarna får cirkulera i minst 50 timmar medan en datalogger registrerar temperaturförändringen hos värmebäraren, samt den tillförda värmeeffekten. Utifrån dessa data - den termiska responsen - kan man med hjälp av simuleringsmodeller bestämma berggrundens effektiva värmeledning, samt temperaturförlusterna i borrhålet.

Den effektiva värmeledningen i berggrunden är kan uppskattas från hur temperaturen i borrhålet ökar med tiden för en konstant tillförd värmeeffekt. Ju brantare temperaturökning, desto sämre värmeledning. Temperaturförlusterna mellan värmebärare och borrhålsvägg kan bestämmas utifrån temperaturnivån i borrhålet.

Termisk responstest för energibrunnar är en relativt ny teknik. Den föreslogs för första gången vid en energikonferens i Stockholm 1983 av forskaren Palne Mogensen och användes vid några tillfällen på färdigkonstruerade flerbrunnssystem för att bekräfta simuleringsmodeller.

Men tekniken tog ordentlig fart först 1995-96 då de första mobila apparaterna för termisk responstest konstruerades i vid Luleå tekniska universitet i Sverige och vid Oklahoma State University i USA. Sedan dess har tekniken spritt sig till de flesta länder som nyttjar bergborrade borrhålssystem för uttag och lagring av värme och kyla. Svensktillverkade responstestapparater finns i Sverige, Norge och Turkiet. I Tyskland, Holland, England, Frankrike och Schweiz finns europeiska enheter, och i Kanada och USA finns idag ett antal responstestutrustningar som används i stor skala både kommersiellt och i forskning.

TED

Den svenska responstestutrustningen går populärt under namnet TED, och dimensionerades i ett studentprojekt vid avdelningen för Vattenteknik, Luleå tekniska universitet, hösten 1995. Efter dimensioneringen fortsatte projektet i form av ett examensarbete och byggdes av IdéArktika i Övertorneå. Apparaten testades och utvärderades under våren 1996, och resultaten sammanfattades i examensarbetet "TED - A mobile equipment for thermal response test" av Eklöf & Gehlin, hösten 1996. Examensarbetet övergick sedan i ett doktorandarbete och resulterade i en licentiatavhandling "Thermal response test - In Situ measurement of thermal properties in hard rock", 1998. Doktorandprojektet är nu inne i sitt slutskede och en doktorsavhandling ska bli klar under 2002. Avhandlingen behandlar olika typer av mätutrustningar, analysmetoder och inverkan av grundvattenflöde i sprickor på responstest och energibrunnar i drift.

Sedan 1996 har ett drygt trettiotal responstestmätningar utförts i Sverige. Hälften av dessa har utförts i forskningssyfte på testborrhål vid Luleå tekniska universitet, och övriga mätningar har gjorts vid kommersiella borrhål på olika platser i Sverige, huvudsakligen borrhålsbaserade direktkylnläggningar i syd- och mellansverige.

Inte för enskilda brunnar

När det gäller enskilda energibrunnar för till exempel småhusupplyvärmning är det vanligtvis billigare att dimensionera för ett konservativt värde på berggrundens värmeledningsförmåga och borra några meter extra för att vara på den säkra sidan. Ska man ändå borra många hål till ett större energibrunnssystem blir det rimligt ur kvalitetssäkringssynpunkt att göra en in-situ mätning för att noggrannare bestämma den effektiva värmeledningen hos berggrunden på den specifika platsen. Ju fler borrhål som ingår i systemet, desto mer värdefullt är det att utföra termiska responstest på platsen. Att borra fler borrhål än man behöver kostar pengar, och att borra för få

hål än vad som behövs, för att man antagit alltför goda termiska förhållanden, kan bli mycket dyrt eftersom det äventyrar systemets funktion.

Termisk responstest kan även användas för att testa temperaturförlusterna i nya kollektortyper, och för att kontrollera befintliga energibrunnar om en twist skulle uppstå. Exempel på framtida frågeställningar där termisk responstest som mätmetod kan komma till nytta, är hur man ska hantera borrhål med låg grundvattenyta och hur effektiviteten hos borrhål påverkas av att det "ger mycket vatten" vid borrhning.

Tekn. Lic Signhild Gehlin

Avd. för Vattenteknik, Luleå tekniska universitet

Gehlin@sb.luth.se

Docent Göran Hellström

Avd. för Matematisk Fysik, Lunds tekniska högskola

Goran.hellstrom@matfys.lth.se

Mer information om termisk responstest:

· Eklöf C, Gehlin S (1996). TED - A Mobile Equipment for Thermal Response Test (testing and evaluation).

Examensarbete 1996:198 E. Avd. för Vattenteknik, Luleå tekniska universitet. pp. 61.

<http://epubl.luth.se/avslutade/0349-6023/>

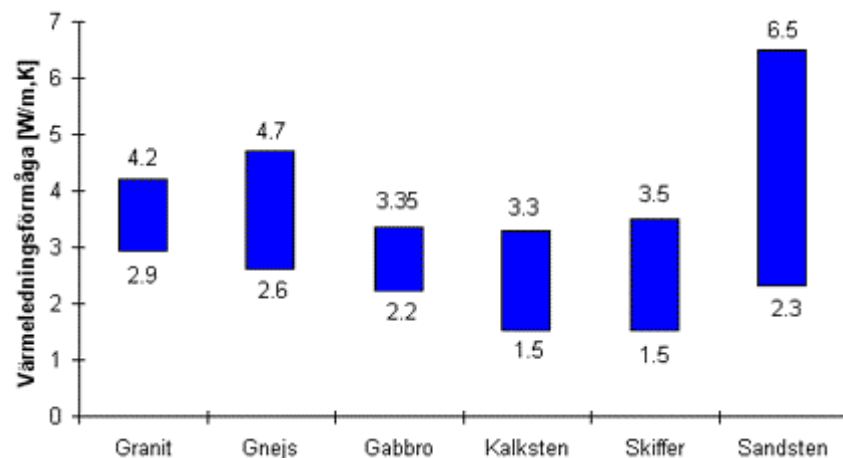
1996/198/HLU_EX_1996198E_SE.pdf

· Gehlin S (1998). Thermal Response Test - In-situ measurements of thermal properties in hard rock.

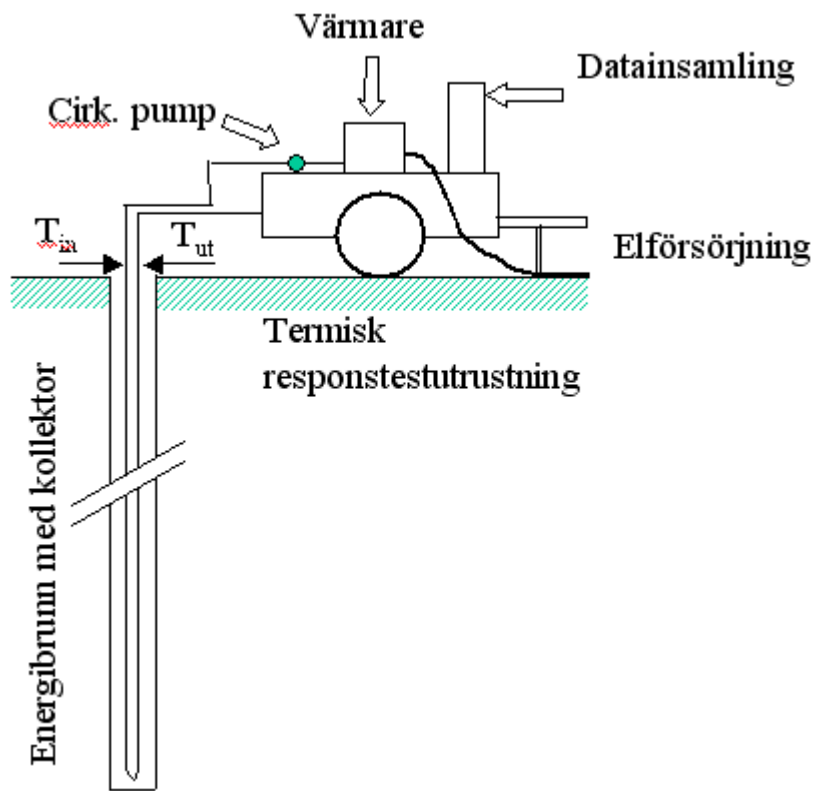
Licentiatavhandling 1998:37. Luleå Tekniska universitet.

<http://epubl.luth.se/1402-1757/1998/37/LTU-LIC-9837-SE.pdf>

· Länkar till termisk responstest: <http://www.sb.luth.se/~gehlin/ted2.htm>



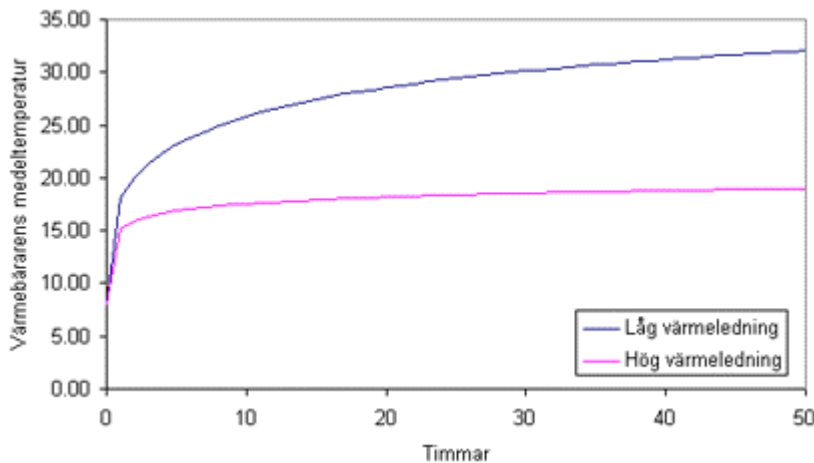
Figur 1: Värmeledningsförmåga för några vanliga bergarter i Sverige



Figur 2: Principen för en termisk responstest.



Figur 3: Termisk responstest i Sverige - TED.



Figur 4: Typisk responskurva från termisk responstestmätning med god respektive dålig värmelädning.

Artikeln publicerad i Energi & Miljö nr 3/2002

HYDRAULISKE EGENDOMMER I BERGGRUNNEN I NORGE

Teksten er en modifisert versjon av kap.3 i NGU Rapport 2003.016 Hydrauliske egenskaper i løsmasser og berggrunn i Norge sett i sammenheng med EU-direktivet om deponering av avfall, av A. Dagestad, L. Hansen og A. Braathen

- **Generelt**

Vann i berggrunnen kan transporteres gjennom porer hvor væskestrømmen kontrolleres av berggrunnens porøsitet eller sprekker hvor strømning foregår i komplekse nettverk av sprekker og kanaler. Fordelingen av de to strømningstyper i berggrunn i Norge er:

- *Porøsitetskontrollerte strømning* – skjer hovedsakelig i sedimentære og vulkanske bergarter med primær porøsitet. Porøse bergarter er lite utbredt på land i Norge, og utgjør kun ca. 2%
- *Sprekkekontrollerte strømning* – skjer hovedsakelig i krystalline metamorfe/omvandlete bergarter og dypbergarter uten primær porøsitet. De utgjør over 98 % av norsk berggrunn.

Ut fra denne fordelingen er det fokusert på sprekkekontrollert væskestrømning i den videre beskrivelsen av berggrunnens hydrauliske egenskaper i Norge. Dette gjør samtidig oppgaven mer komplisert fordi væskestrømning i oppsprukket fast fjell er behøftet med langt større usikkerhetsfaktorer enn vannstrømning i porøse medier. Det teoretiske grunnlaget og det matematiske formelverk som benyttes for å karakterisere væskestrøm i porøse medier vil ikke kunne benyttes på væskestrøm i oppsprukket fjell uten at det innføres et sett av forutsetninger og betydelige forenklinger.

Undersøkelser og observasjoner av berggrunnen i Norge viser at oppsprekningen er langt fra homogen eller isotrop. Den svært variable romlige oppsprekkingsfrekvensen som observeres er styrt bla. av lagdeling i fjellet samt nåværende og tidligere tektoniske spenningsforhold i berggrunnen med forkastninger og knusningssoner som de mest fremtredende fenomener. Væskestrømmen langs antatt like sprekkeplan, eller langs et og samme sprekkeplan, kan også være svært variabel. Sprekkekåpningen kan variere, som følge av uregelmessig oppsprekking, og sprekkeplanet kan være helt eller delvis gjentatt som følge av leirfyllinger eller utfelling av mineraler på sprekkeplanet. Samlet påvirker disse forholdene i betydelig grad berggrunnens hydrauliske egenskaper slik at væskestrøm i oppsprukket fjell må betraktes som væskestrøm langs foretrukne strømningsveier på et fåtall av fjellets totale antall sprekker.

| Hydraulic conductivity [m · s ⁻¹] | Rocktype | | | |
|---|-----------------------|------------------------|-------------------------------|-----------------|
| | unconsolidated rocks | hard sedimentary rocks | igneous and metamorphic rocks | |
| 1 | | <i>karstified</i> | | |
| 10 ⁻¹ | gravel | | | lava |
| 10 ⁻² | coarse sand | | | |
| 10 ⁻³ | | limestone | | |
| 10 ⁻⁴ | | | | |
| 10 ⁻⁵ | fine loess | <i>fissured</i> | | <i>fissured</i> |
| 10 ⁻⁶ | silt | | | |
| 10 ⁻⁷ | | <i>compact</i> | | |
| 10 ⁻⁸ | moraine, | | | |
| 10 ⁻⁹ | clayey drift deposits | | | basalt |
| 10 ⁻¹⁰ | | | | |
| 10 ⁻¹¹ | clay | slate | | |
| 10 ⁻¹² | | shale | | |
| 10 ⁻¹³ | | | | <i>compact</i> |

Figur 3-1. Variasjon i hydraulisk konduktivitet for ulike løsmassetyper samt sedimentære og krystalline bergartstyper . Berggrunnen i Lørenskog er dioritt som er en metamorphic rock (Stuckmeier og Margat 1995).

For sammenlikningens del er det vist en sammenstilling mellom konduktivitet i fjell og løsmasser i figur 3-1. Det er i denne sammenstilling viktig å ha forståelse for de overnevnte forutsetninger og forenklinger som ligger bak estimeringen av berggrunnens konduktivitet i figuren.

- **Hydrauliske egenskaper og vanngiverevne i berggrunnen i Norge**

For å kunne si noe generelt om hydrauliske egenskaper i heterogen berggrunn som den vi finner i Norge, kreves det et stort datagrunnlag for å estimere statistisk signifikante gjennomsnittsverdier. Ved NGU har vi tre typer nasjonale (regionale) datasett som kan benyttes i vurderinger rundt væskestrømning i berggrunnen:

- NGU's *Bergrunnsdatabase*, som beskriver utbredelsen av forskjellige bergarter.
- NGU's *Strukturdatabase*, som beskriver lineære svakhetssoner i berggrunnen hovedsaklig betinget av intens oppsprekning.
- NGU's *Brønnndatabase*, med informasjon fra ca. 19.000 brønner som er boret i fjell.

Statistiske analyser av NGUs Brønnndatabase sammenholdt med de to andre databasene (se Morland 1997, for metoder og begrensninger), gir en god regional oversikt over vanngiverevnen i Norges berggrunn. Basert på et utvalg på over 12.000 fjellbrønner i Brønnndatabasen er den typiske vanngiverevnen (medianverdi) i disse brønner ca. 600 l/t. Med et gjennomsnittlig

brønndyp på 56 meter gir dette en gjennomsnittlig normalisert vanngiverevne Q_n på ca. 12 liter per time per meter borehull (Morland 1997). For å kunne omgjøre normalisert gjennomsnittlig vanngiverevne (Q_n = liter/time per meter borehull) til gjennomsnittlig konduktivitet i berggrunnen (dvs liter/sekund per kvadratmeter brønnvegg), må det innføres en del forutsetninger og forenklinger:

- Først må det forutes at brønnene er vannførende i hele brønnens dyp
- Den hydrauliske gradient $dh/dl = 1$ under kapasitetstesten av brønnene (dh/dl = helling på grunnvannspeilet inn mot brønnen)
- Gjennomsnittlig brønndiameter på 130 mm på utvalget av brønner.

Ut fra disse forutsetningene og datautvalget fra Brønndatabasen gir dette en gjennomsnittlig konduktivitet for norsk berggrunn på $K_m = 8 \times 10^{-6} \text{ m/s}$.

Ved siden av usikkerhetene ved å innføre de overnevnte forutsetninger er det også viktig å trekke fram andre begrensinger og usikkerheter ved å benytte data fra Brønndatabasen for å estimere gjennomsnittlig konduktivitet i norsk berggrunn:

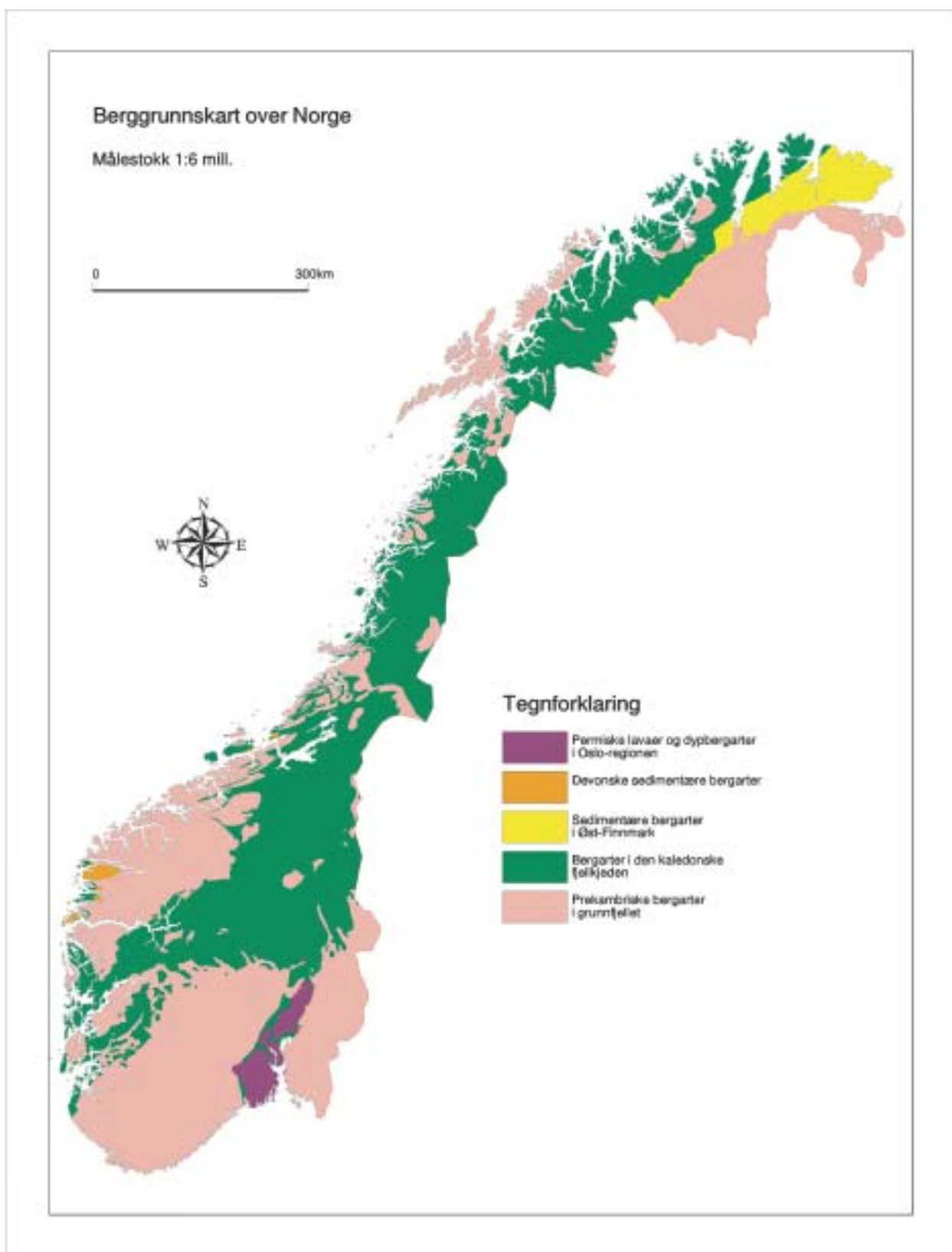
1. Data i Brønndatabasen relaterer seg til brønner som er forsøkt plassert optimalt i forhold til svakhetssoner og fjellets oppsprekking for å oppnå høyest mulig vanngiverevne i brønnene. Dette vil forventningsvis gi en høyere gjennomsnittlig vanngiverevne og konduktivitet for berggrunnen enn om brønnene hadde vært boret vilkårlig.
2. Brønnene er etablert for uttak og ikke infiltrasjon av grunnvann. Det vil si data som er benyttet til å beregne fjellets hydrauliske egenskaper relaterer seg til en væskestrøm som hovedsakelig foregår i den vannmettede sonen, ofte flere 10-talls meter under overflaten der sprekkefrekvensen og vannføringsevnen normalt er betydelig lavere enn i den dagnære umettete sonen. Ved ikke å innkalkulere den dagnære umettete sonens vannførende kapasitet i de statistiske bergningene vil dette gi en for lav gjennomsnittlig konduktivitet i berggrunnen i Norge.
3. Det er også i beregningene forutsatt at brønnen er vannførende i hele brønnens lengde. Dette er imidlertid en betydelig forenkling da dypt til grunnvannet i brønnene kan variere betydelig avhengig av topografiske forhold og grunnvannsuttak. Ved å forusette at brønnene er vannførende i hele brønnens lengde vil i de statistiske bergningene gi en for lav gjennomsnittlig konduktivitet i berggrunnen i Norge.

- **Hydrauliske egenskaper i ulike bergartstyper**

Selv om væskestrøm i oppsprukket fjell må betraktes som en til dels uforutsigbar strømning langs et fåtall foretrukne strømningsveier, har sammenstilling av de tre tidligere nevnte store nasjonale datasett vist at det statistisk sett kan være store forskjeller i hydrauliske egenskaper mellom ulike bergartstyper. De samme datasett viser også at det innen samme bergartstype er store variasjoner i hydrauliske egenskaper. Med utgangspunkt i den regionale fordelingen av

bergarter som utgjør fastlands-Norges berggrunn (se berggrunnskarter på www.ngu.no; Sigmond et al. 1984), kan Norge deles inn i regioner med bergartstyper som har visse fellestrekks med hensyn til hydrauliske egenskaper (Figur 3-2, 3-3 og 3-3). Følgende hovedenheter hører naturlig sammen (Morland 1997):

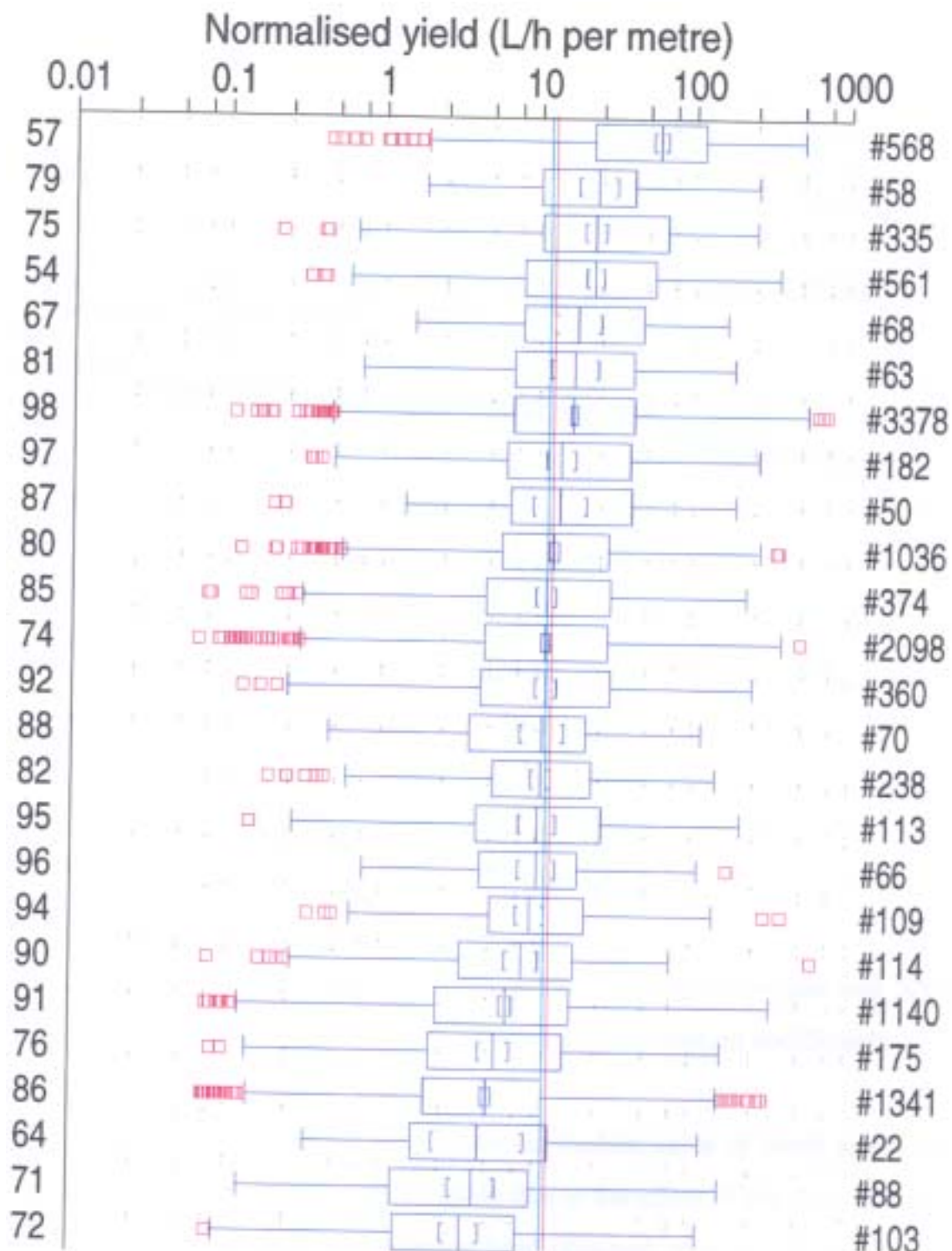
1. Prekambriske bergarter, hovedsakelig gneiser. Disse har regional utbredelsen.
 - Utgjør 68,5% av berggrunnen
 - Bergartskode 87, 98, 97, 92, 88, 95, 90, 96 og 94 i figur 3-3
 - Gjennomsnittlige normaliserte verdier på vanngiverevne som er typiske for norsk berggrunn, med $Q_n = 9 - 13 \text{ l/t}$ per meter borehull som gir $K = 6 - 9 \times 10^{-6} \text{ m/s}$.
2. Bergarter kraftig påvirket av den kaledonske fjellkjededannelsen. Hovedtyngden består av omvandlete kambro-siluriske sedimentære og vulkanske bergarter. De har en regional utbredelse.
 - Utgjør 29,2% av berggrunnen
 - Bergartskode 75, 67, 80, 85, 74, 82, 91, 76, 86, 71 og 72 i figur 3-3
 - Gjennomsnittlige normaliserte verdier på vanngiverevne varierer en god del, med høye verdier rundt $Q_n = 17 \text{ l/t}$ per meter borehull ($K = 1 \times 10^{-5} \text{ m/s}$) for en del sandsteiner og kalksteiner, og lav $Q_n = 4 \text{ l/t}$ per meter borehull ($K = 2 \times 10^{-6} \text{ m/s}$) for grønnsteiner og enkelte dypbergarter.
3. Devonske sedimentære bergarter, som er omvandlet. Disse opptrer kun nord for Bergen og lokalt langs kysten av Nordvestlandet.
 - Utgjør kun 0,4% av berggrunnen
 - Bergartskode 64 i figur 3-3
 - Har meget lave verdier på vanngiverevne, rundt 4 l/t per meter borehull ($K = 2 \times 10^{-6} \text{ m/s}$).
4. Permiske vulkanske bergarter, samt noen lite omvandlede sedimentære bergarter, som i mange tilfeller har primær porøsitet. Disse finnes hovedsaklig i Oslo-regionen samt i Øst-Finnmark på Varanger-halvøya.
 - Utgjør totalt 1,9% av bergrunnsarealet
 - Bergartskode 79 i figur 3-3
 - Har svært høy vanngiverevne med gjennomsnittlige verdier opp mot $Q_n = 60 \text{ l/t}$ per meter borehull ($K = 4 \times 10^{-5} \text{ m/s}$).



Figur 3-2. Berggrunnsprovinser i Norge

| Rock-type | Definition | Number of boreholes | Median yield | Median depth | Median normalised yield |
|-----------|--|---------------------|--------------|--------------|-------------------------|
| 57 | Permian volcanic rocks, with subordinate sedimentary rocks (Oslo Region) | 568 | 2500 | 45 | 58.3 |
| 79 | Upper Precambrian quartz sandstone | 58 | 1020 | 50 | 23.2 |
| 75 | Cambro-Silurian limestone and marble | 335 | 1000 | 45 | 22.5 |
| 54 | Permian plutonic rocks (Oslo Region) | 561 | 1000 | 50.5 | 22.4 |
| 67 | Upper Silurian sandstone | 68 | 1000 | 63.5 | 17.6 |
| 87 | Precambrian granite to tonalite | 50 | 800 | 61 | 13.8 |
| 98 | Precambrian gneiss, migmatite, foliated granite, amphibolite | 3378 | 750 | 48 | 16.7 |
| 81 | Upper Precambrian limestone, shale | 63 | 700 | 41 | 16.8 |
| 97 | Precambrian metarhyolite, metarhyodacite | 182 | 700 | 54.5 | 14.0 |
| 80 | Upper Precambrian sandstone, shale, conglomerate | 1036 | 600 | 50 | 12.7 |
| 85 | Precambrian rocks of different origin in Caledonian nappes | 374 | 600 | 57 | 11.4 |
| 74 | Cambro-Silurian meta-sediments of the Caledonian mountain chain and the Oslo Region | 2098 | 600 | 57 | 11.4 |
| 82 | Upper Precambrian metasandstone, mainly meta-arkose and quartz schist | 238 | 600 | 61 | 10.7 |
| 92 | Precambrian autochthonous granite to tonalite | 360 | 590 | 53 | 11.4 |
| 88 | Precambrian amphibolite, gneiss | 70 | 575 | 68 | 10.9 |
| 95 | Precambrian metasandstone, mica schist, conglomerate, supracrustal gneisses | 113 | 550 | 58 | 10.3 |
| 90 | Precambrian metamorphosed sedimentary and volcanic rocks, gneiss | 114 | 525 | 73.5 | 8.3 |
| 96 | Precambrian metabasalt, meta-andesite, amphibolite | 66 | 500 | 67.5 | 10.3 |
| 94 | Precambrian autochthonous gabbro, amphibolite, ultramafic rocks | 109 | 420 | 55.5 | 9.4 |
| 91 | Precambrian gneiss, migmatite, foliated granite, amphibolite (north-western gneiss region) | 1140 | 420 | 71 | 6.6 |
| 76 | Cambro-Silurian greenstone, greenschist, amphibolite, meta-andesite | 175 | 360 | 65 | 5.6 |
| 86 | Caledonian charnockitic to anorthositic rocks | 1341 | 310 | 71 | 5.1 |
| 71 | Caledonian granite to tonalite | 88 | 300 | 78.5 | 4.1 |
| 64 | Devonian sedimentary rocks, mainly sandstone and conglomerate | 22 | 290 | 67 | 4.5 |
| 72 | Caledonian gabbro, diorite, ultramafic rocks | 103 | 250 | 80 | 3.5 |

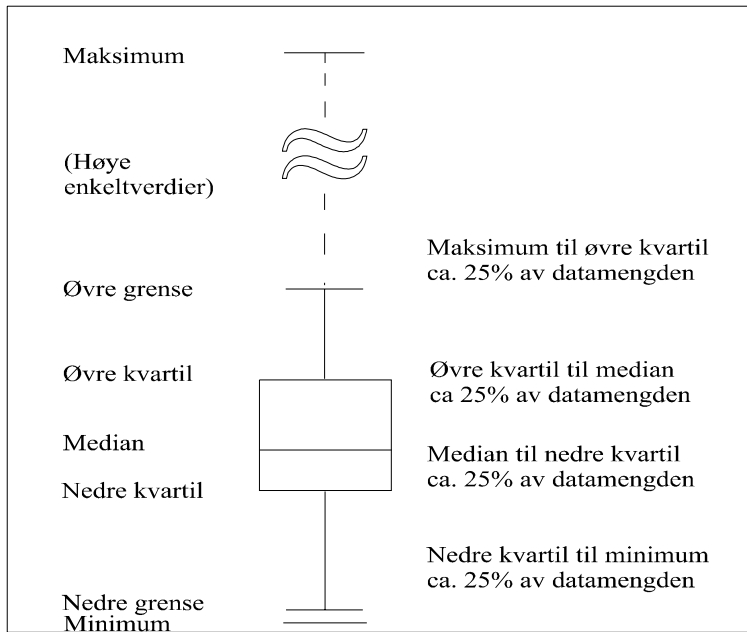
Figur 3-3. Tabell fra Morland (1997) som viser hydrogeologiske egenskaper for forskjellige bergartstyper. Raden til høyre angir gjennomsnittlig brønnnytelse i liter per time per meter boret brønn. Dioritt tilhører bergartstype 98.



Figur 3-4. Statistisk sammenstilling av brønnytelse (liter/time) per meter boret brønn i fjell for ulike bergartsgrupper (Morland 1997). Datasettet er det samme som i figur 3-3. Forklaring til statistisk fremstilling i bokspillt er gitt i tekstboks. Merk at det er meget store variasjoner i brønnytelsen innen de forskjellige bergartstypene. Tallene til venstre i figuren refererer seg til bergartstype fra figur 3-3 mens tallene til høyre viser antall observasjoner som ligger til grunn for beregningene.

Boksplott

Boksplott er en fremstillingsmåte som gir en rask oversikt over dataenes fordeling og sentrale statistiske parametere. Den egner seg derfor meget godt der en ønsker å sammenligne to eller flere datasett. For at et boksplott skal kunne lages og for at meningsfulle medianverdier kan sammenlignes, kreves det minst fem verdier i datasettet.



Grafisk forklaring av boksplott

Medianen er den midterste verdien i tallsettet, dvs at halvparten av verdiene er høyere og halvparten er lavere. Medianen angis ved en strek som deler selve boksen i to.

Øvre kvartil representerer den verdien i datasettet der 75 % av verdiene er lavere og 25% er høyere. Tilsvarende er 75 % av verdiene høyere og 25% av verdiene lavere enn **nedre kvartil**. Øvre og nedre kvartil fremstilles som henholdsvis toppen og bunnen av selve boksen. Boksen inneholder dermed de midtre 50% av datasettets verdier og størrelsen på boksen gir et bilde av spredningen i disse verdiene.

Strekene (kalt “whiskers” dvs. værhår) viser spredningen av dataene utenfor boksen. I geokjemiske data er det vanlig at noen få verdier er mye høyere (eller eventuelt mye lavere) enn de midterste 50%. I boksplott settes det en øvre grense for streken når verdien plottes lengre fra øvre kvartil enn 1,5 ganger boksens lengde. Høyere verdier plottes som enkle punkt og utelukkes av og til fra grafiske fremstillinger fordi de trekker ut skalaen og reduserer oppløsningen. Tilsvarende er nedre grense for streken satt 1,5 ganger boksens lengde fra nedre kvartil, og lavere verdier enn dette vil bli plottet som enkle punkt. Antall prøver (#) som danner grunnlaget for boksplottet er angitt over boksen. Dersom antallet prøver er lavere enn 5 vil alle verdiene bli plottet som enkle streker.

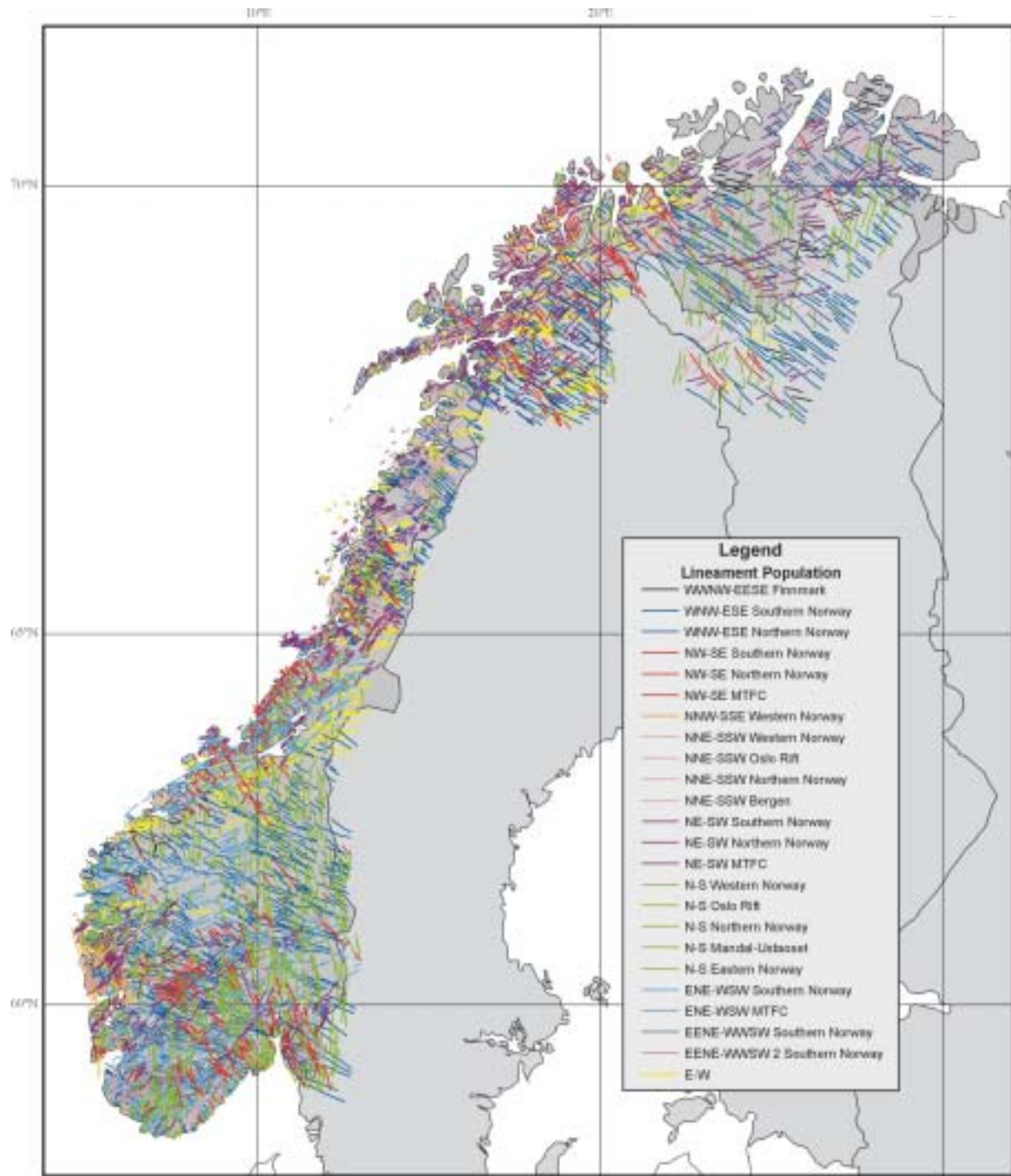
- Andre geologiske forhold av betydning for berggrunnens hydrauliske egenskaper

- Sprekke-lineamenter

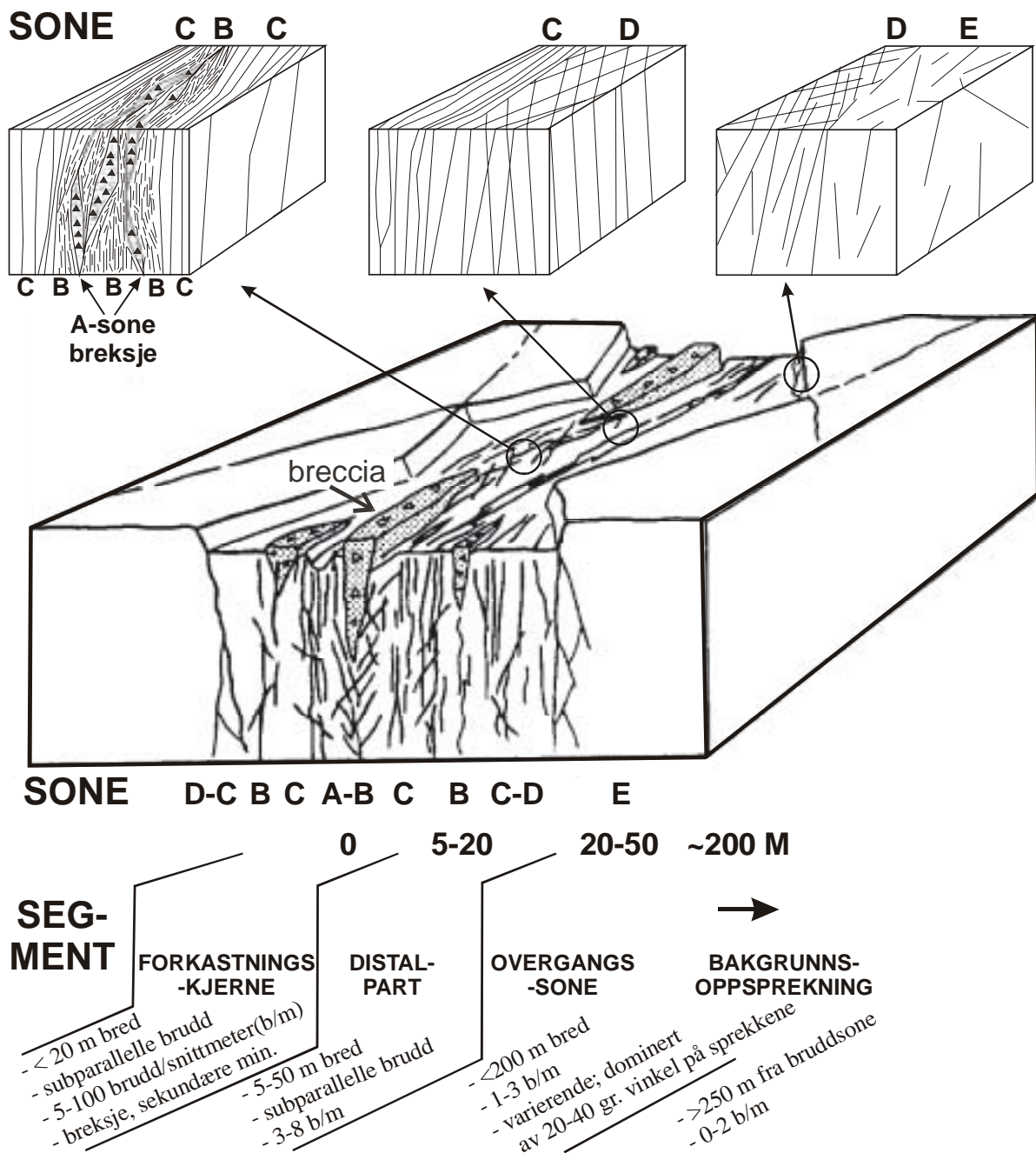
Norsk fjell er gjennomskåret av store sprekker/svakhetssoner også kalt lineamenter. Dette kan ses tydelig på satellittbilder, hvor langstrakte, nærmest snorrette daler, vassdrag og kløfter står fram som lineære soner, også kalt lineamenter (Fig. 3-5). I større detalj, på flybilder eller spesielt når en besøker området til fots, vil en se at disse topografiske forsenkningene er betinget av svakt fjell, som oftest i form av partier med meget høy grad av oppsprekning. De inneholder også linser med nedknust fjell karakterisert ved fjellbiter i en leirig grunnmasse (Fig. 3-6). Dette er soner i fjellet hvor det har vært bevegelse (forkastninger). Omkring slike soner er det vanlig å finne avtagende grad av oppsprekning, men selv i områder mellom lineamenter er fjellet svakt oppsprukket. Med andre ord; alt fjell er oppsprukket, men kun i avgrensede soner (lineamenter) finner en stor tetthet av sprekker. Ut fra den generelle fordelingen av sprekker synes det klart at det er større grunnvannsstrømning rundt lineamenter enn ellers i berggrunnen, dette fordi høy sprekketetthet gir større strømningspotensial (Figur 3-7). Enkelte meget gode brønner nær lineamenter gir ytelsesverdier opp mot $Q_n = 100 \text{ l/t}$ per meter borehull ($K = 70 \times 10^{-3}$), men det er langt vanligere med brønner som ligger nær gjennomsnittsverdien på $Q_n = 12 \text{ l/t}$ per meter borehull (Morland 1997).

- Landhevning

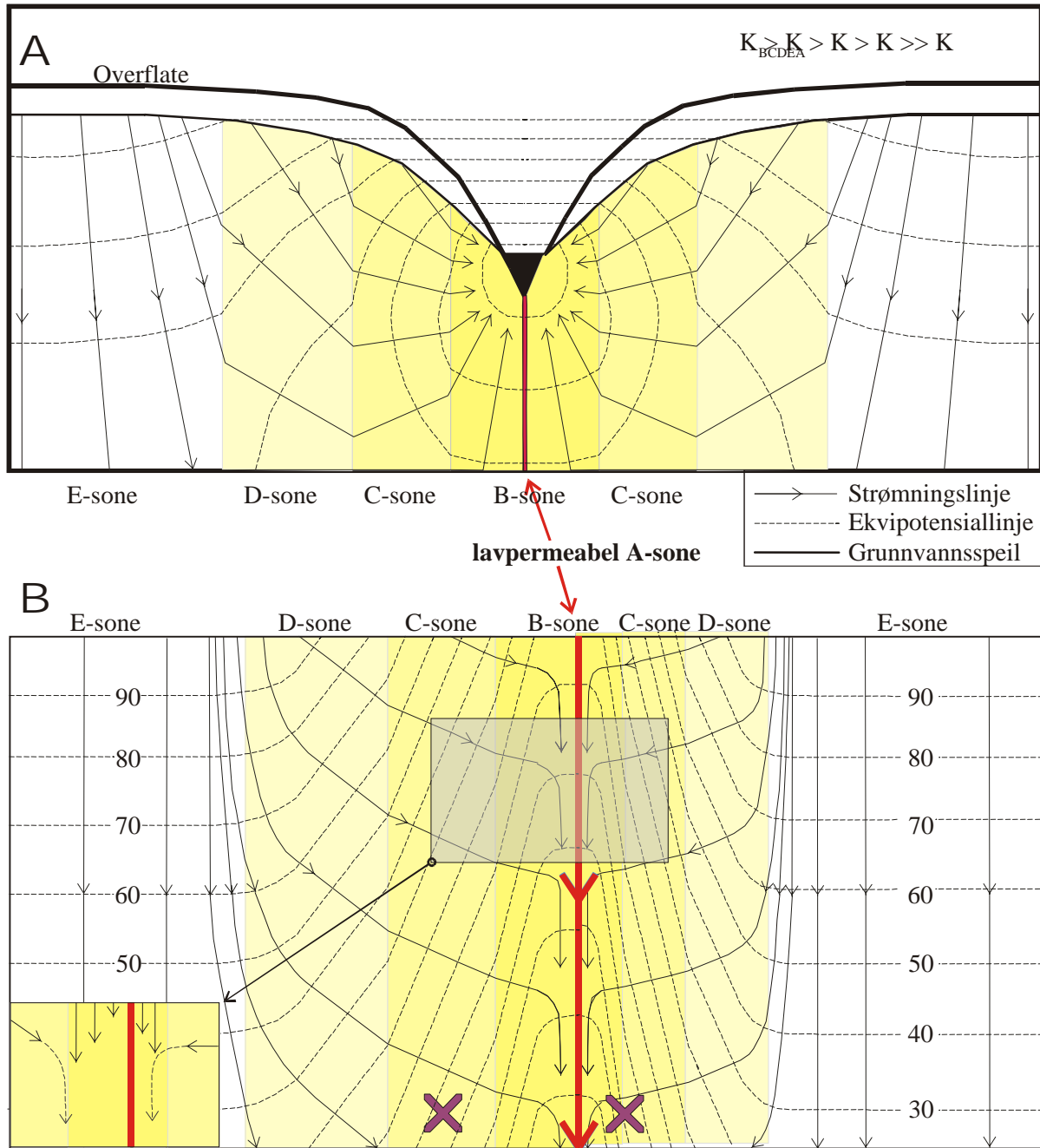
Som tidligere nevnt, genereres sprekker av bevegelser i jordskorpa. Av jordskorpebevegelser i nyere tid er landhevingen som etterfulgte siste istid vært svært viktig for berggrunnens hydrauliske egenskaper. Den landhevingen som forstsatt pågår varierer fra rundt 0 til 1mm per år nær kysten til over 5mm per år i grensestrøkene mot Sverige på Østlandet (Figur 3-8). Hevningen har utsatt de øverste 100 meterne av berggrunnen for strekkspenninger, som har kunnet åpne eldre sprekker (Gudmundson 1999). Dette er også vist i studier av forholdet mellom variasjoner i landheving og brønnytelse (Rohr-Torp 1994; Morland 1997), som viser at brønner på innlandet, i områder med størst landheving, i snitt gir langt mer vann enn brønner nærmere kysten. Variasjonen er i størrelsesorden $Q_n = 4 \text{ l/t}$ per meter borehull i kyststrøk med landheving på rundt 0-1 mm, til opp mot $Q_n = 20 \text{ l/t}$ per meter borehull for landheving på rundt 5 mm. Dette viser at landhevingen har en betydelig effekt på berggrunnens gjennomsnittlige hydrauliske egenskaper.



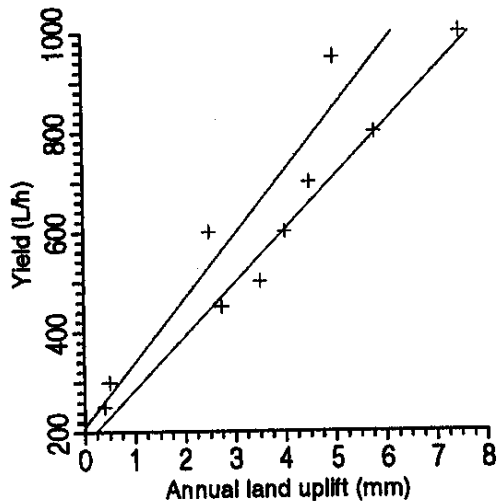
Figur 3-5. Lineamentskart over Norge (Gabrielsen m.fl. 2002). Lineamentene utgjør soner i berggrunnen med høy grad av oppsprekning, og er derfor viktige for grunnvannsstrømning i fjell.



Figur 12. Oppbygning av sprekke-lineamenter, som kan beskrives med segmenter og distinste soner. Hver a sonene B, C, D og E er karakterisert ved bestemte sett av brudd eller par av spekkesett. A-sonen består av nedknust fjell.



Figur 3-7-(A) Konseptuell fremstilling av grunnvannsstrømning rundt et bruddlineament, vist i tversnitt av berggrunnen. Sonene B, C, D og E opptrer på begge sider av A-sonen, og har ulike konduktivitetsverdier. **(B)** Skjematiske kart av et asymmetrisk bruddlineament, hvor ekvipotensiallinjene (vinkelrett grunnvannsstrømmen) gjenspeiler topografien langs bruddlineamentet. Skråningen ned mot A-sonen er brattere på høyre side i forhold til på venstre side. Elva i midten følger lineamentets sentrale segment, som er karakterisert ved tett nedknust fjell. Legg merke til at en brattere skråning inn mot bruddlineamentet favoriserer størst strømning nærmere senteret av sprekke-lineamentet. Kryssene illustrerer beste plassering av grunnvannsbrønner. Figurene er modifisert fra Berg (2000).

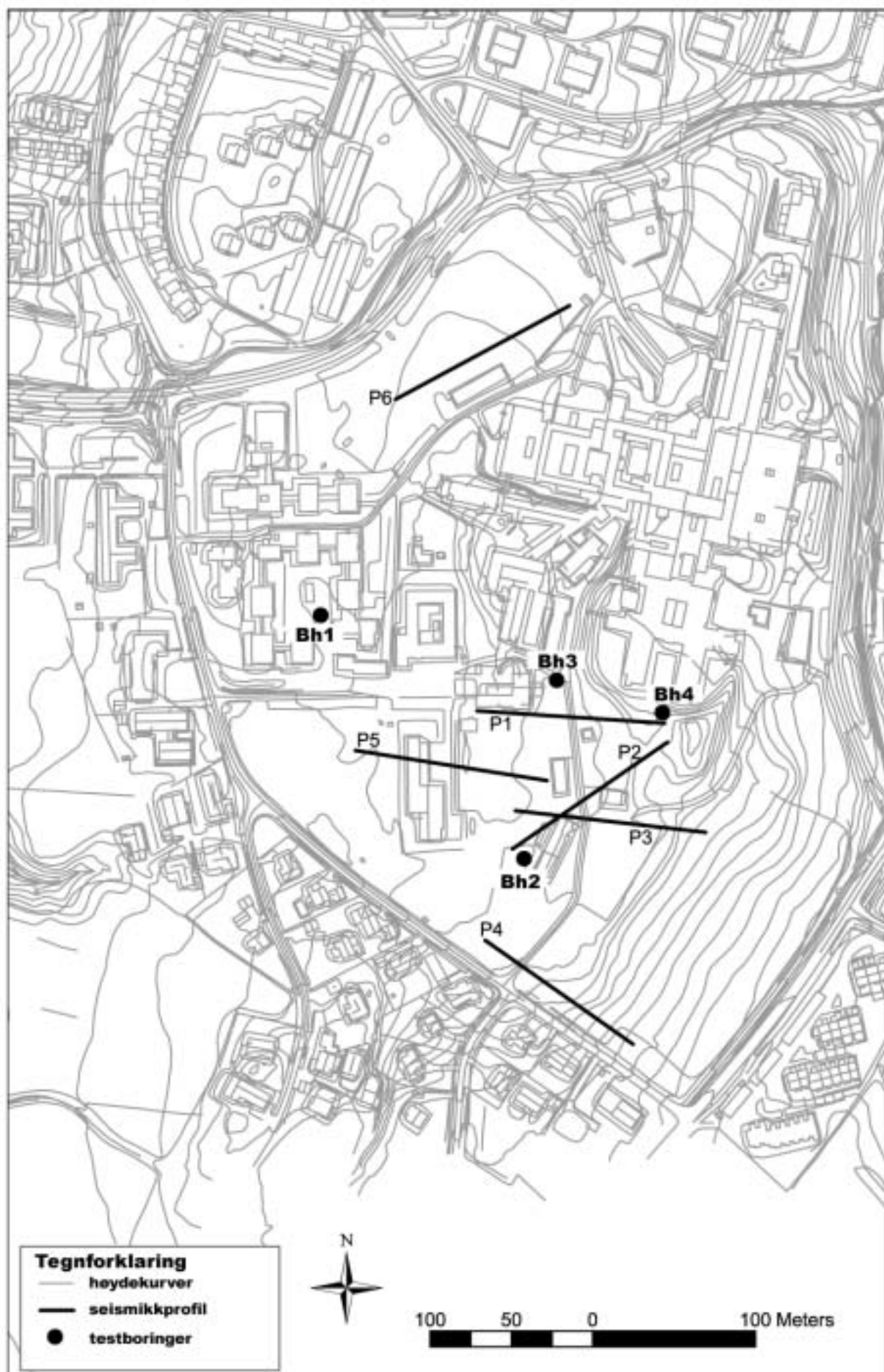


Figur 3-8. XY-plott som viser forholdet mellom årlig landhevning, fra kyst til innland i Sør-Norge, og brønnnytelse per meter brønn (fra Morland 1997).

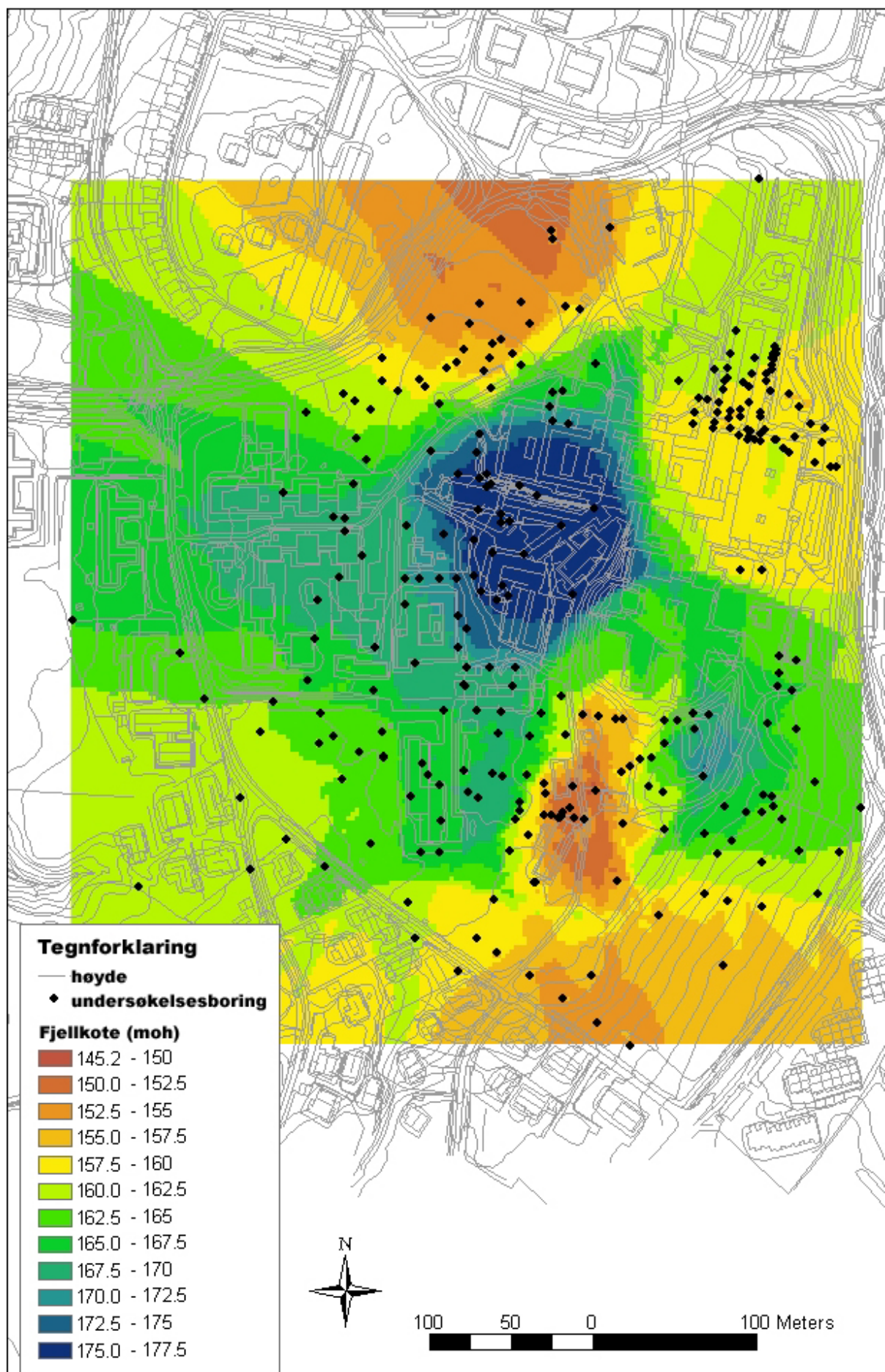
Referanser:

- Berg, S. 2000: Strukturell analyse av bruddsoner med hensyn på grunnvannspotensialet i oppsprukne bergarter. Cand. Scient. thesis, University of Bergen.
- Gabrielsen, R.H., Braathen, A., Dehls, J., and Roberts, D. 2002: Tectonic lineaments of Norway. *Norwegian Journal of Geology (NGT)* 82, 153-174.
- Gudmundsson, A. 1999: Post-glacial doming, stresses and fracture formation with application to Norway. *Tectonophysics* 307, 407-419.
- Morland, G. 1997: Petrology, Lithology, Bedrock Structures, Glaciation and Sea Level. Important Factors for Groundwater Yield and Composition of Norwegian Bedrock Boreholes? NGU Rapport 97.122 I, 274s
- Rohr-Torp, E. 1994: Present uplift rates and groundwater potential in Norwegian hard rocks. *Norges geologiske undersøkelse Bulletin* 426, 47-52.
- Sigmond, E.M.O., Gustavsson, M. & Roberts, D. 1984: Bedrock map of Norway, M 1:1 mill. *Norges geologiske undersøkelse*.
- Stuckmeier, W.F., Margat J. 1995: Hydrogeological maps – A guide and a standard legend. IAH Volume 17. International contributions to hydrogeology.

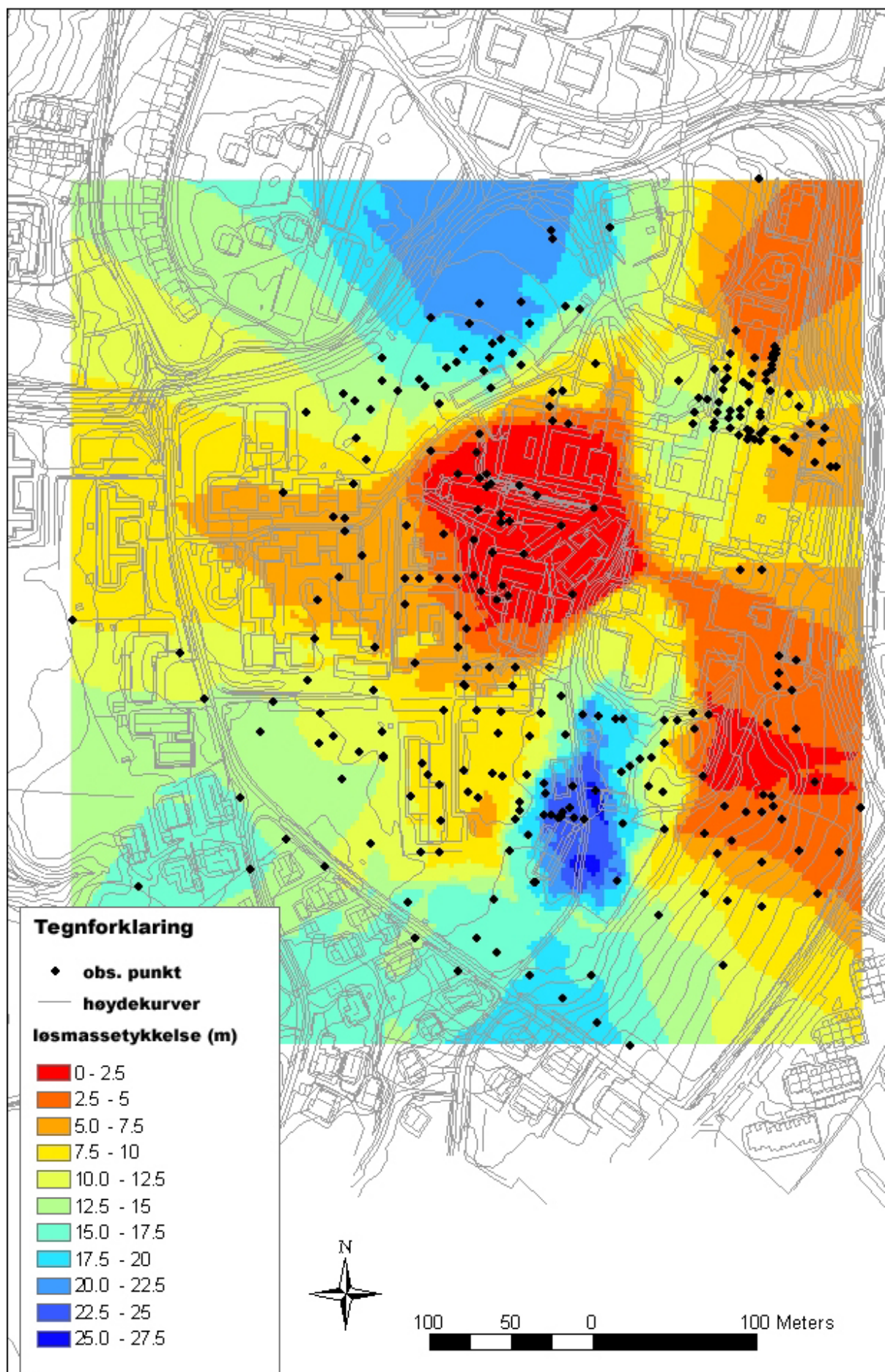
Kartbilag 1: oversikt over seismiske profiler og testboringer



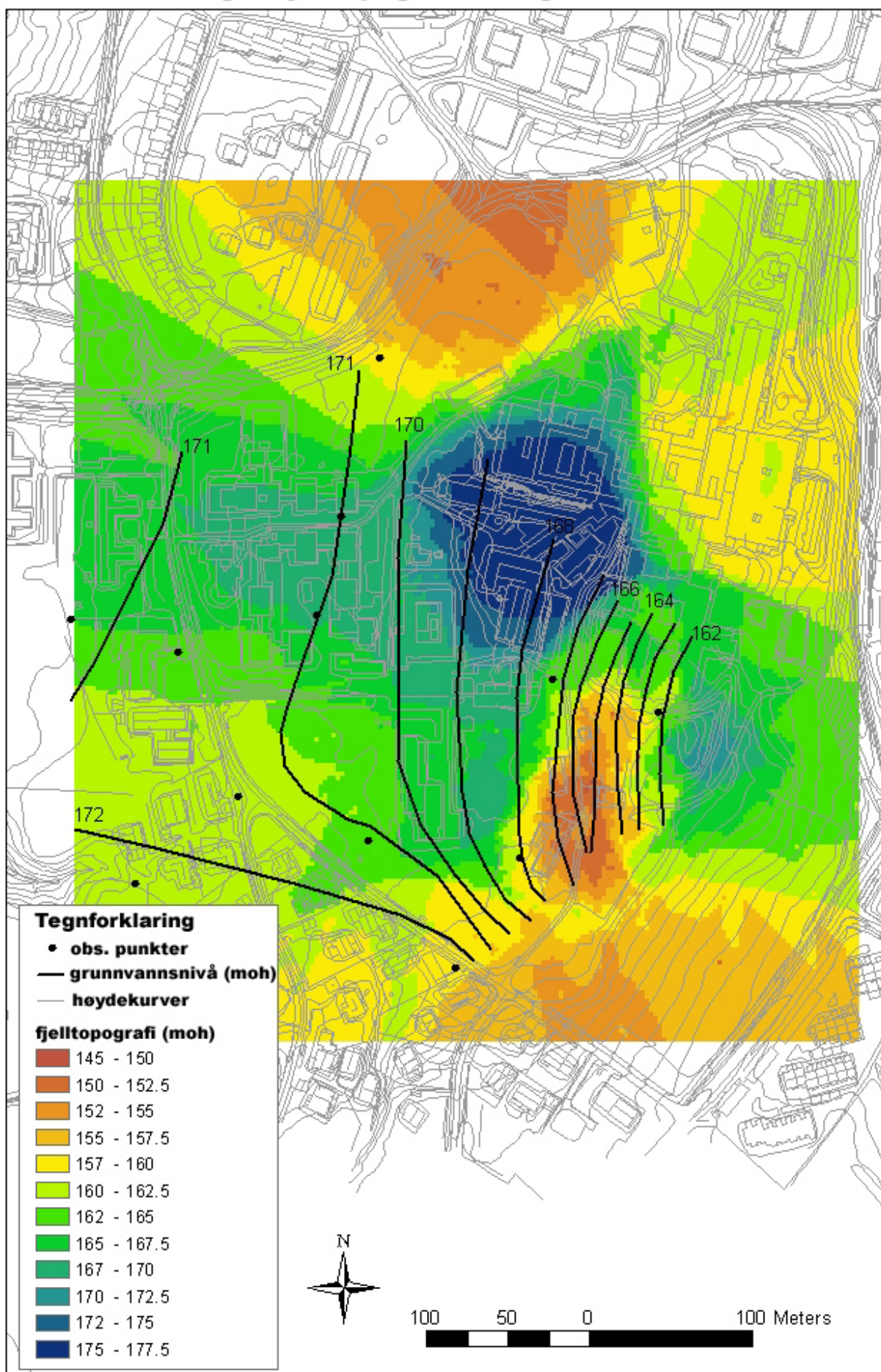
Kartbilag 2: oversiktskart, fjelltopografi



Kartbilag 3: oversiktskart, løsmassetykkelse



Kartbilag 4: fjelltopografi med grunnvannsnivå



Kartbilag 5: Egnede områder for et borehullbasert energilager

